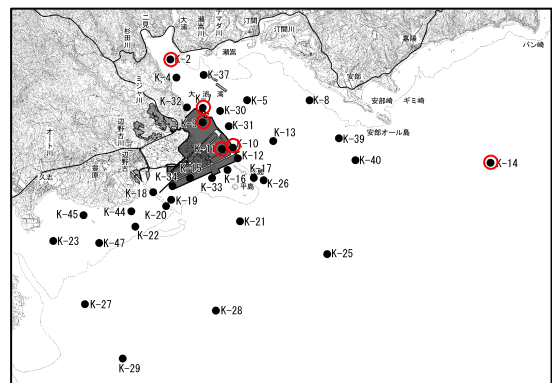
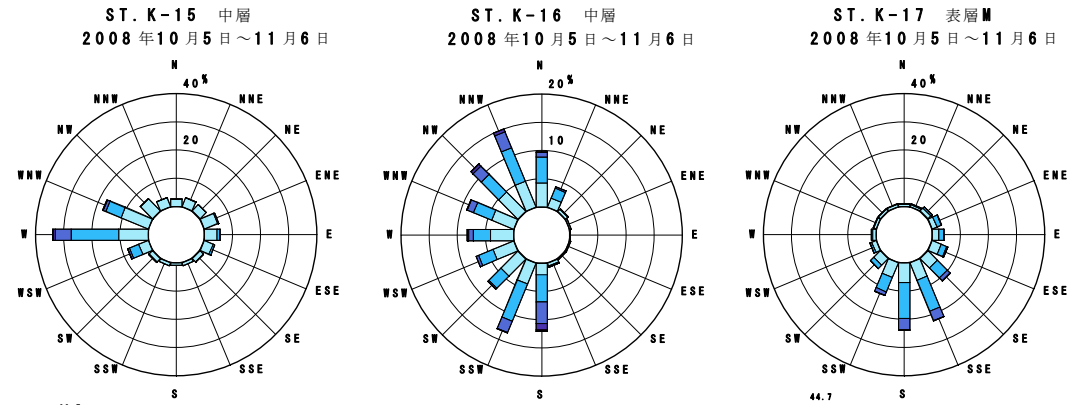


図-6. 6. 1. 17(1) 電磁流速計による調査結果に基づく秋季の流況頻度図

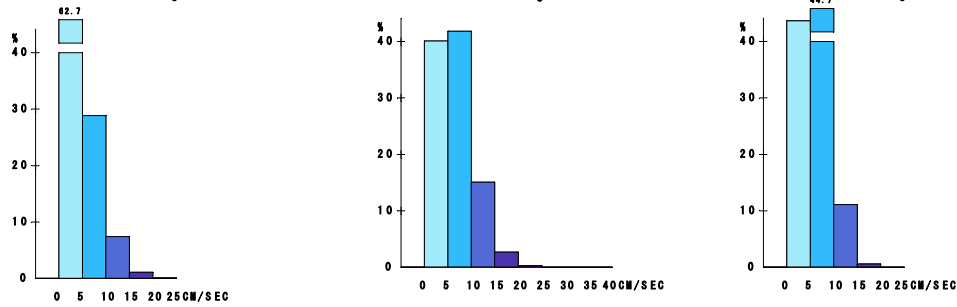
注) 調査期間：平成20年10月5日～11月6日



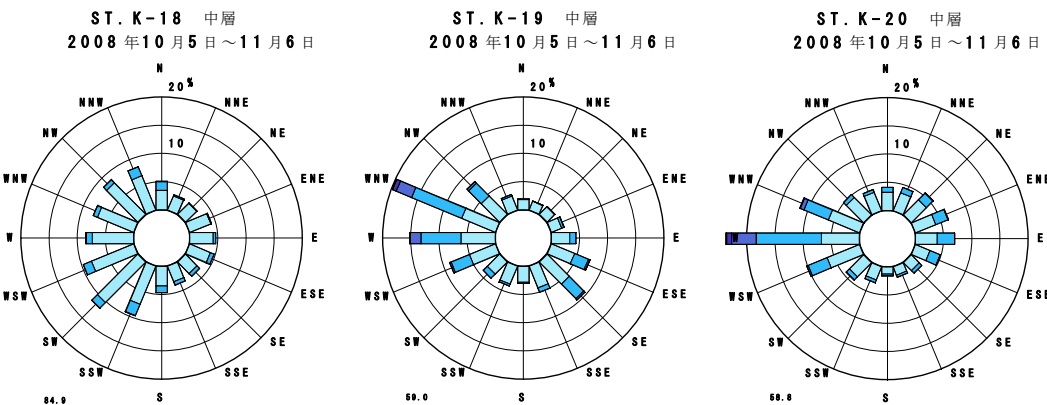
流向頻度図



流速別頻度図



流向頻度図



流速別頻度図

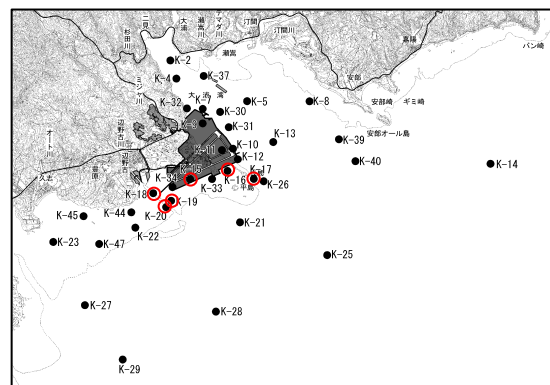
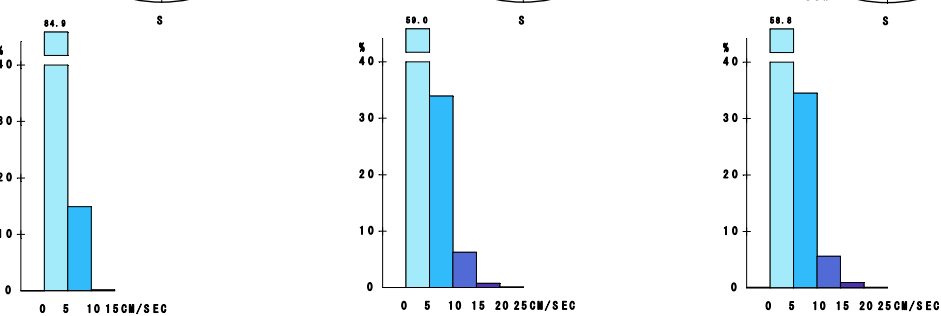


図-6. 6. 1. 17(2) 電磁流速計による調査結果に基づく秋季の流況頻度図

注) 調査期間：平成20年10月5日～11月6日

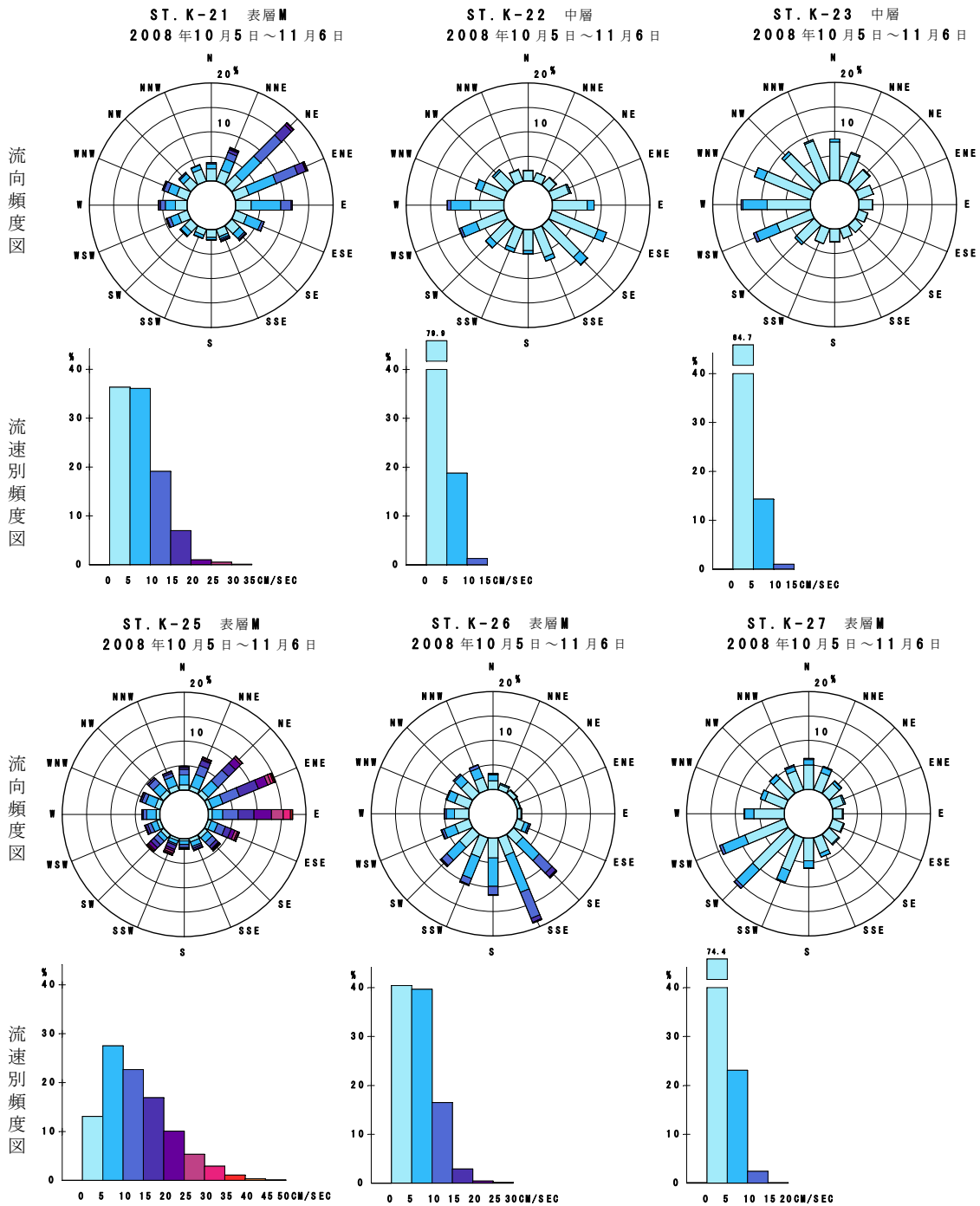
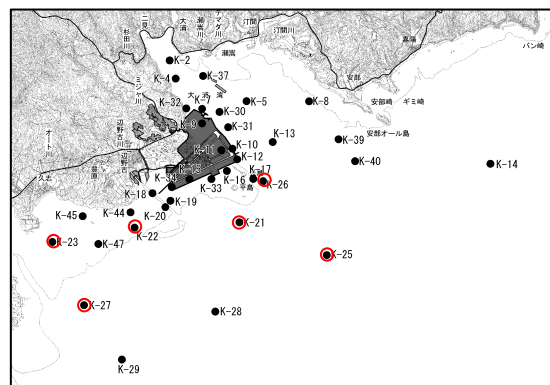
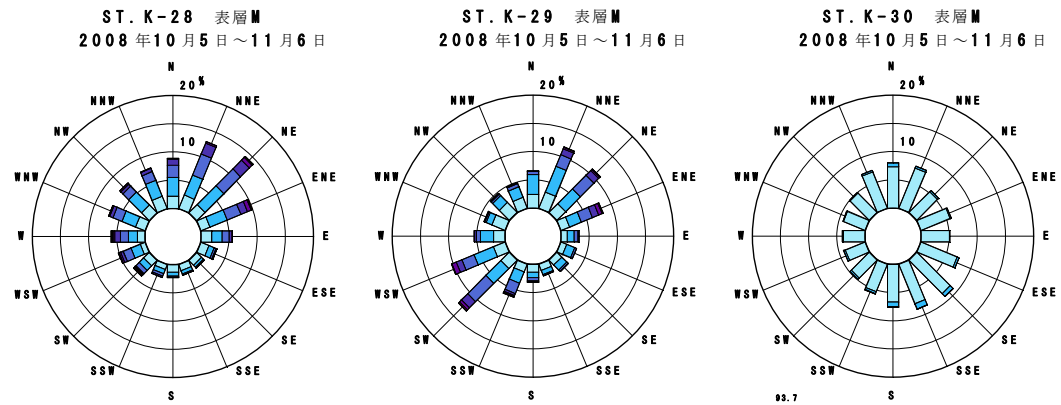


図-6. 6. 1. 17(3) 電磁流速計による調査結果に基づく秋季の流況頻度図

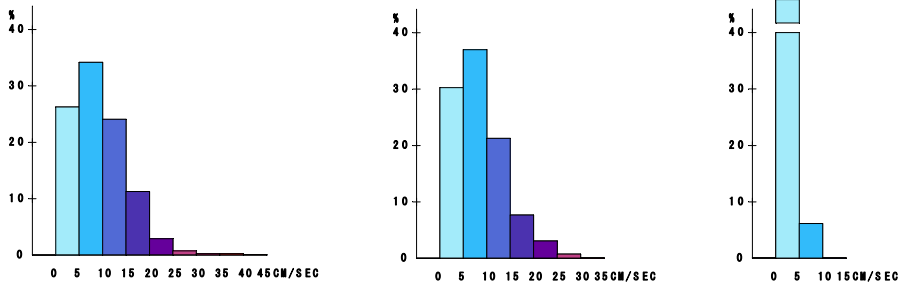
注) 調査期間：平成 20 年 10 月 5 日～11 月 6 日



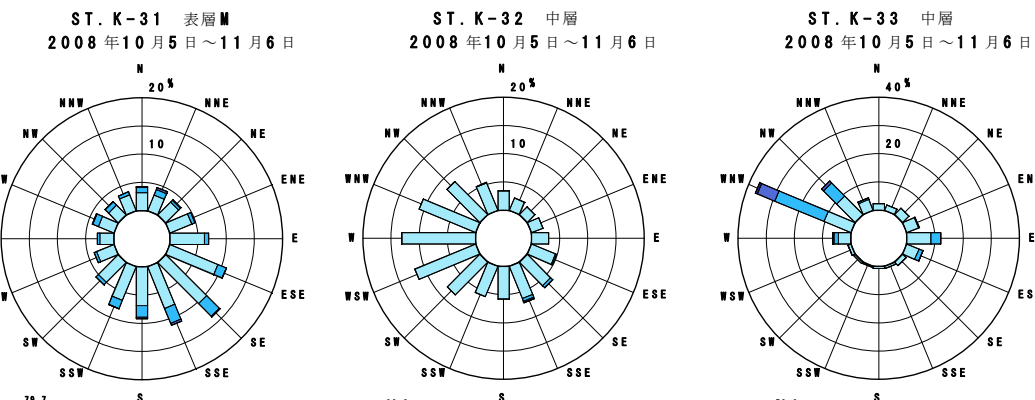
流向頻度図



流速別頻度図



流向頻度図



流速別頻度図

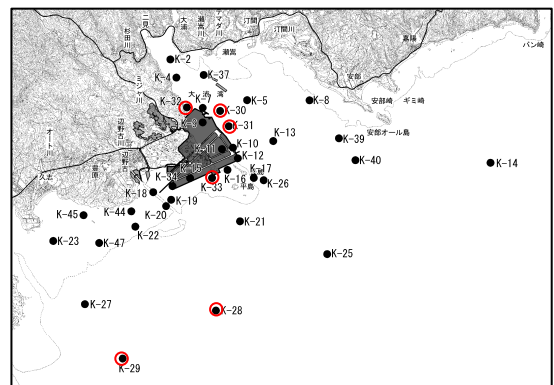
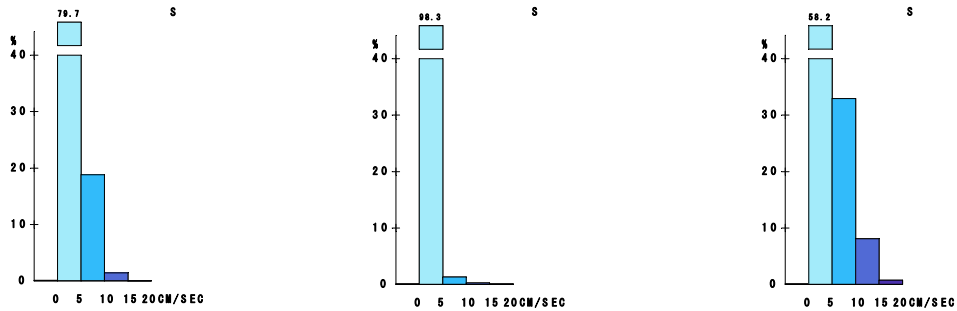
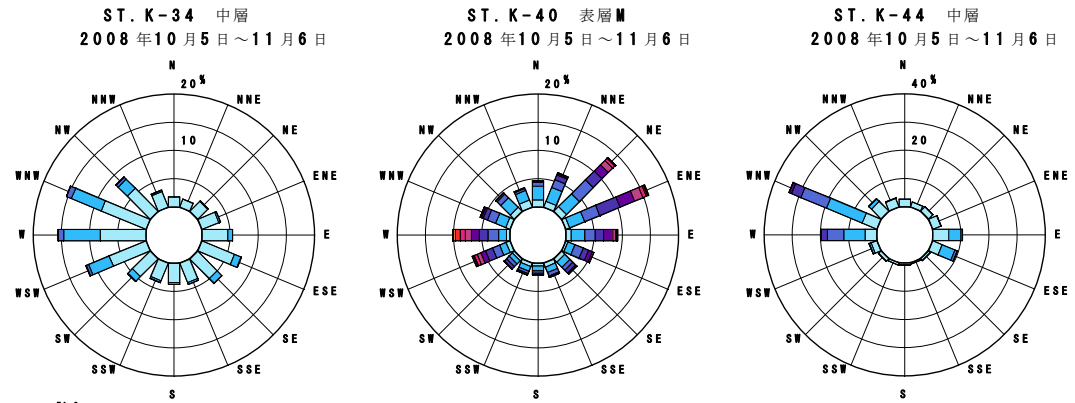


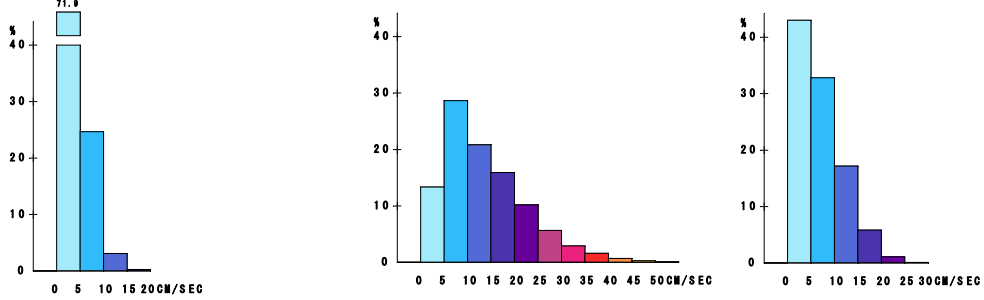
図-6. 6. 1. 17(4) 電磁流速計による調査結果に基づく秋季の流況頻度図

注) 調査期間：平成 20 年 10 月 5 日～11 月 6 日

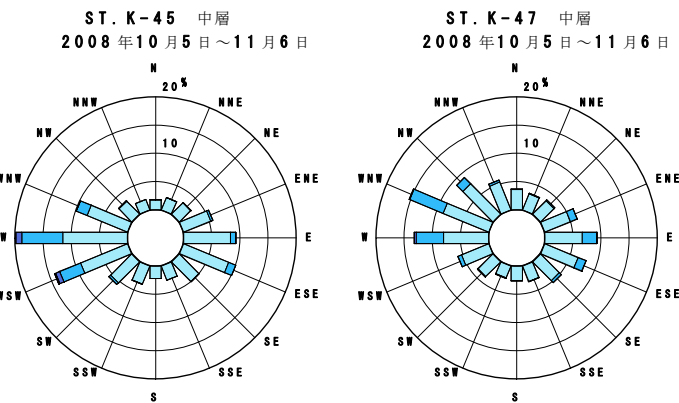
流向頻度図



流速別頻度図



流向頻度図



流速別頻度図

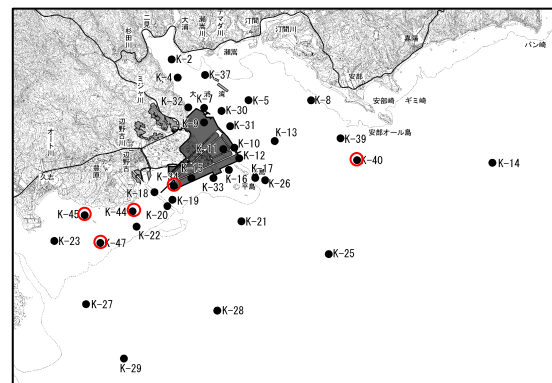
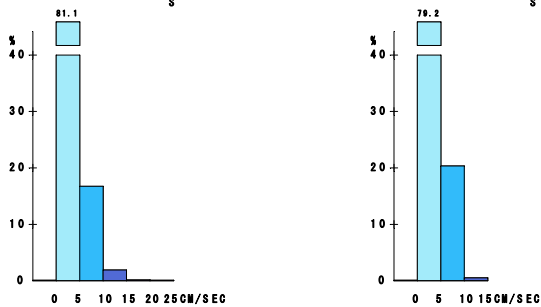


図-6. 6. 1. 17(5) 電磁流速計による調査結果に基づく秋季の流況頻度図

注) 調査期間：平成 20 年 10 月 5 日～11 月 6 日

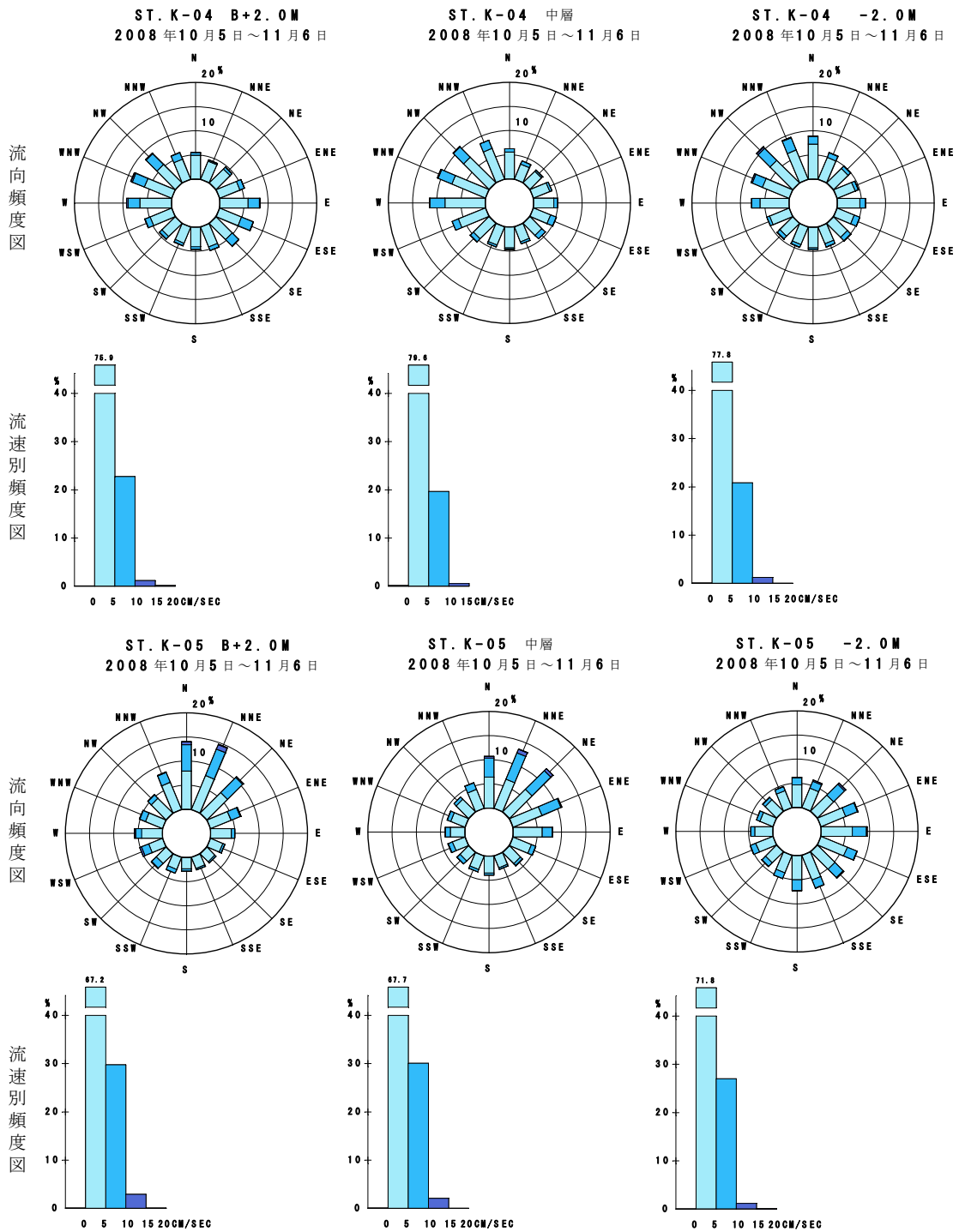
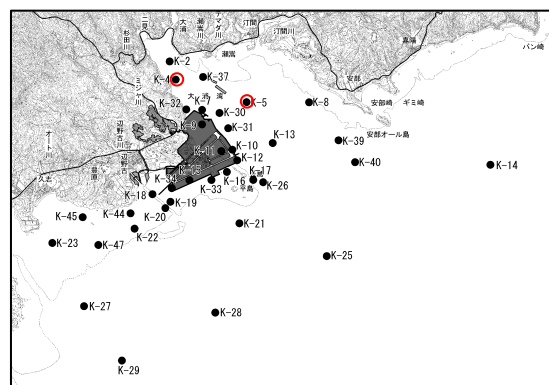


図-6.6.1.18(1) 超音波流速計による調査結果に基づく秋季の流況頻度図

注) 調査期間：平成20年10月5日～11月6日



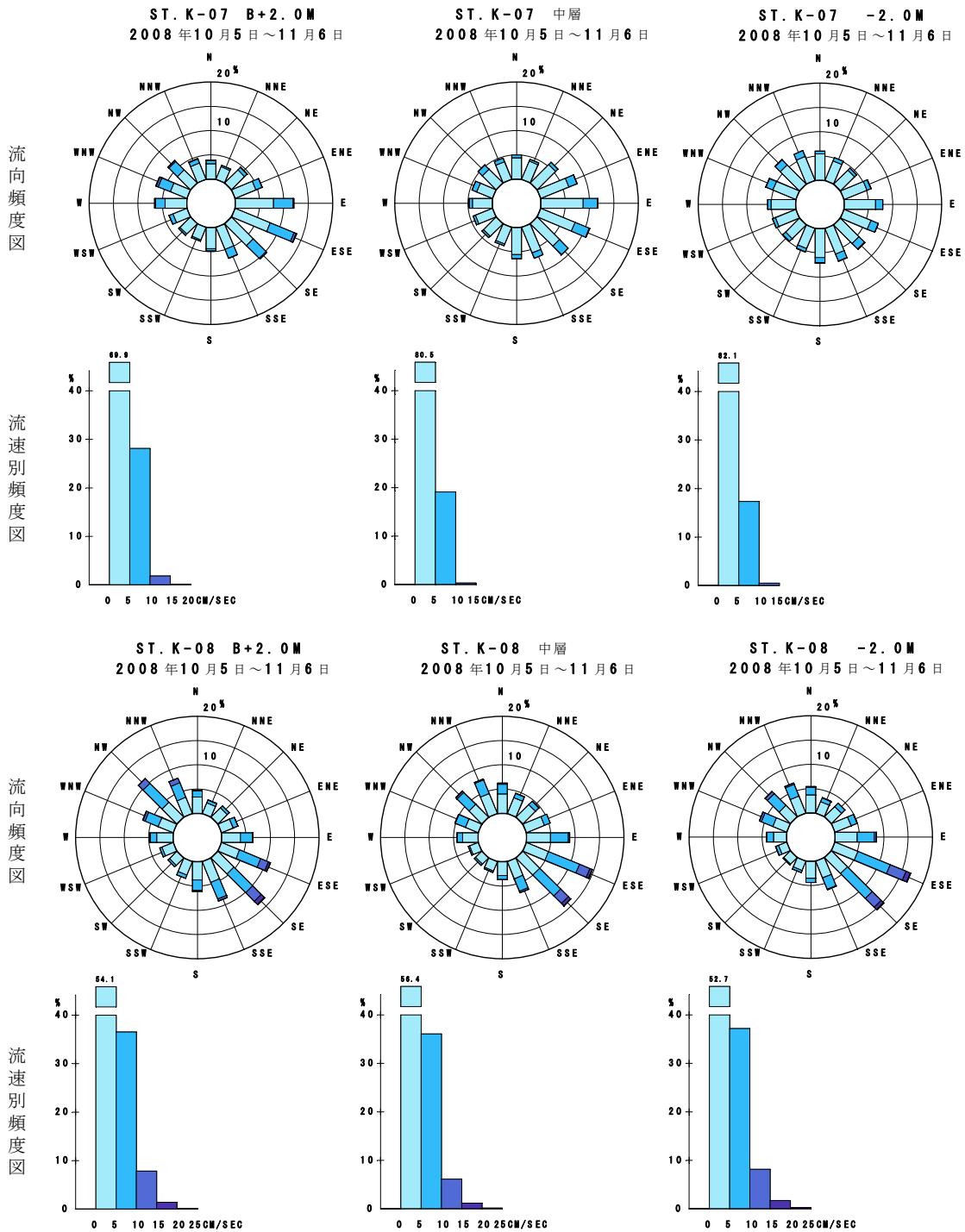
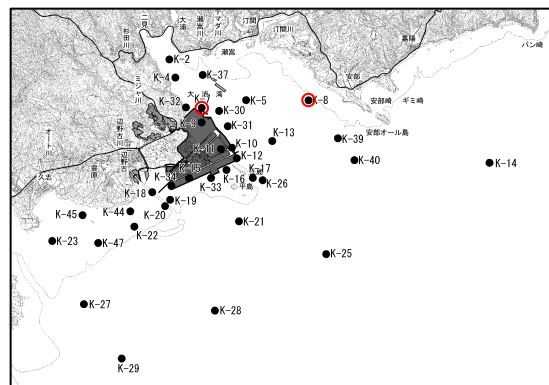


図-6. 6. 1. 18(2) 超音波流速計による調査結果に基づく秋季の流況頻度図

注) 調査期間：平成 20 年 10 月 5 日～11 月 6 日



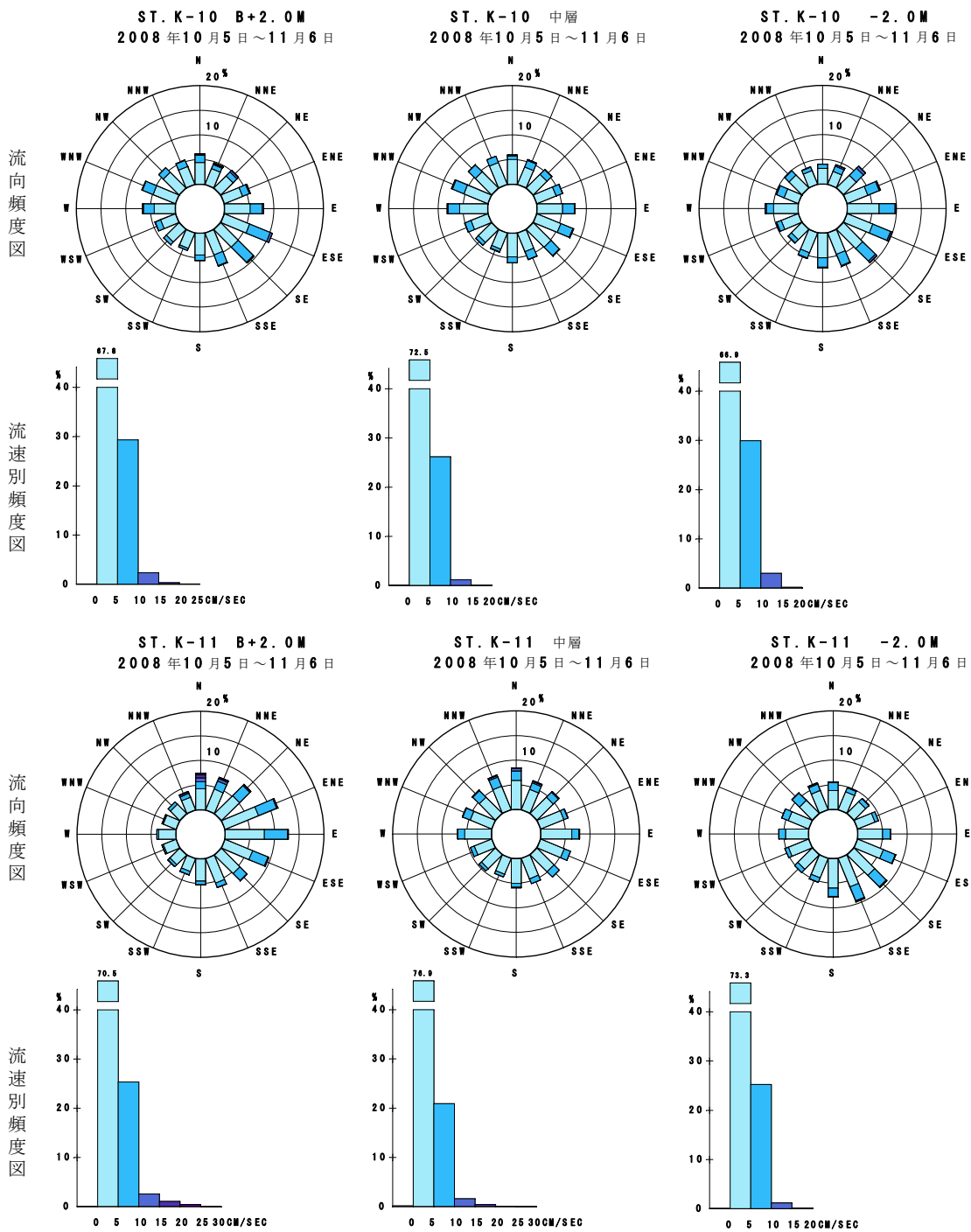
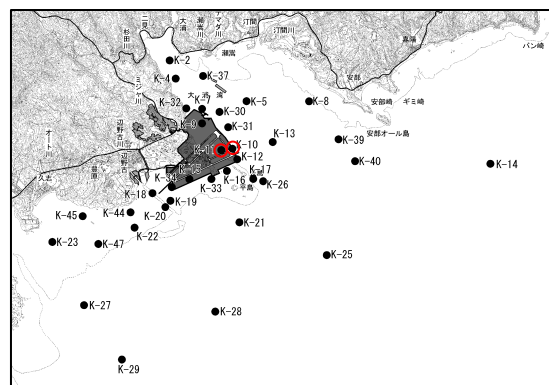


図-6.6.1.18(3) 超音波流速計による調査結果に基づく秋季の流況頻度図

注) 調査期間：平成20年10月5日～11月6日



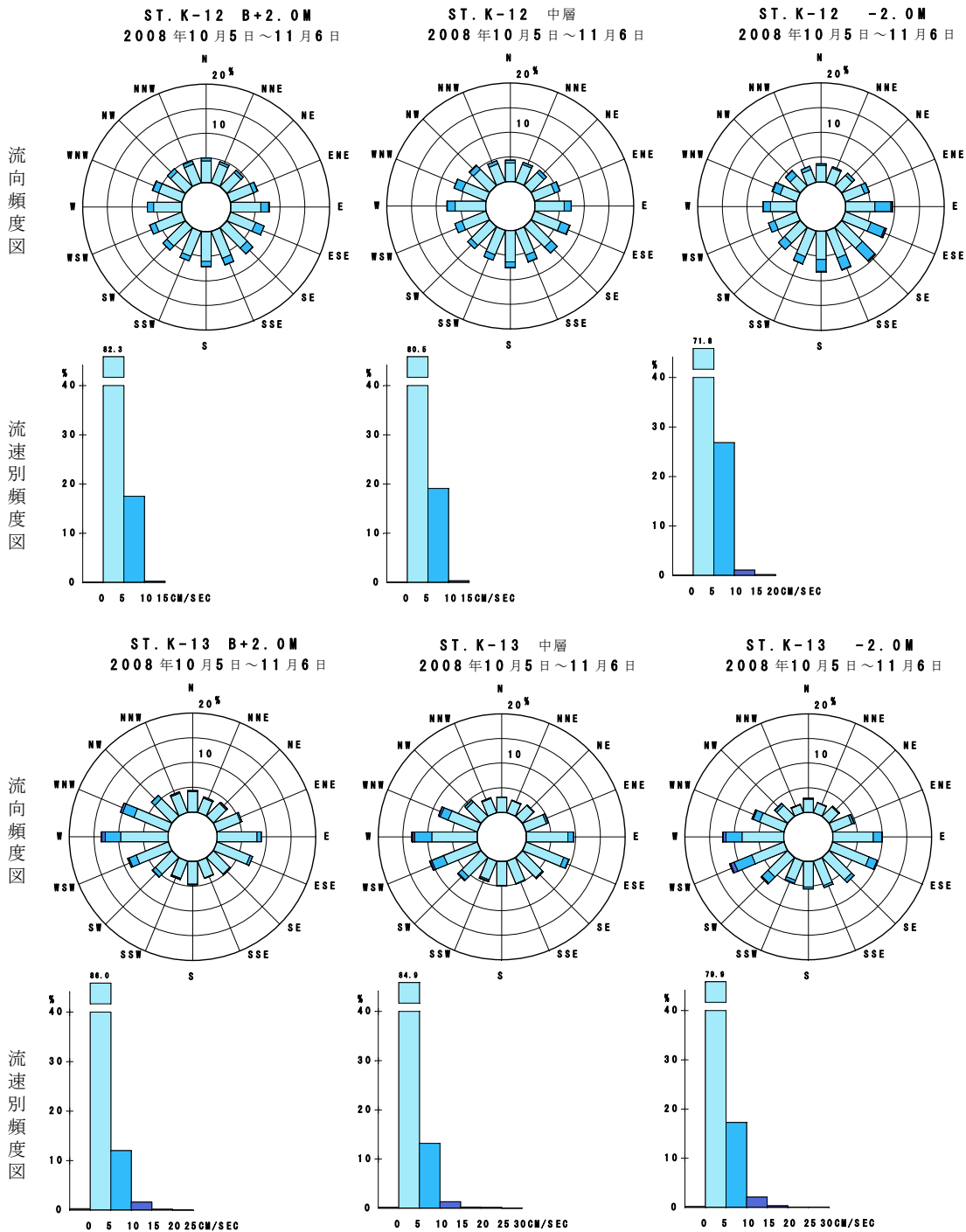
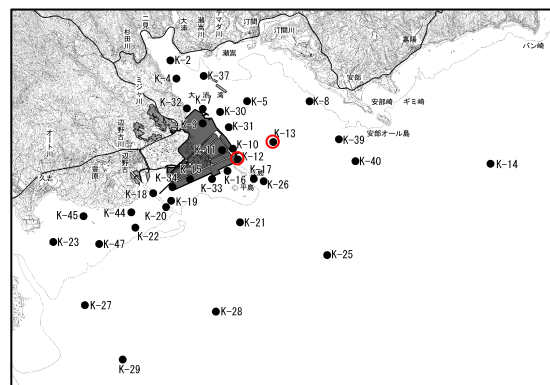


図-6. 6. 1. 18(4) 超音波流速計による調査結果に基づく秋季の流況頻度図

注) 調査期間：平成 20 年 10 月 5 日～11 月 6 日



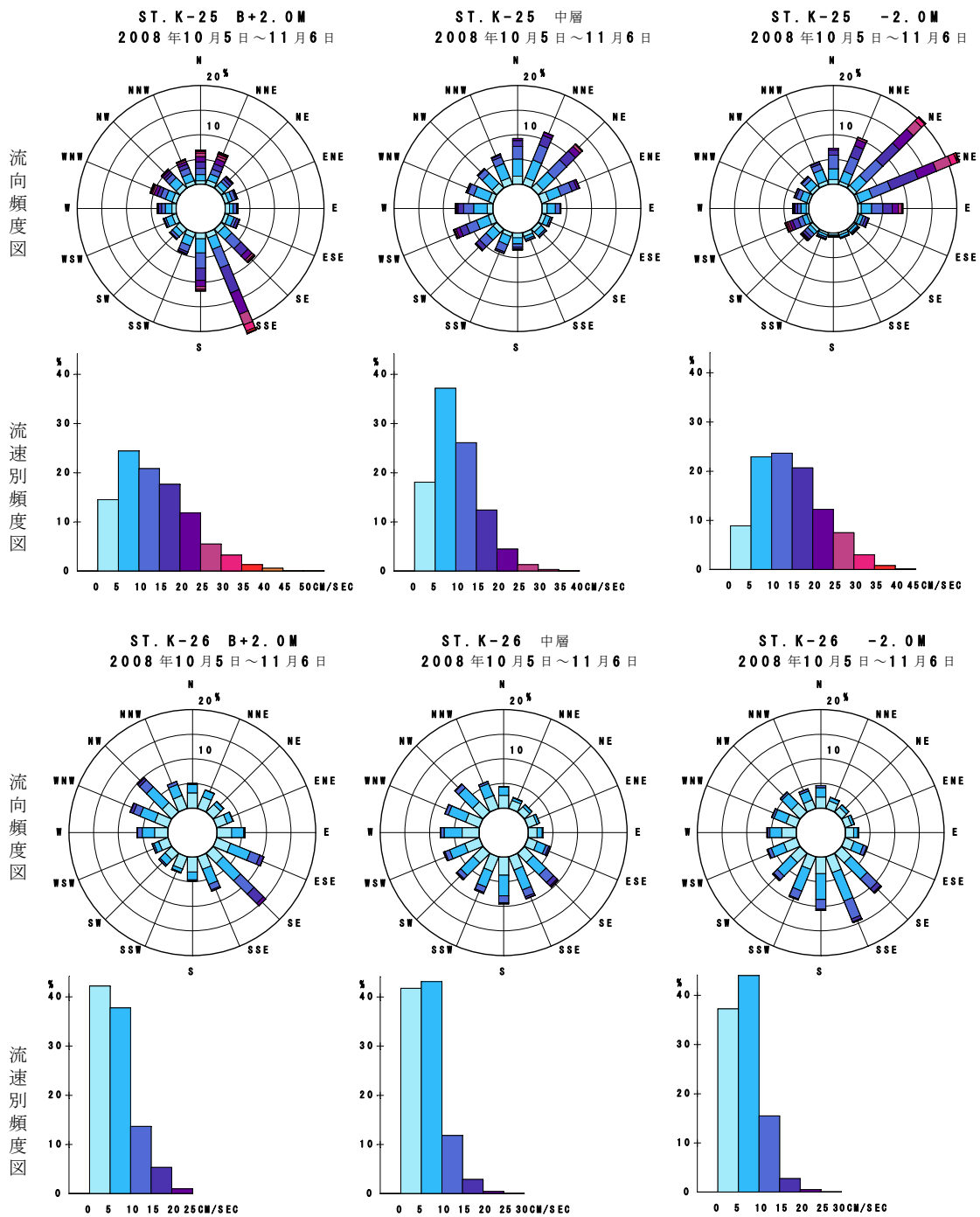
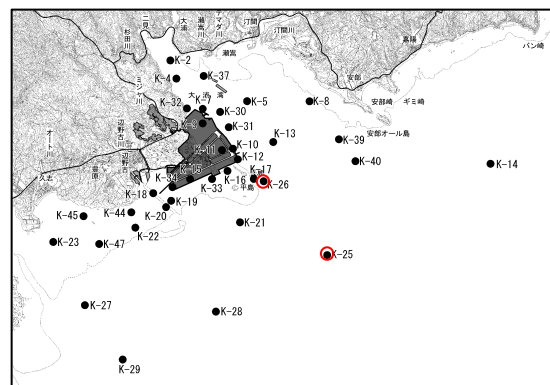


図-6.6.1.18(6) 超音波流速計による調査結果に基づく秋季の流況頻度図

注) 調査期間：平成20年10月5日～11月6日



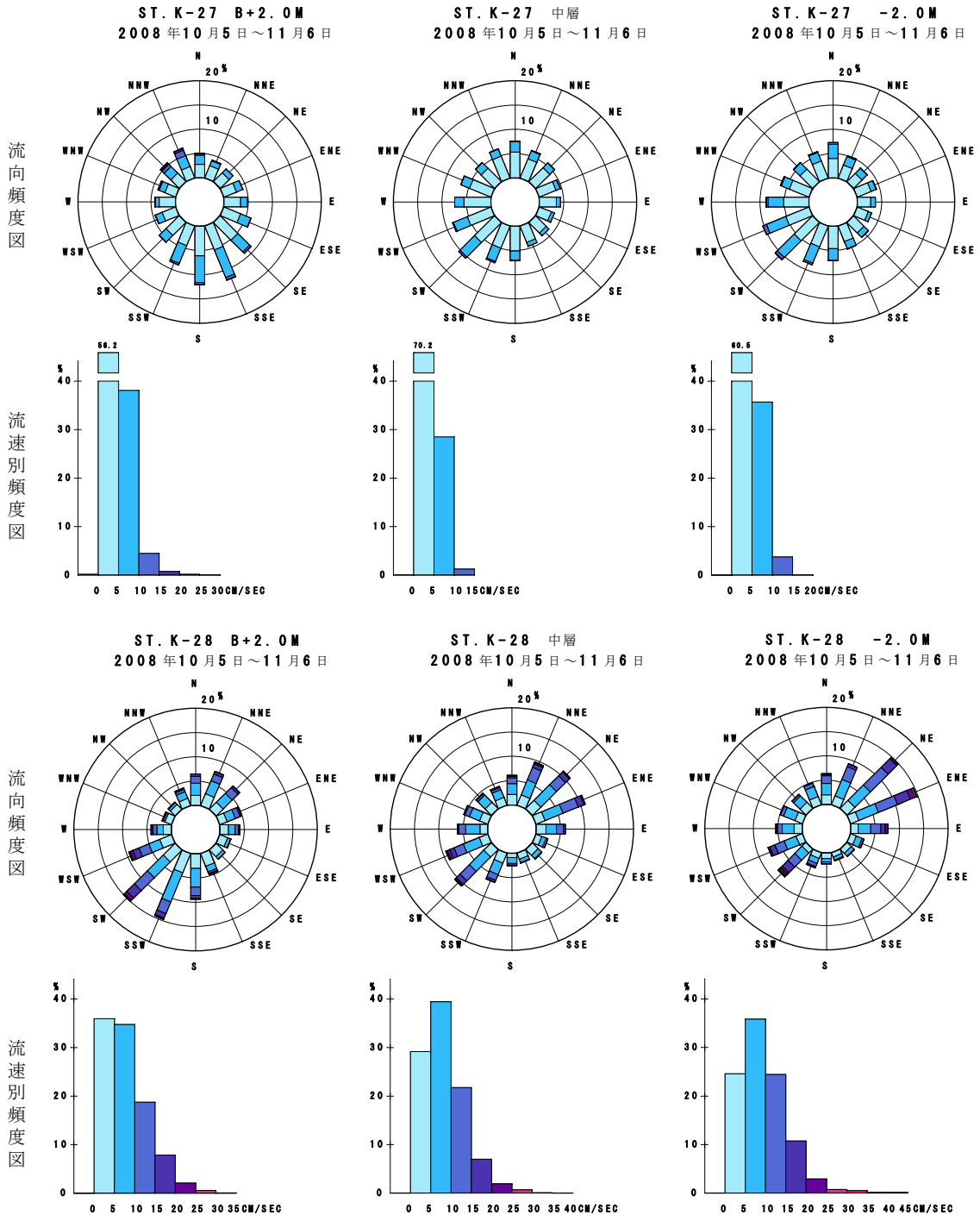
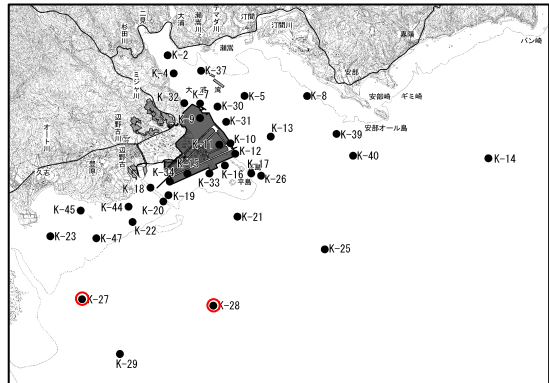


図-6. 6. 1. 18(7) 超音波流速計による調査結果に基づく秋季の流況頻度図

注) 調査期間：平成 20 年 10 月 5 日～11 月 6 日



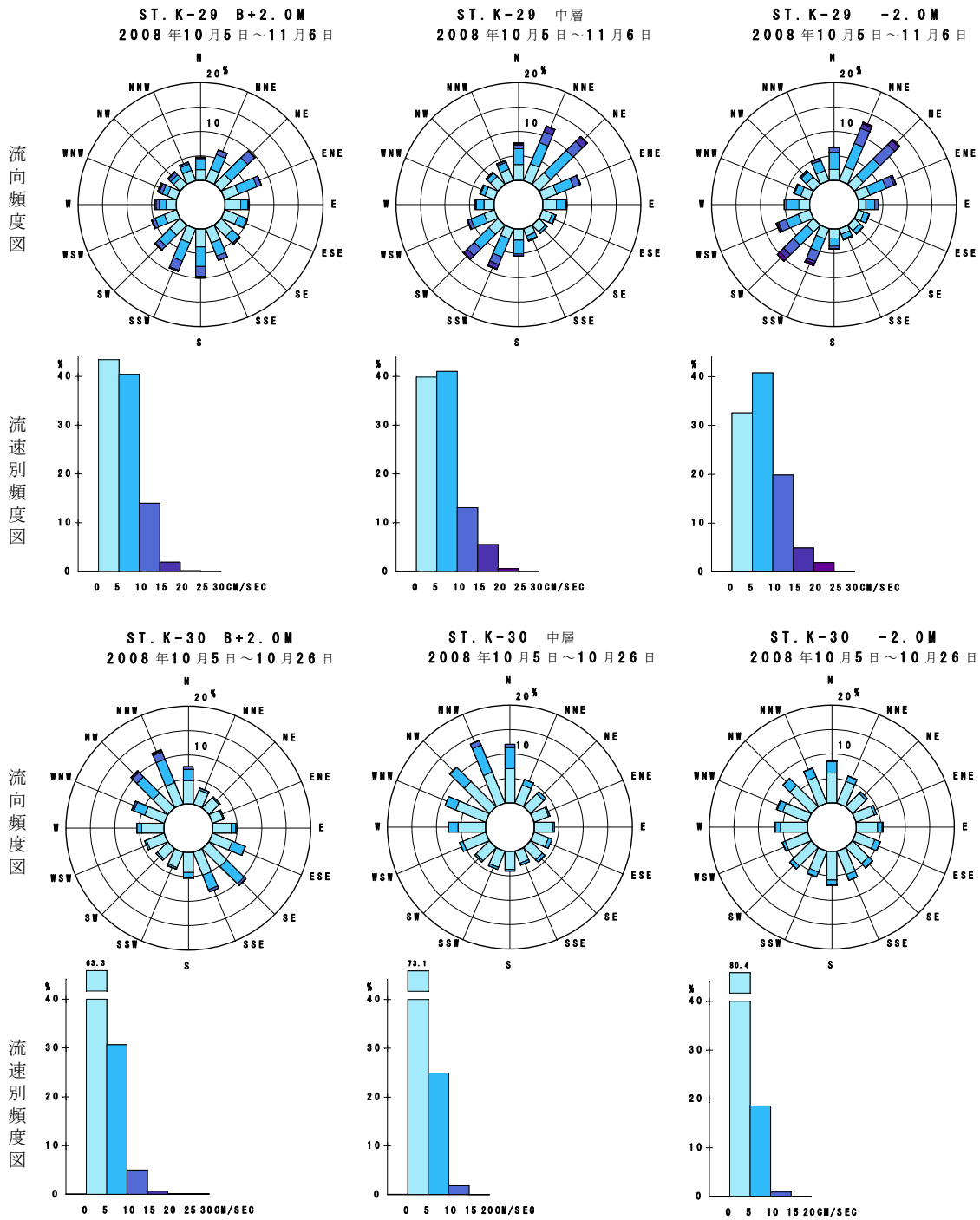
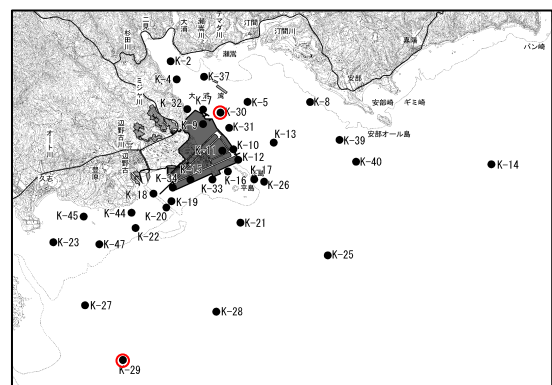


図-6. 6. 1. 18(8) 超音波流速計による調査結果に基づく秋季の流況頻度図

注) 調査期間：平成20年10月5日～11月6日



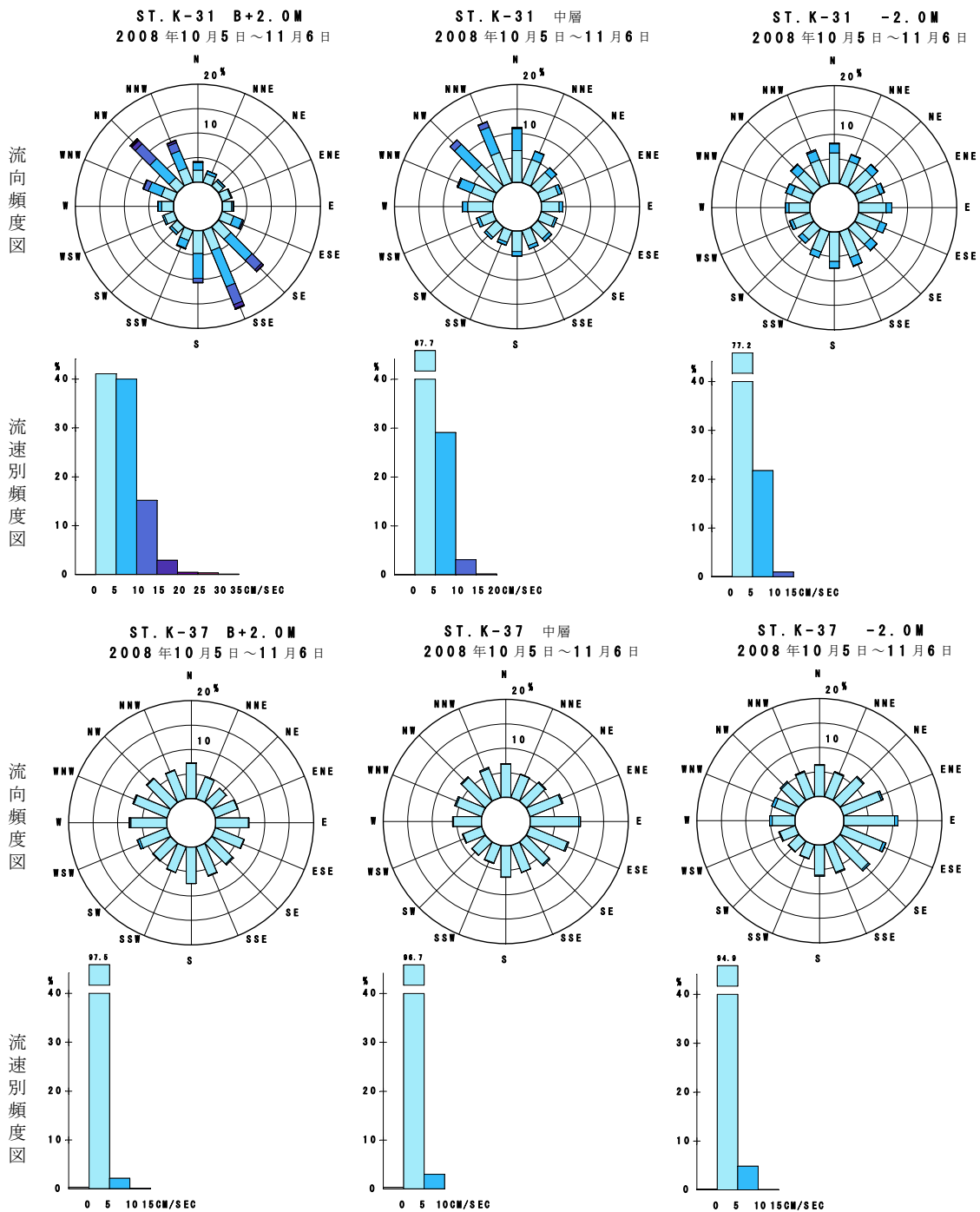
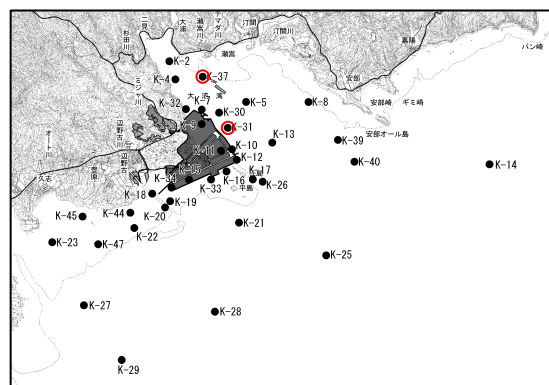


図-6. 6. 1. 18(9) 超音波流速計による調査結果に基づく秋季の流況頻度図

注) 調査期間：平成 20 年 10 月 5 日～11 月 6 日



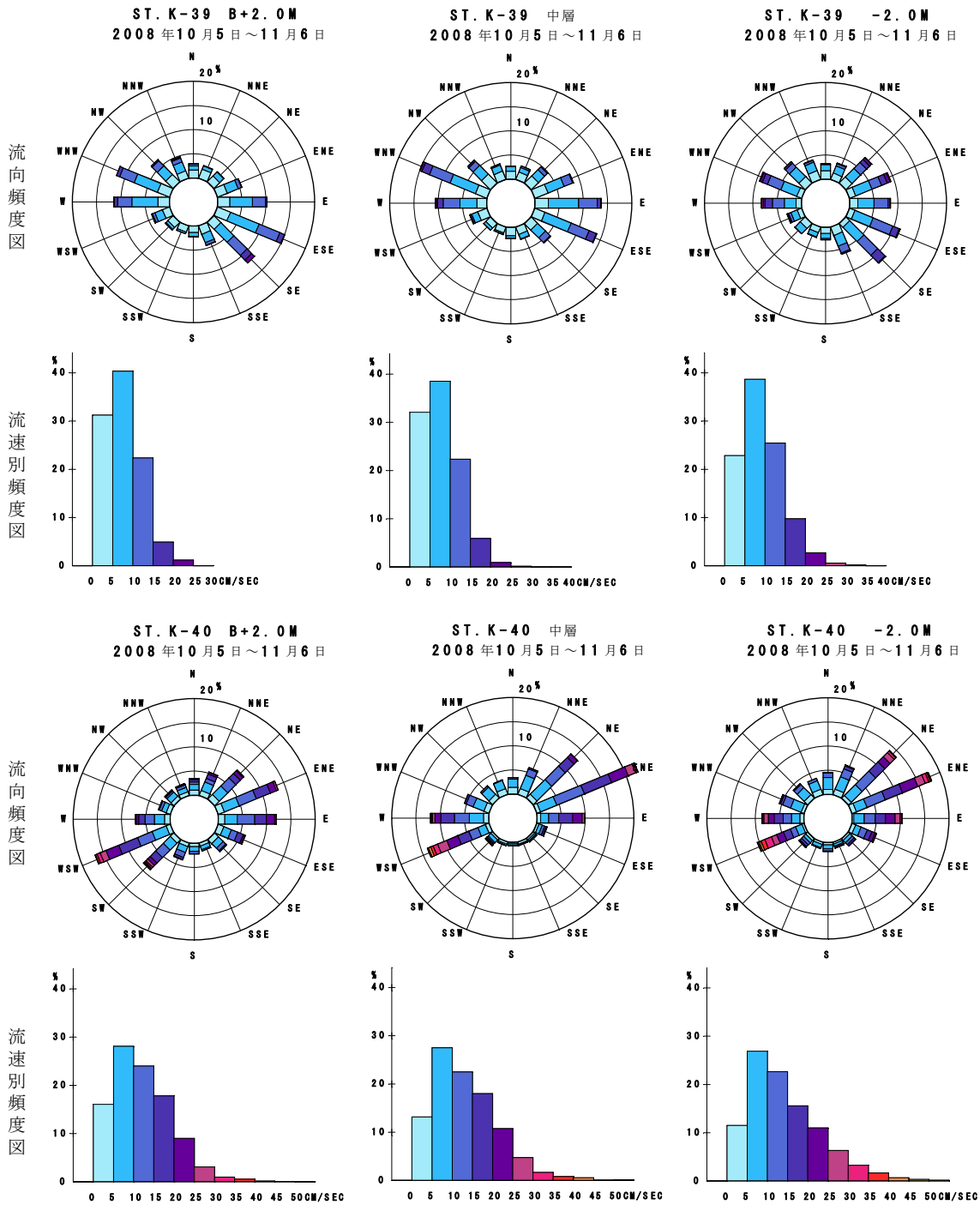
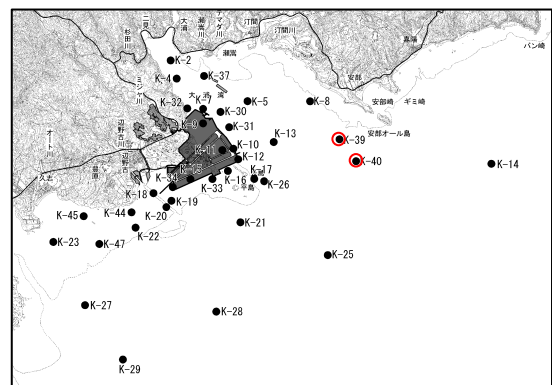


図-6. 6. 1. 18(10) 超音波流速計による調査結果に基づく秋季の流況頻度図

注) 調査期間：平成 20 年 10 月 5 日～11 月 6 日



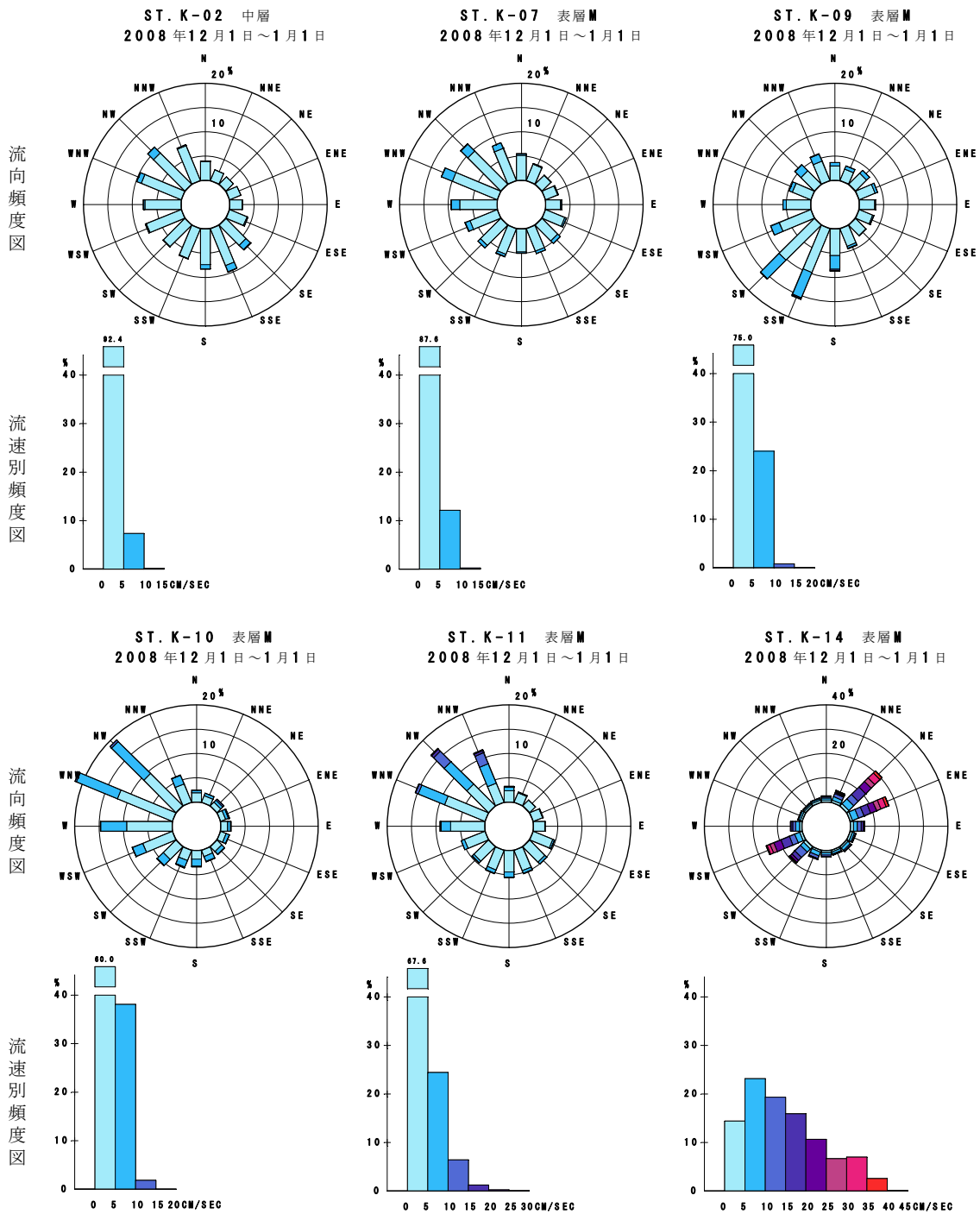
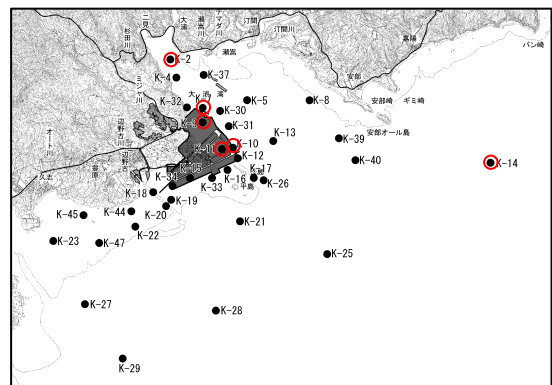


図-6. 6. 1. 19(1) 電磁流速計による調査結果に基づく冬季の流況頻度図

注) 調査期間：平成20年12月1日～平成21年1月1日



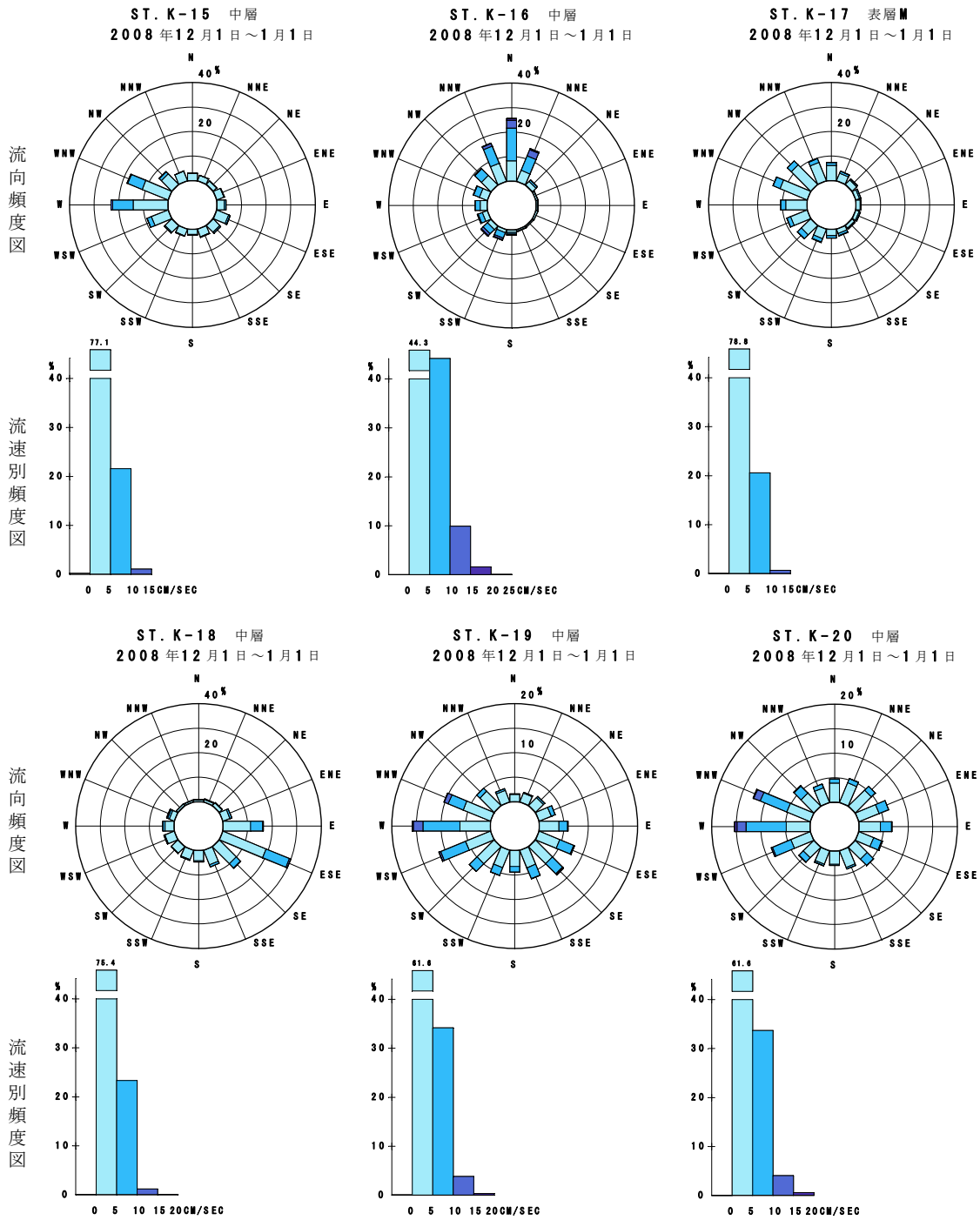
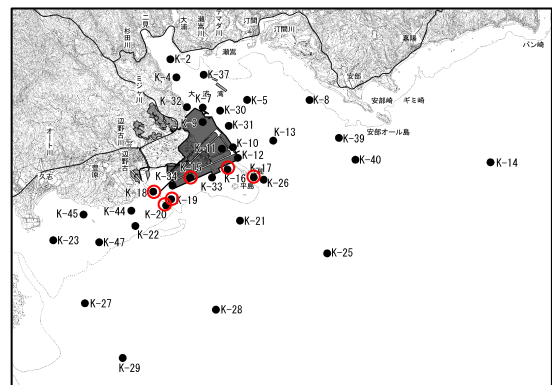


図-6. 6. 1. 19(2) 電磁流速計による調査結果に基づく冬季の流況頻度図

注) 調査期間：平成 20 年 12 月 1 日～平成 21 年 1 月 1 日



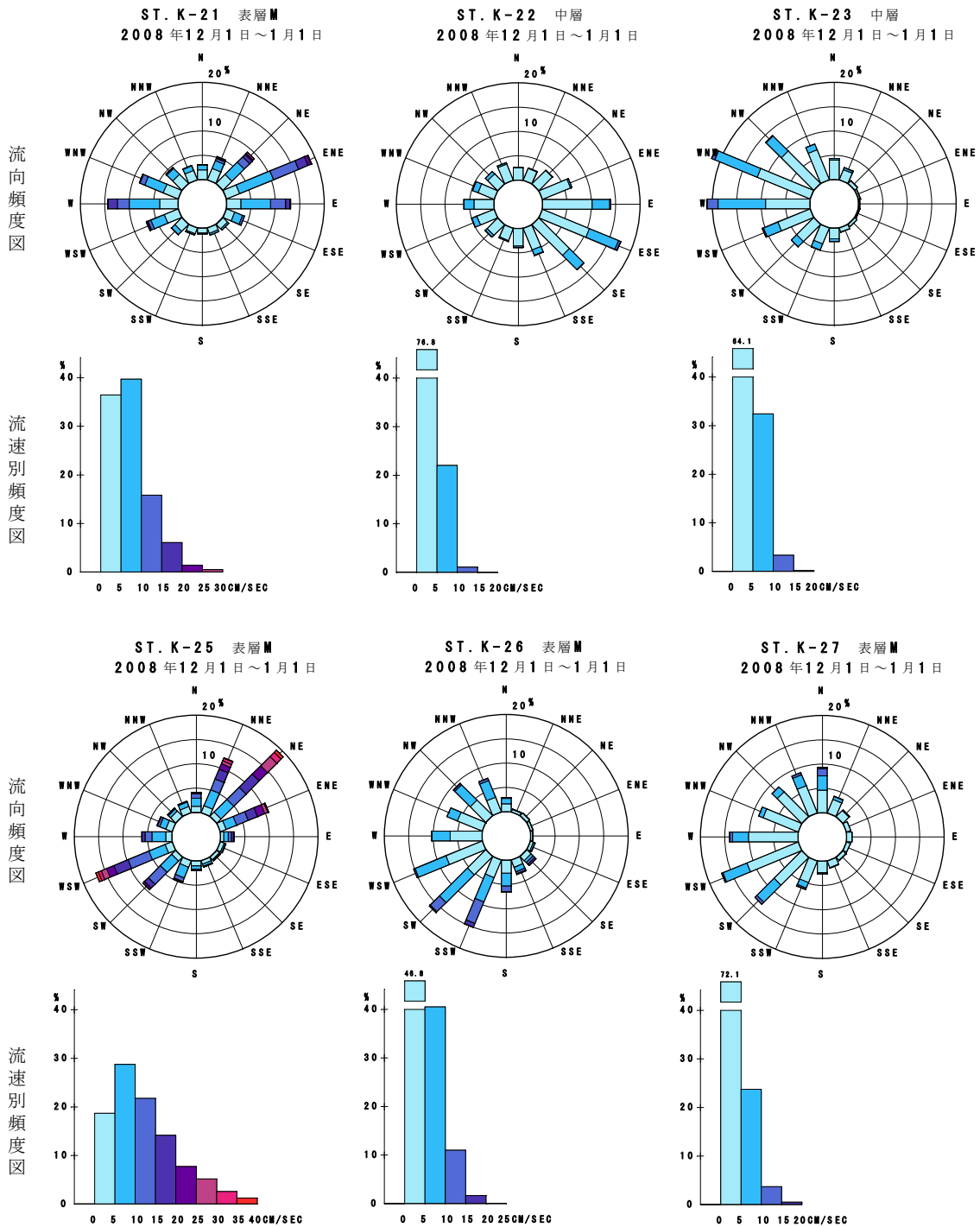
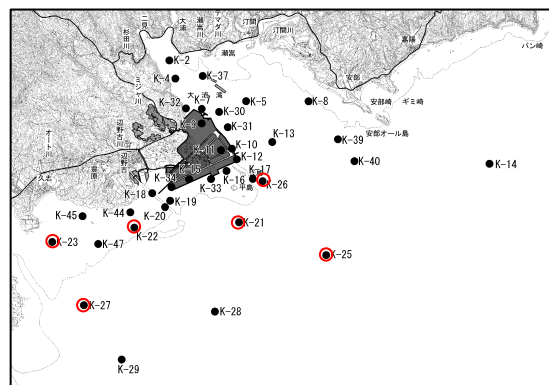


図-6. 6. 1. 19(3) 電磁流速計による調査結果に基づく冬季の流況頻度図

注) 調査期間：平成20年12月1日～平成21年1月1日



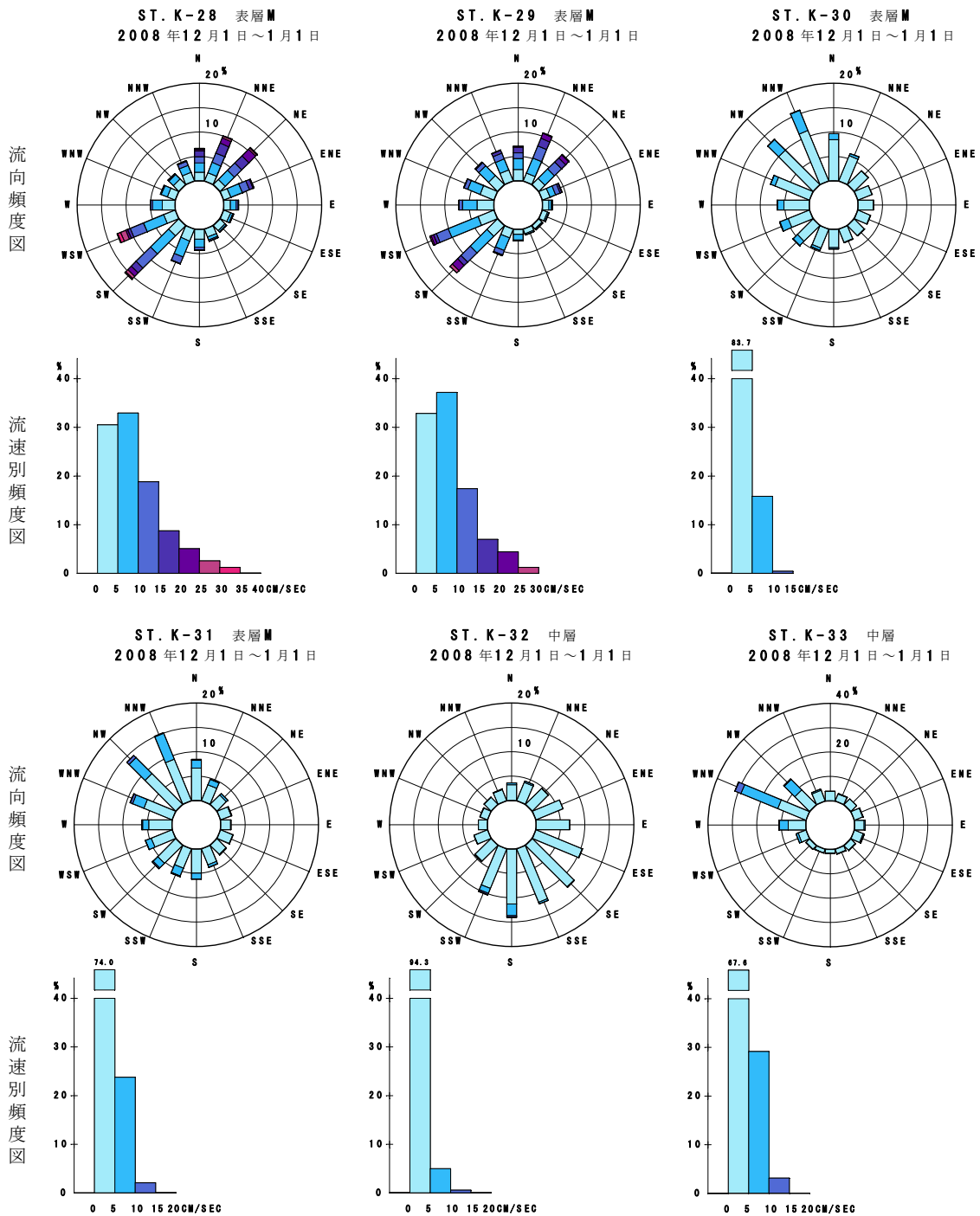
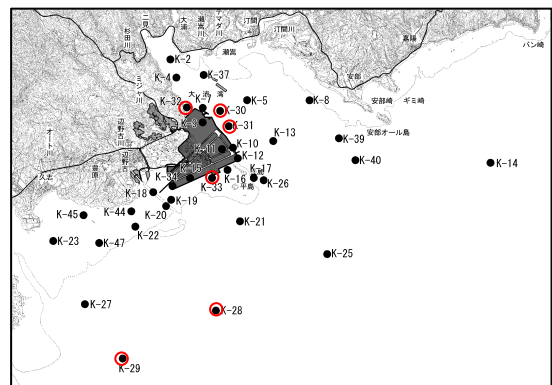


図-6. 6. 1. 19(4) 電磁流速計による調査結果に基づく冬季の流況頻度図

注) 調査期間：平成20年12月1日～平成21年1月1日



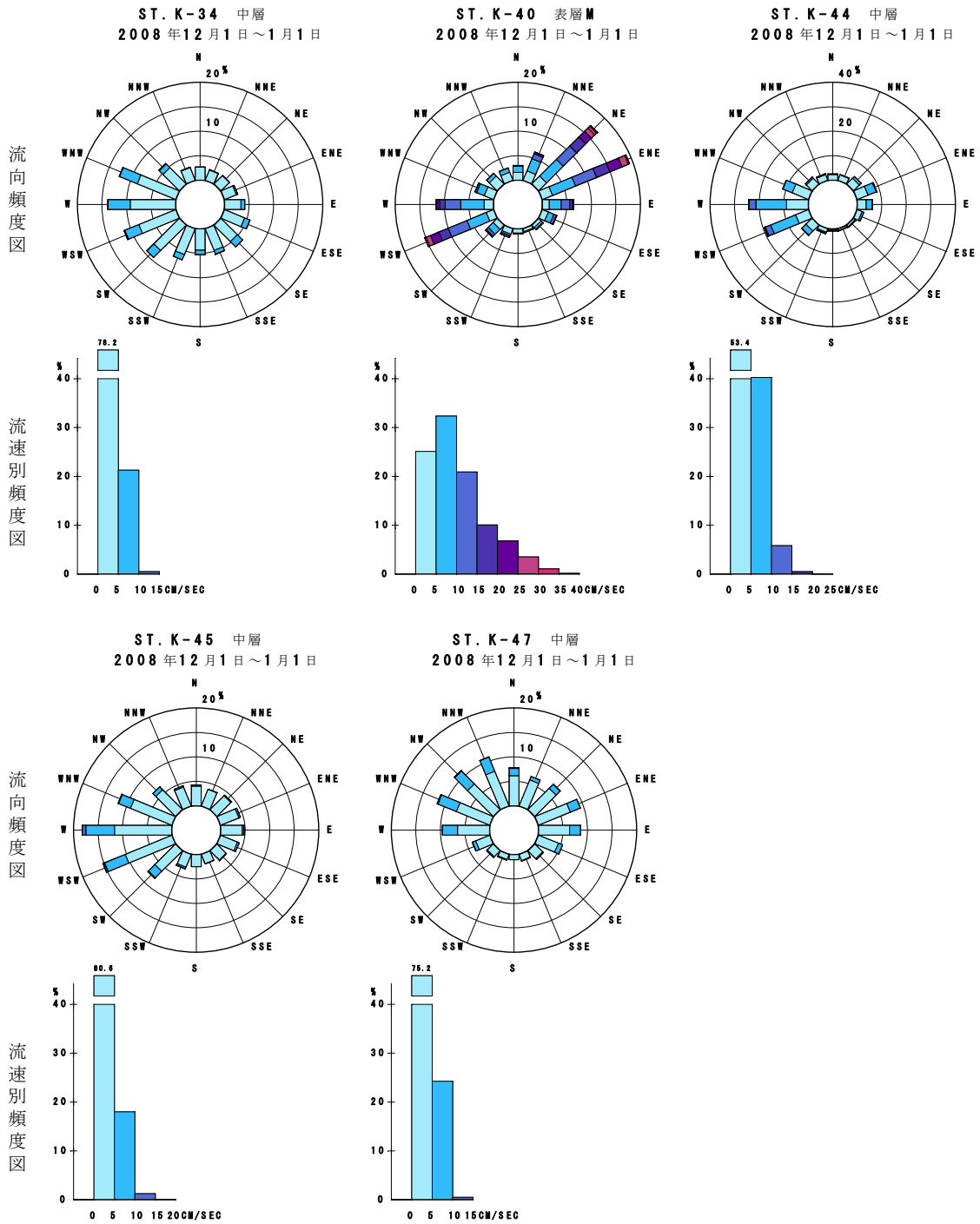
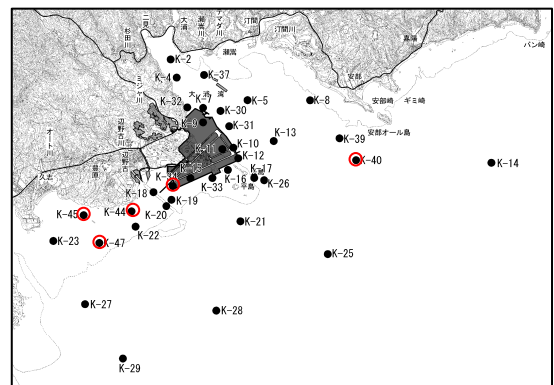


図-6. 6. 1. 19(5) 電磁流速計による調査結果に基づく冬季の流況頻度図

注) 調査期間：平成20年12月1日～平成21年1月1日



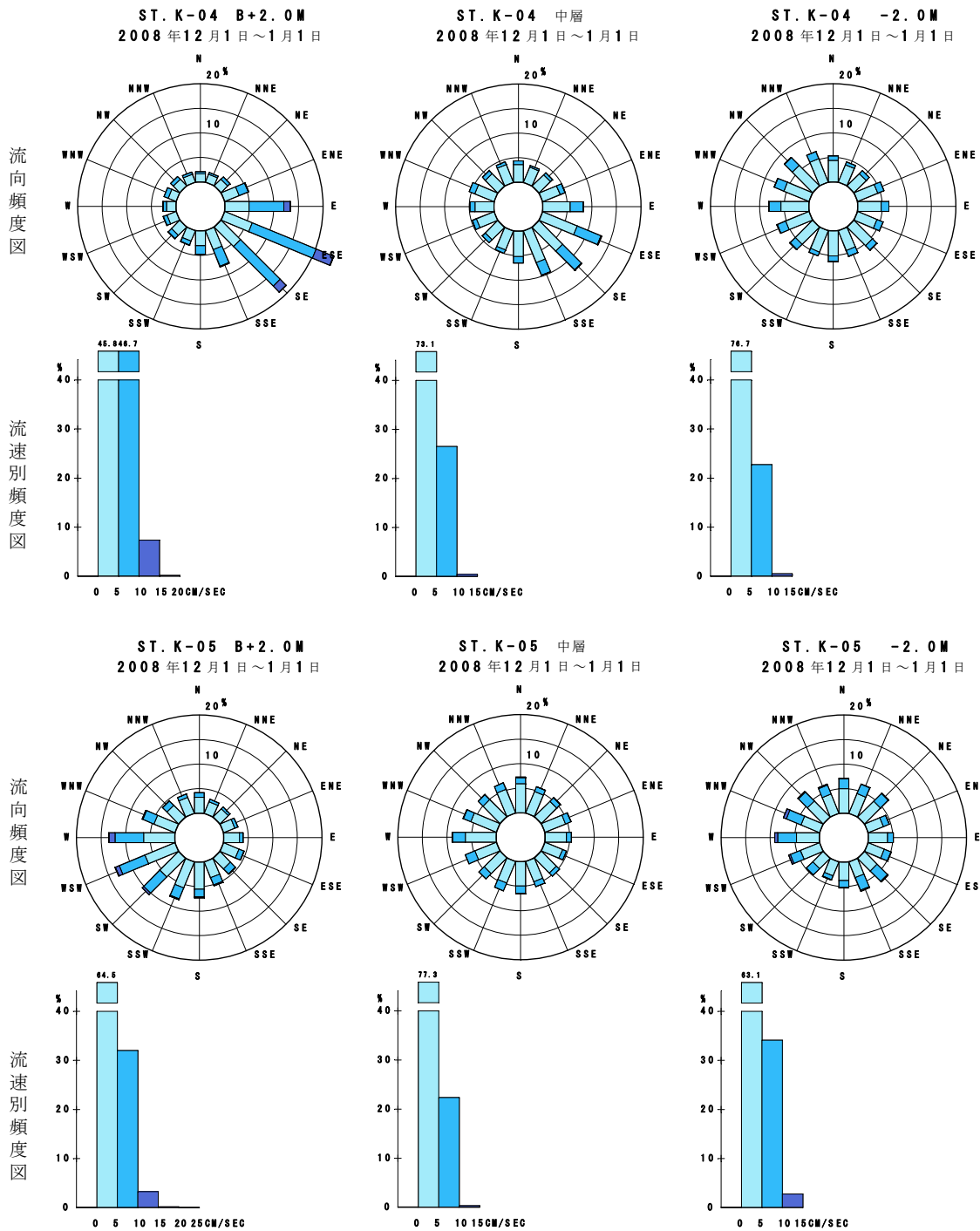
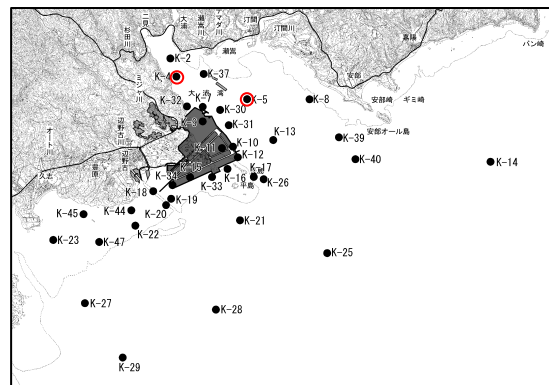


図-6. 6. 1. 20(1) 超音波流速計による調査結果に基づく冬季の流況頻度図

注) 調査期間：平成20年12月1日～平成21年1月1日



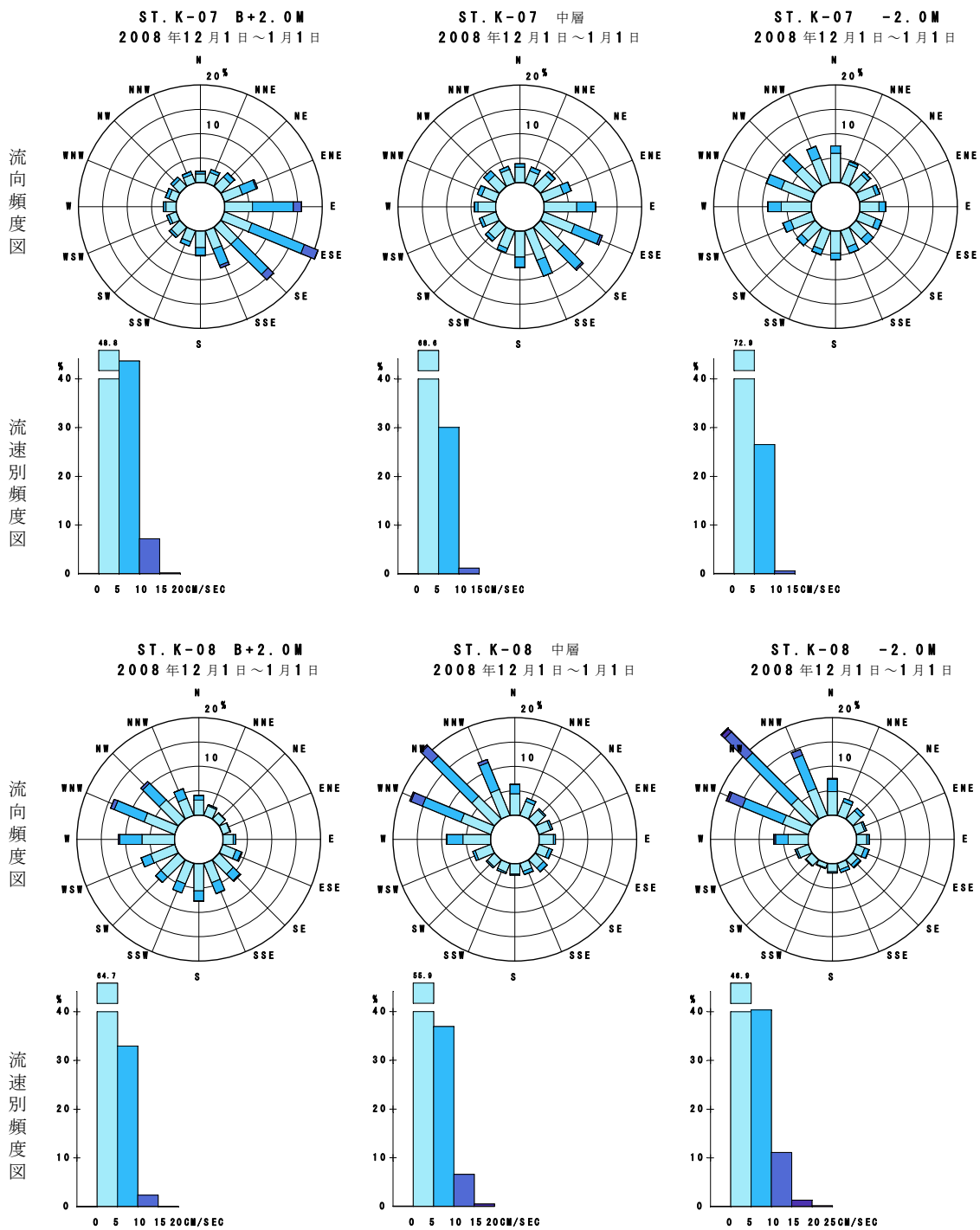
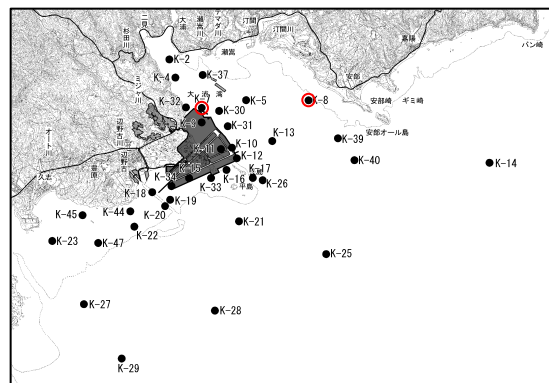


図-6. 6. 1. 20(2) 超音波流速計による調査結果に基づく冬季の流況頻度図

注) 調査期間：平成20年12月1日～平成21年1月1日



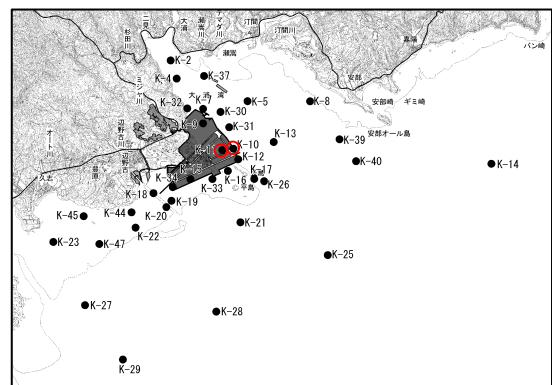
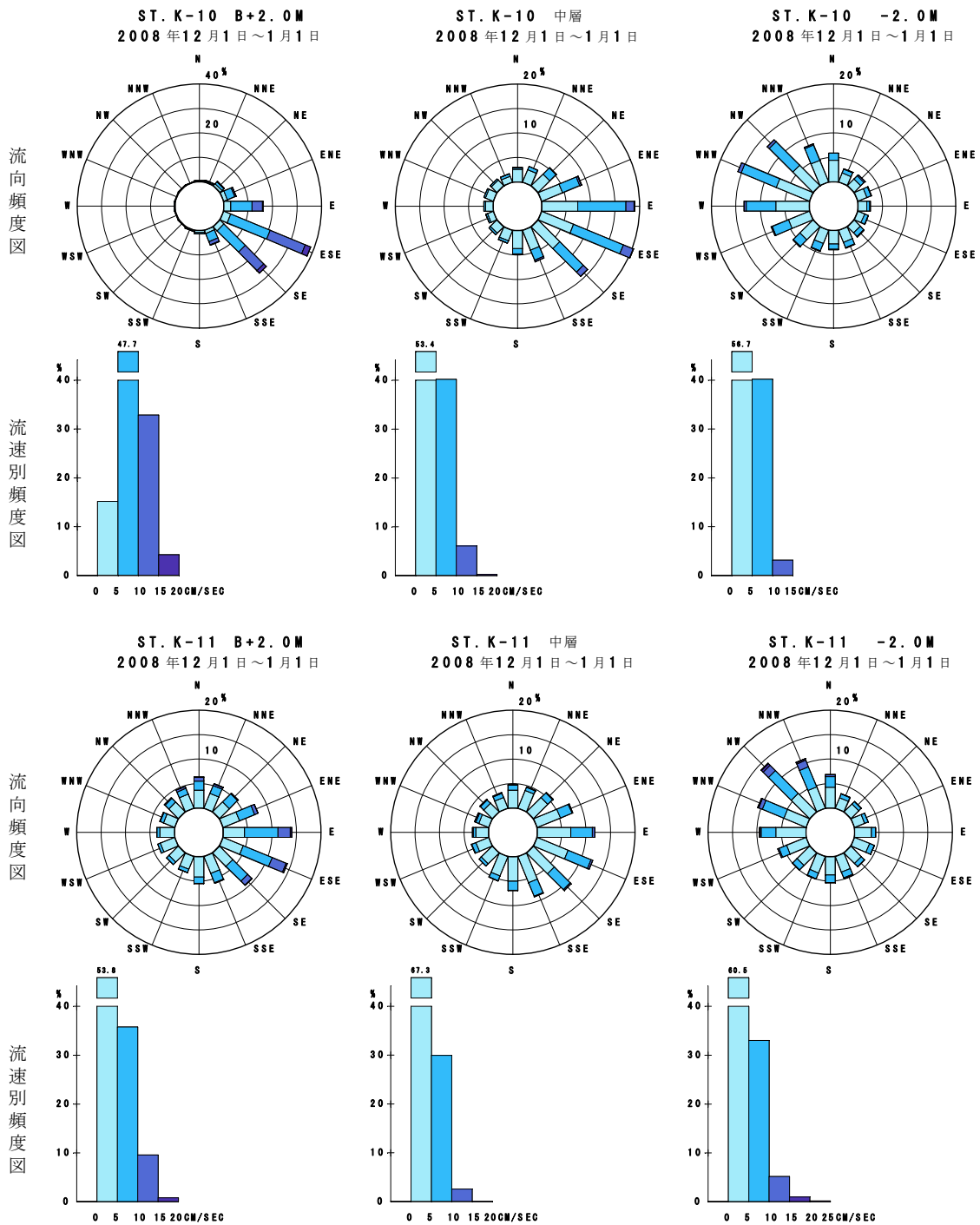


図-6. 6. 1. 20(3) 超音波流速計による調査結果に基づく冬季の流況頻度図

注) 調査期間：平成 20 年 12 月 1 日～平成 21 年 1 月 1 日

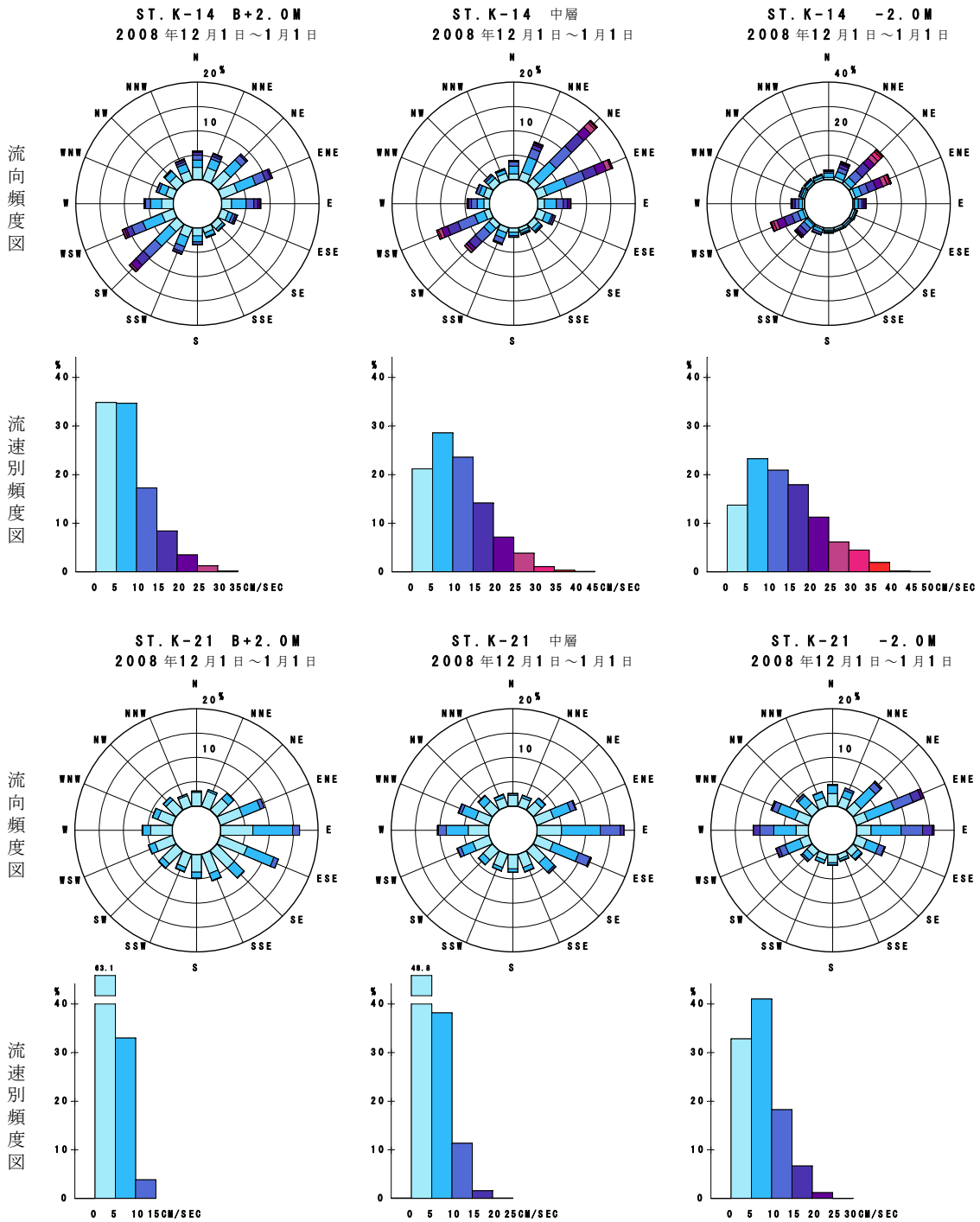
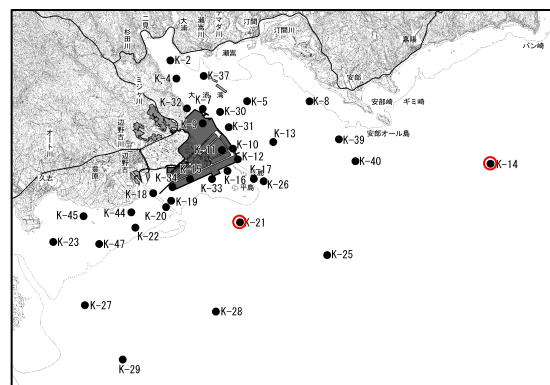


図-6. 6. 1. 20(5) 超音波流速計による調査結果に基づく冬季の流況頻度図

注) 調査期間：平成20年12月1日～平成21年1月1日



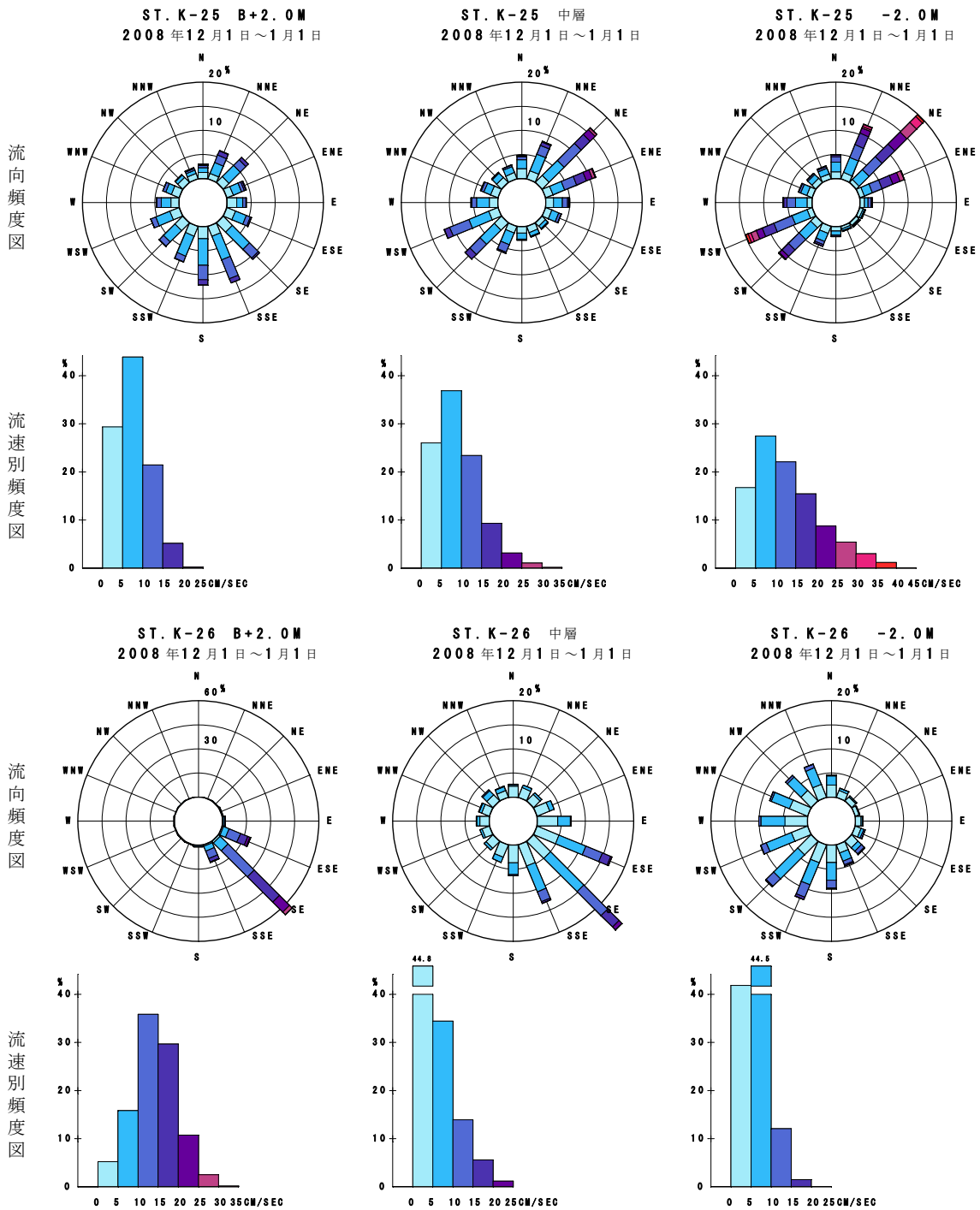
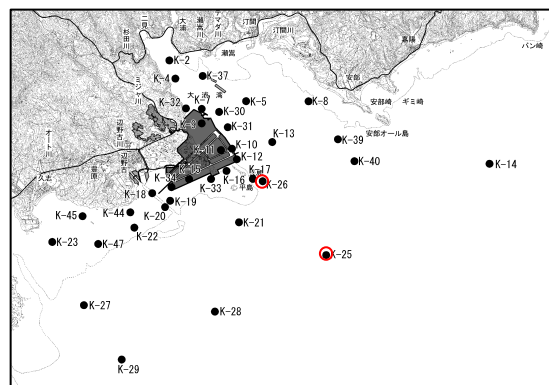


図-6. 6. 1. 20(6) 超音波流速計による調査結果に基づく冬季の流況頻度図

注) 調査期間：平成 20 年 12 月 1 日～平成 21 年 1 月 1 日



流向頻度図

流速別頻度図

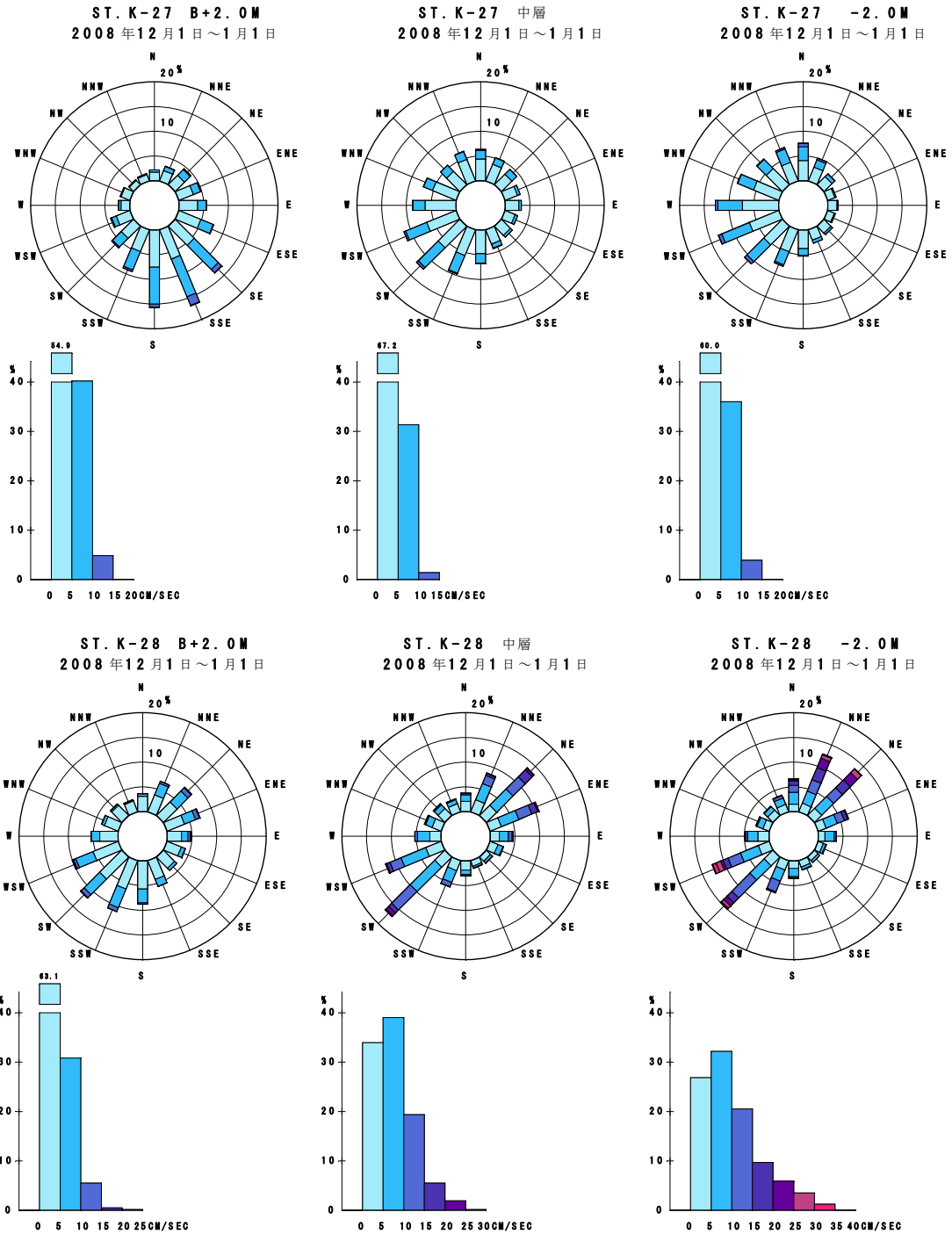
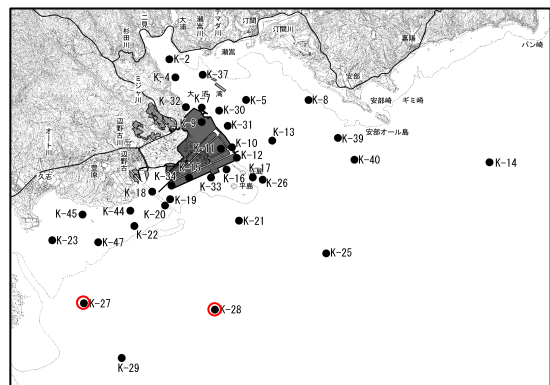
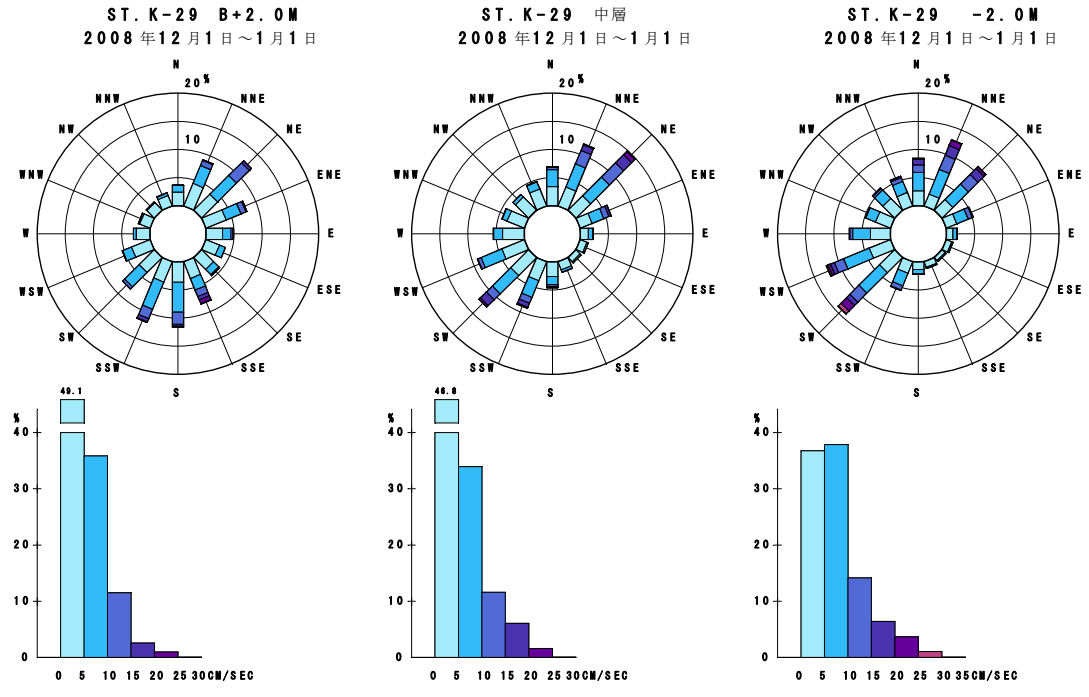


図-6. 6. 1. 20(7) 超音波流速計による調査結果に基づく冬季の流況頻度図

注) 調査期間：平成20年12月1日～平成21年1月1日



流向頻度図



流向頻度図

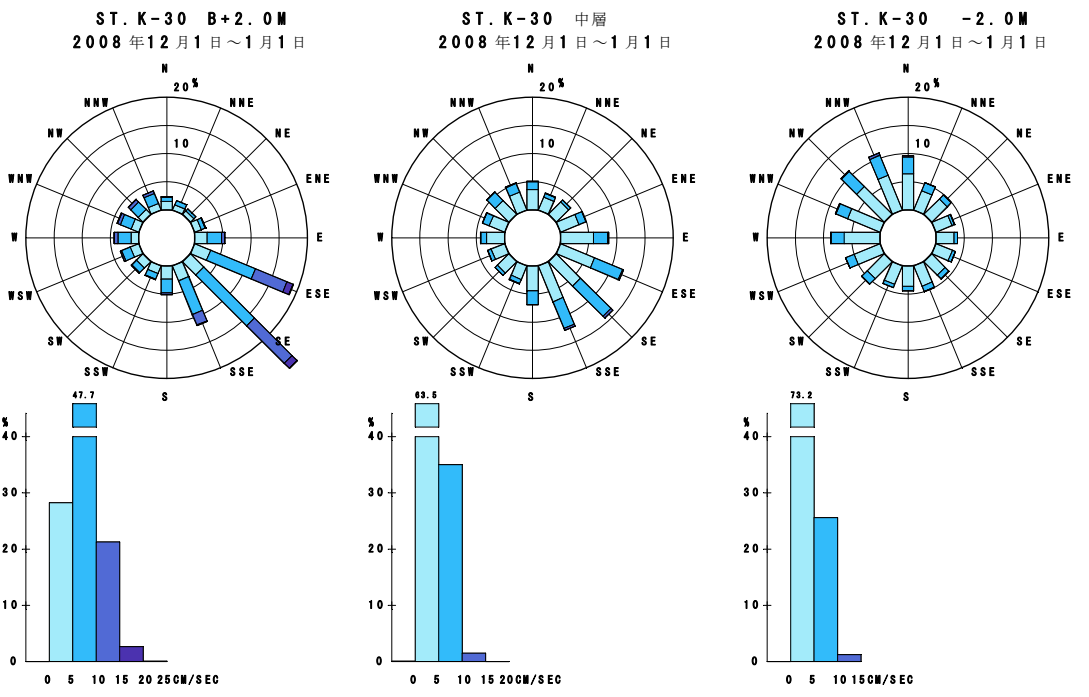
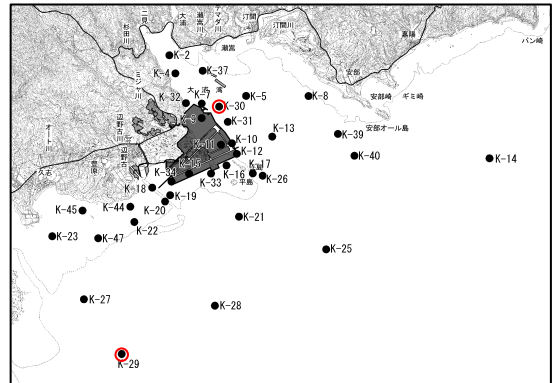


図-6. 6. 1. 20(8) 超音波流速計による調査結果に基づく冬季の流況頻度図

注) 調査期間：平成20年12月1日～平成21年1月1日



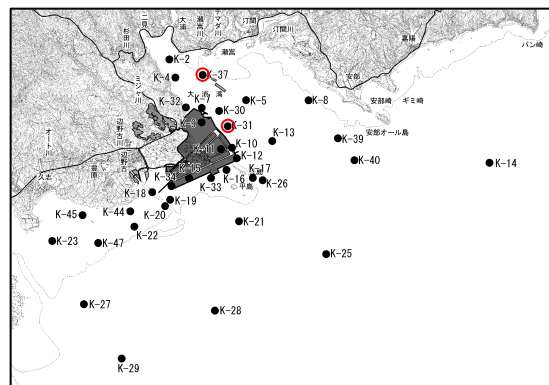
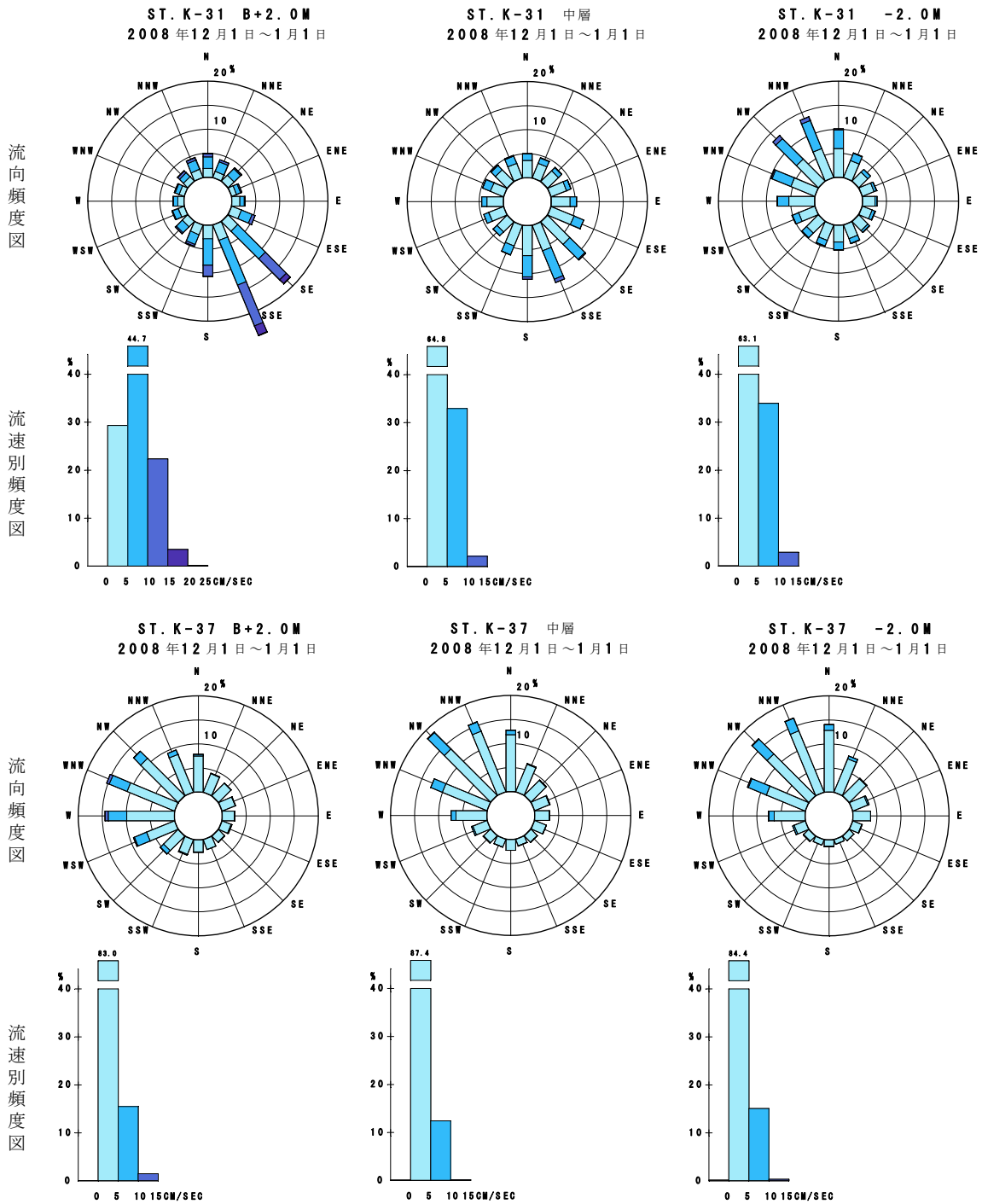


図-6. 6. 1. 20(9) 超音波流速計による調査結果に基づく冬季の流況頻度図

注) 調査期間：平成 20 年 12 月 1 日～平成 21 年 1 月 1 日

流向頻度図

流速別頻度図

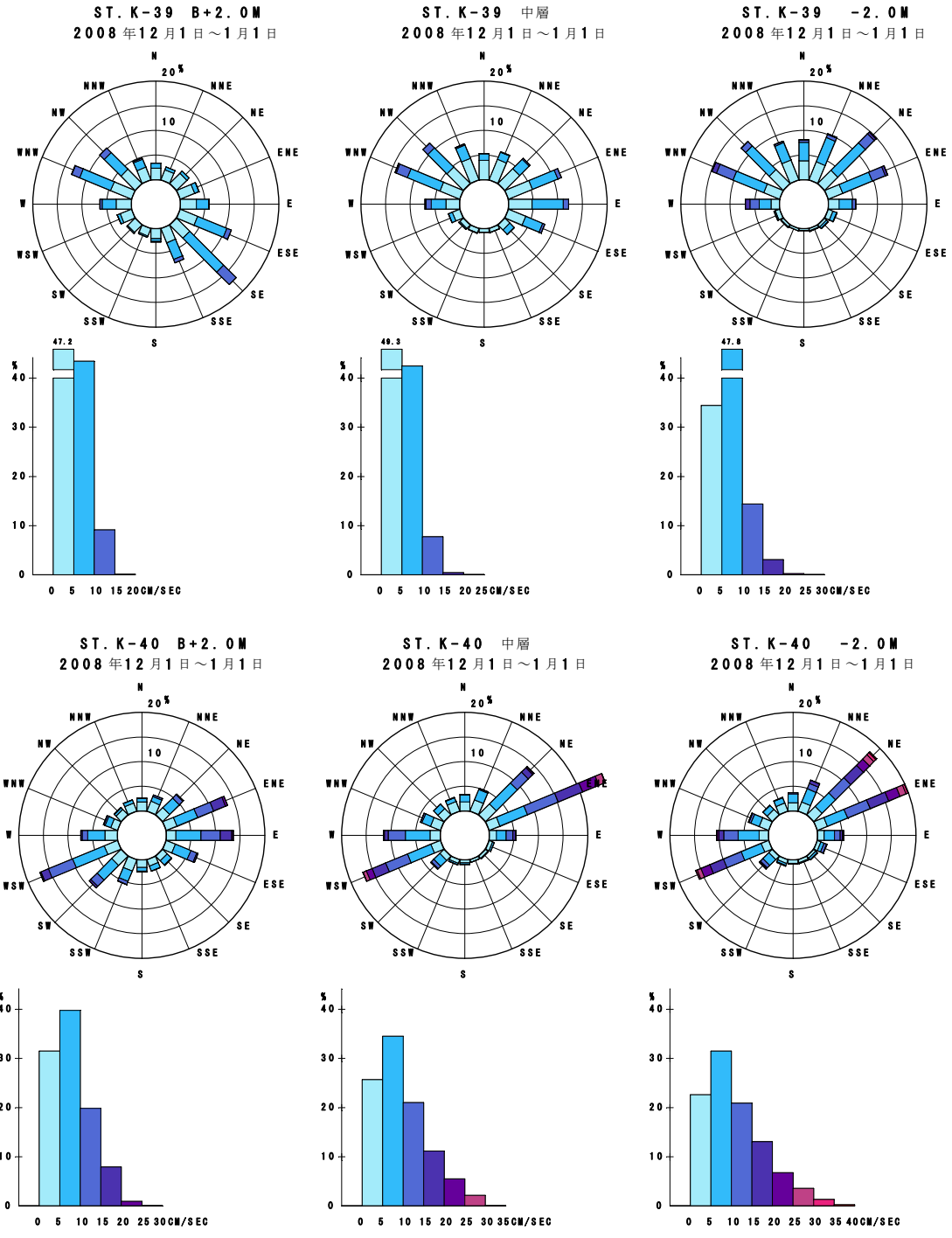
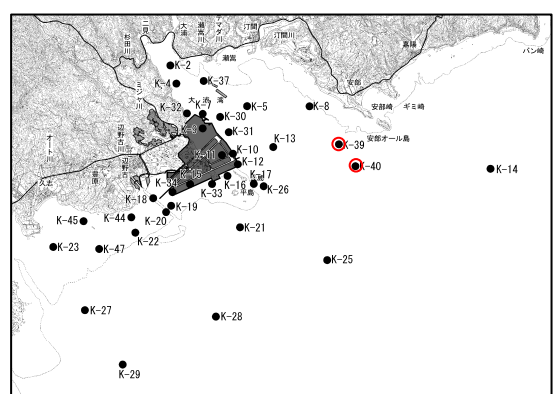


図-6. 6. 1. 20(10) 超音波流速計による調査結果に基づく冬季の流況頻度図

注) 調査期間：平成 20 年 12 月 1 日～平成 21 年 1 月 1 日



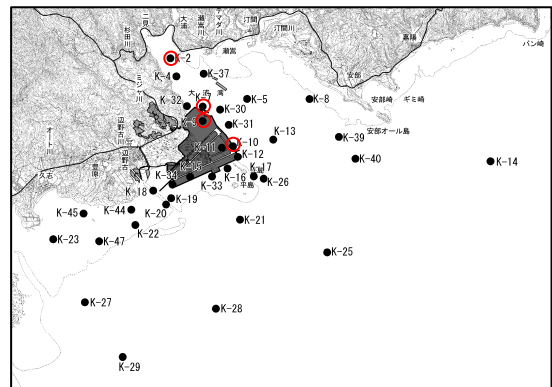
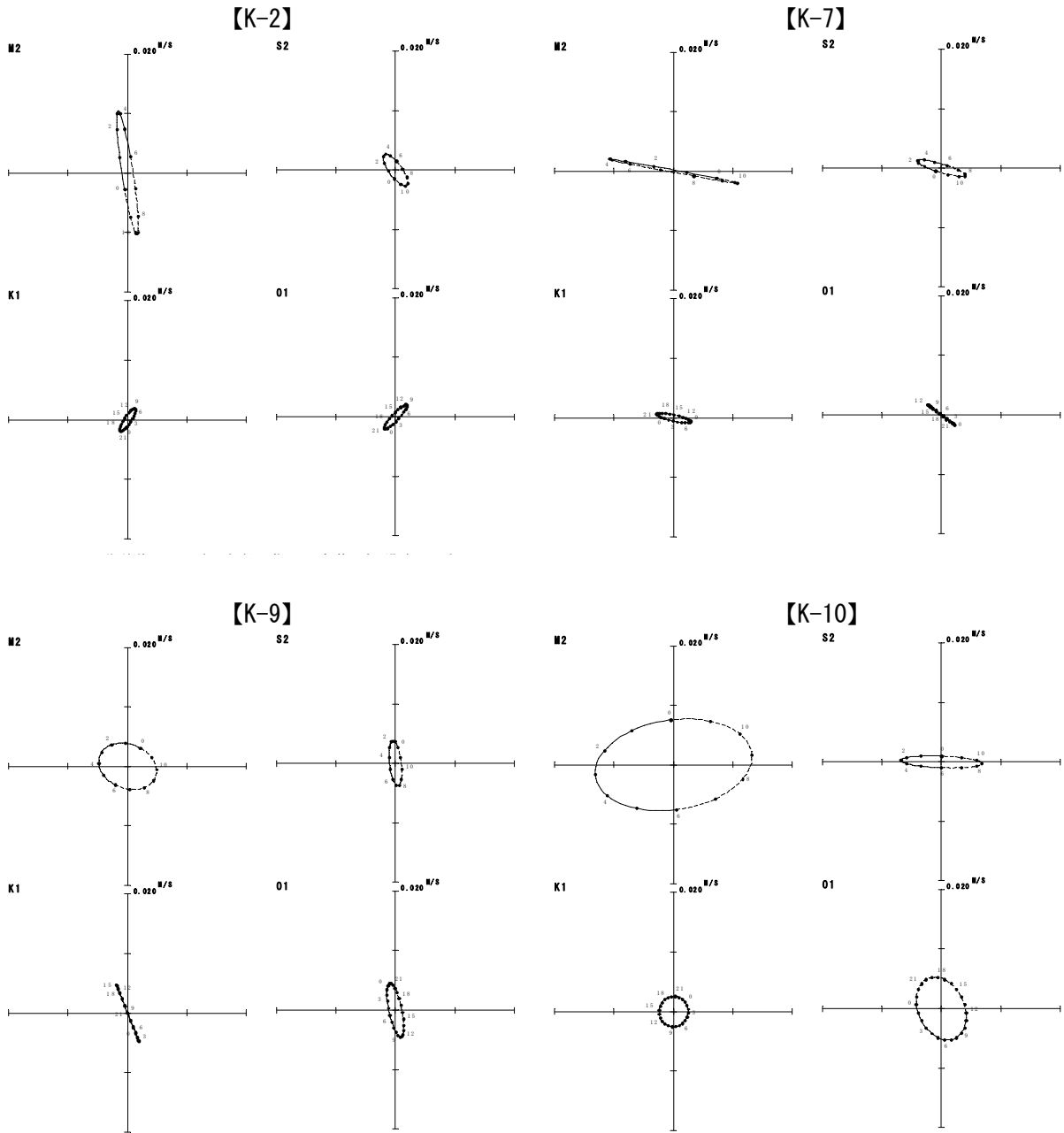


図-6. 6. 1. 21 (1) 電磁流速計による調査結果に基づく春季の潮流楕円

注) 調査期間：平成 20 年 4 月 21 日～5 月 21 日

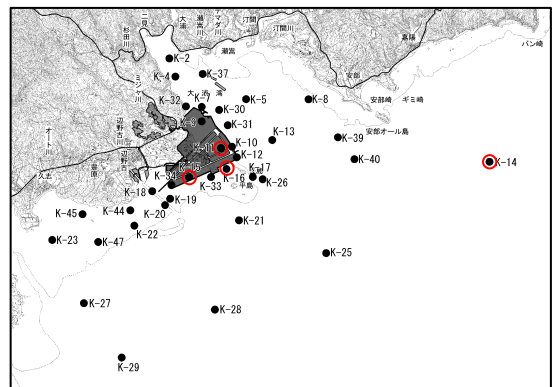
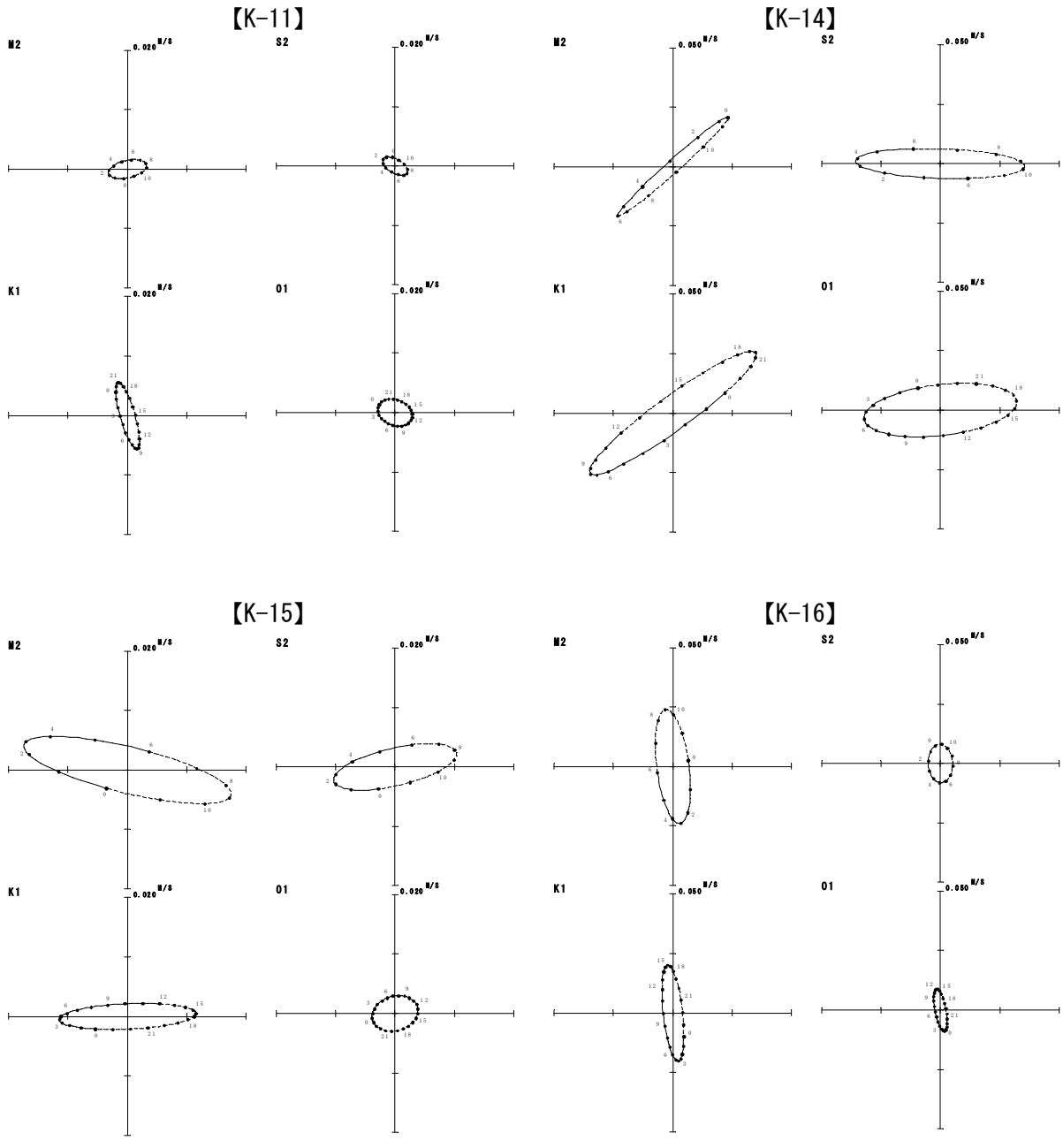


図-6. 6. 1. 21 (2) 電磁流速計による調査結果に基づく春季の潮流楕円

注) 調査期間：平成 20 年 4 月 21 日～5 月 21 日

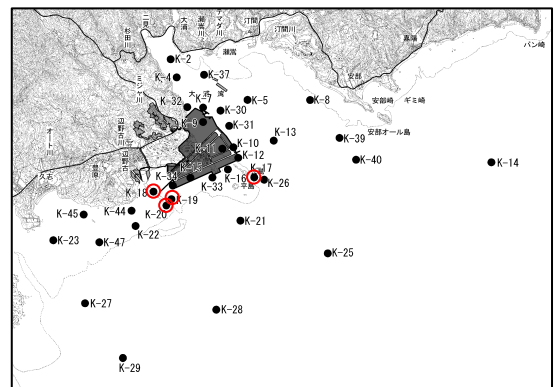
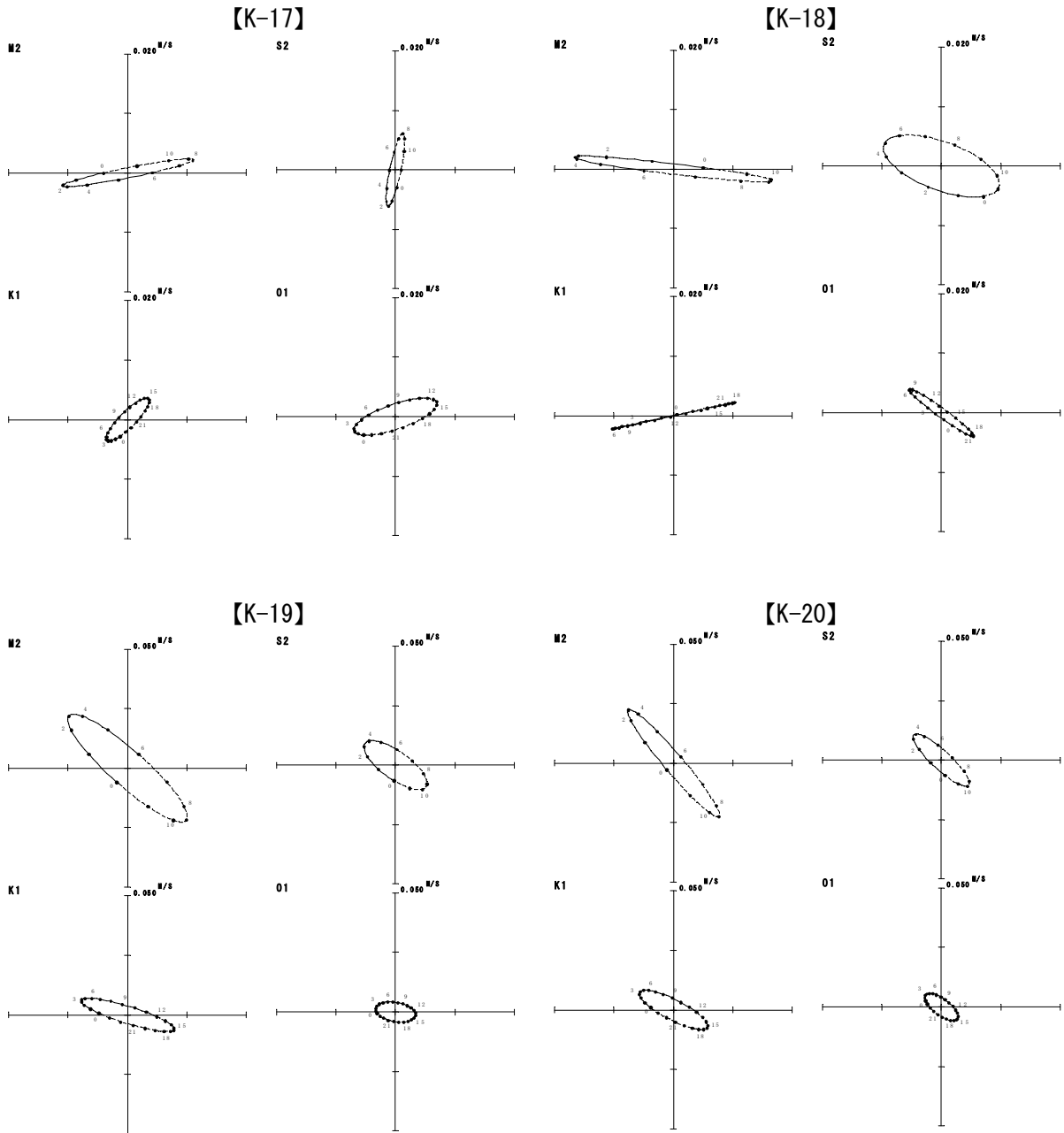


図-6. 6. 1. 21(3) 電磁流速計による調査結果に基づく春季の潮流楕円

注) 調査期間：平成 20 年 4 月 21 日～5 月 21 日

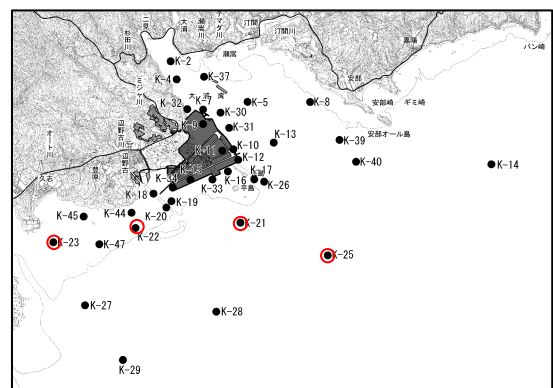
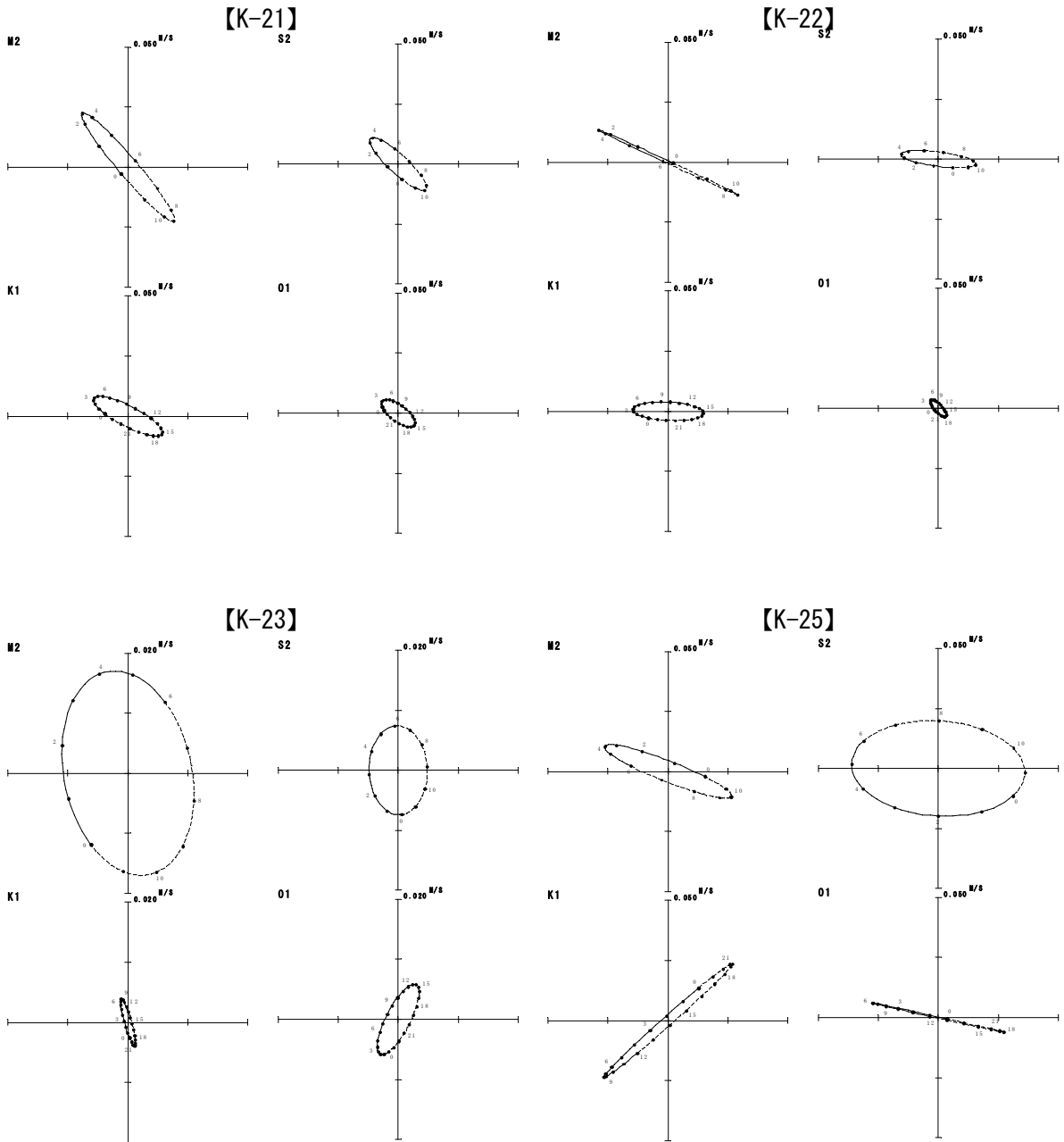


図-6. 6. 1. 21(4) 電磁流速計による調査結果に基づく春季の潮流楕円

注) 調査期間：平成 20 年 4 月 21 日～5 月 21 日

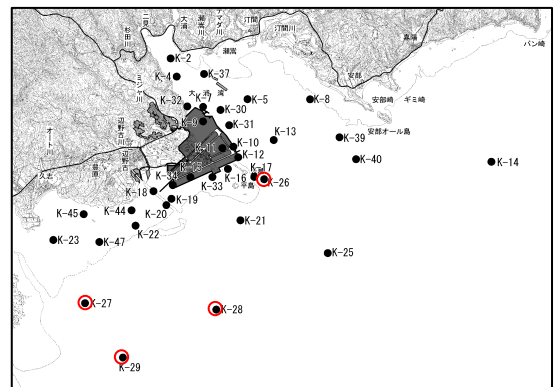
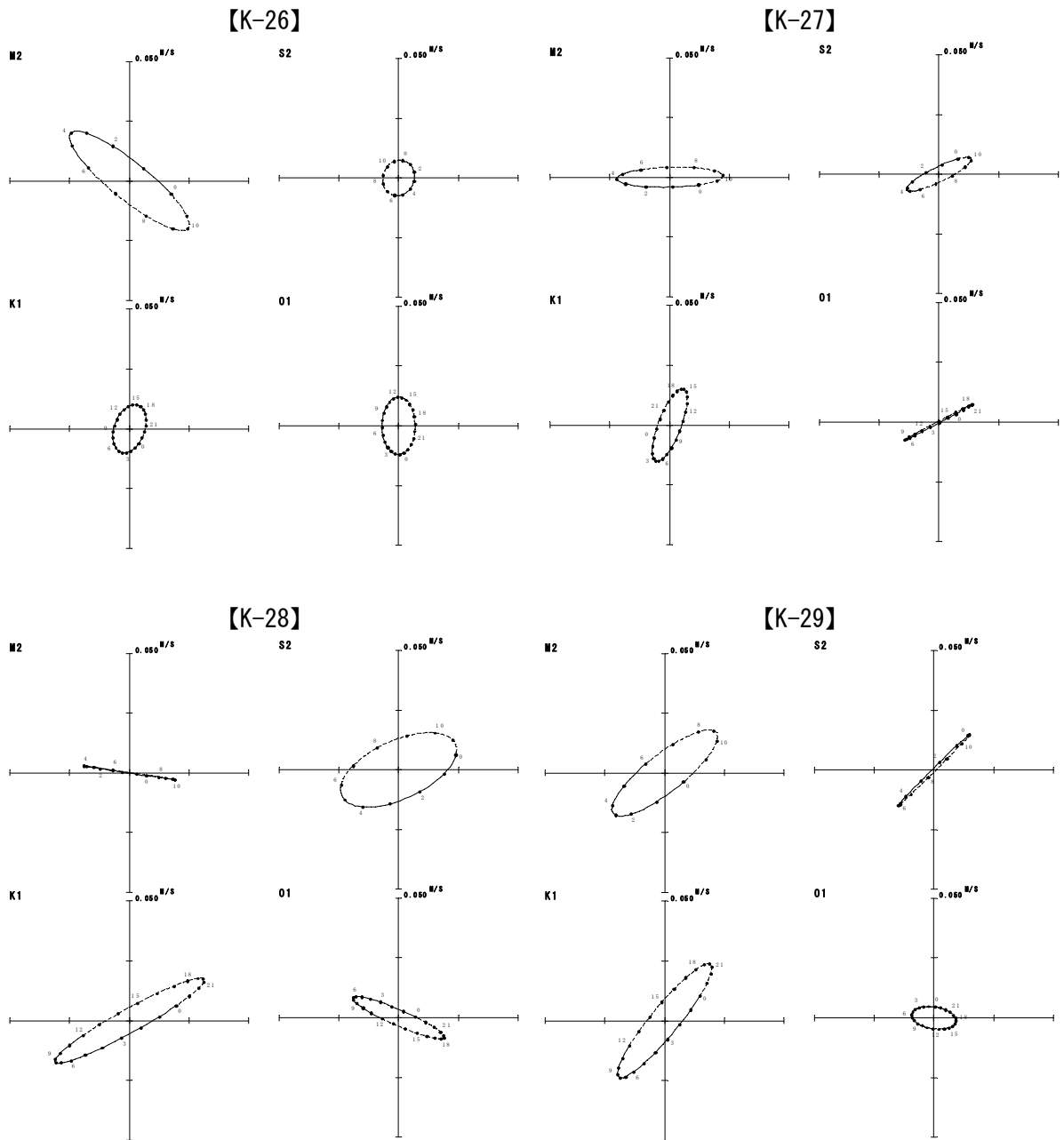


図-6. 6. 1. 21(5) 電磁流速計による調査結果に基づく春季の潮流楕円

注) 調査期間：平成 20 年 4 月 21 日～5 月 21 日

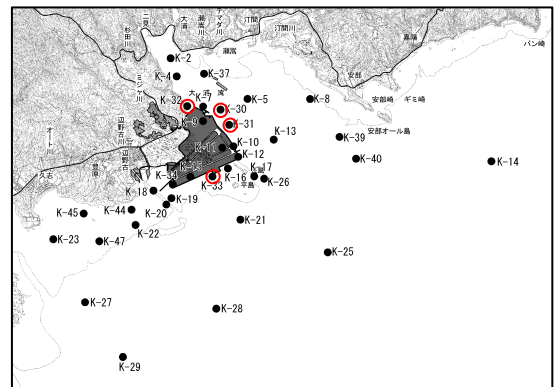
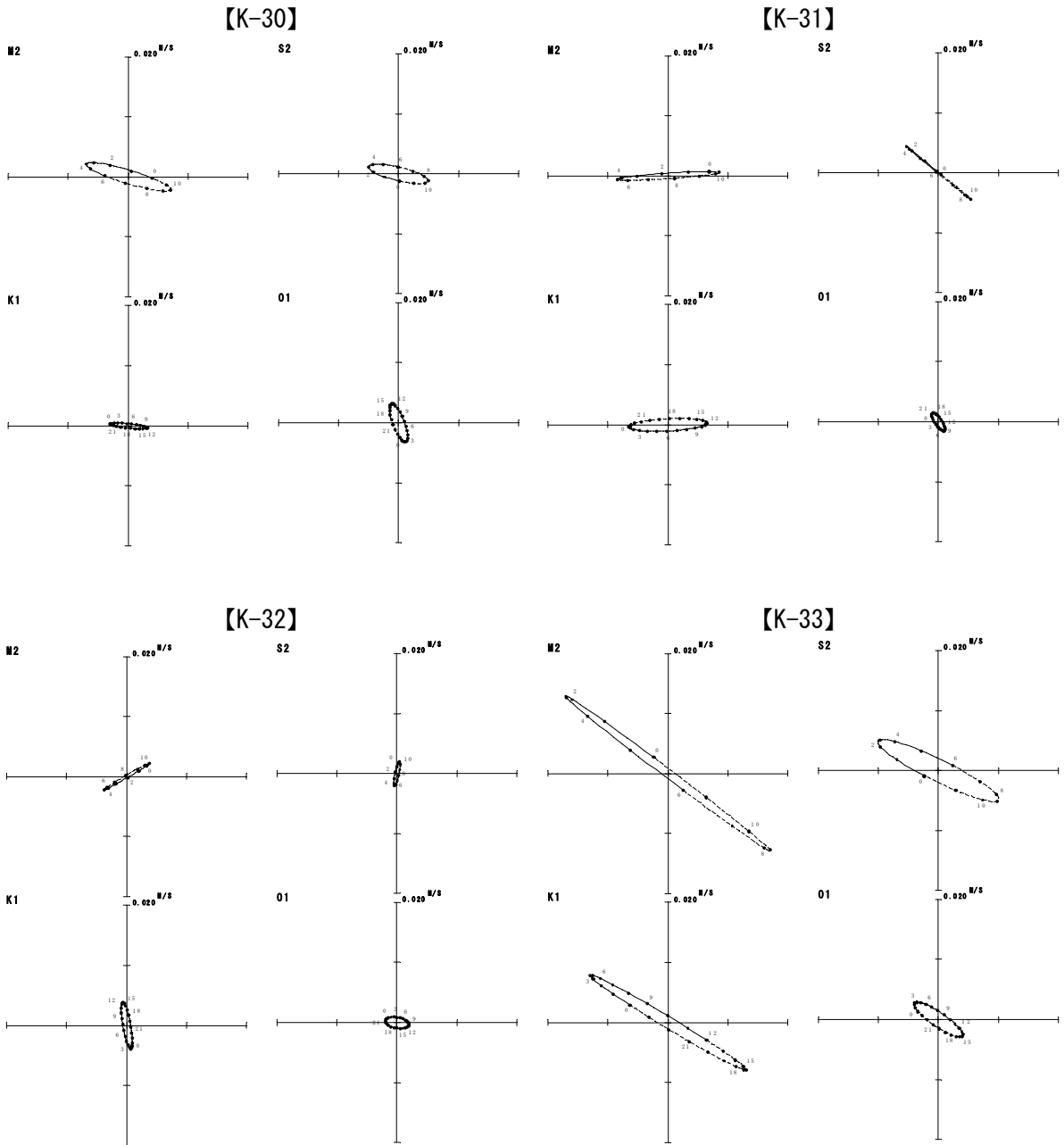


図-6. 6. 1. 21(6) 電磁流速計による調査結果に基づく春季の潮流楕円

注) 調査期間：平成 20 年 4 月 21 日～5 月 21 日

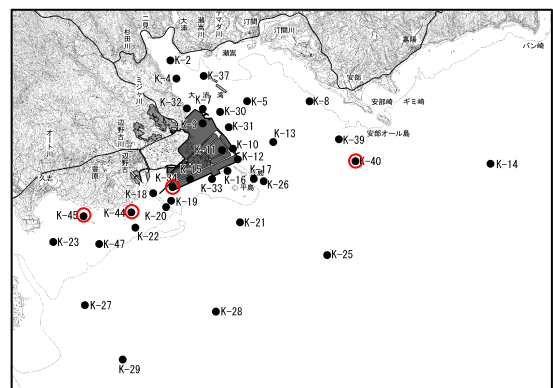
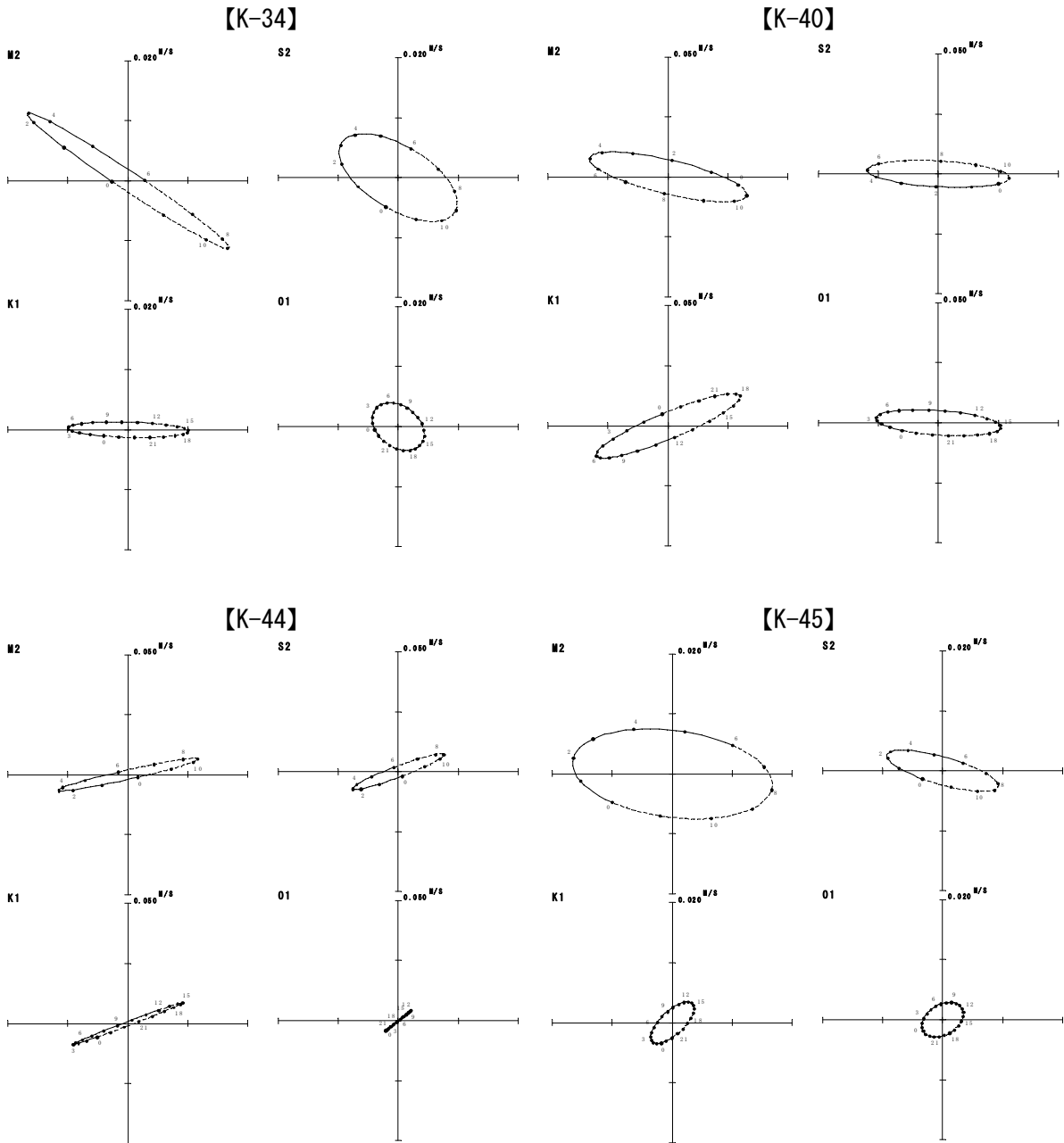


図-6. 6. 1. 21(7) 電磁流速計による調査結果に基づく春季の潮流楕円

注) 調査期間：平成 20 年 4 月 21 日～5 月 21 日

【K-47】

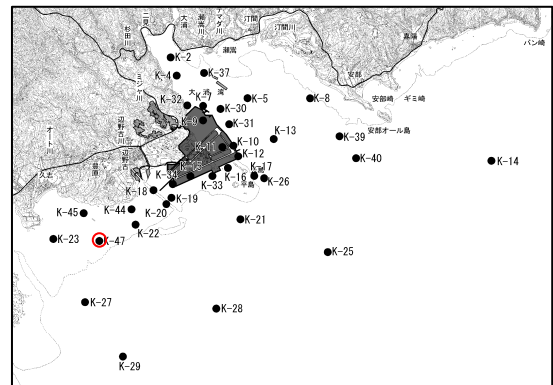
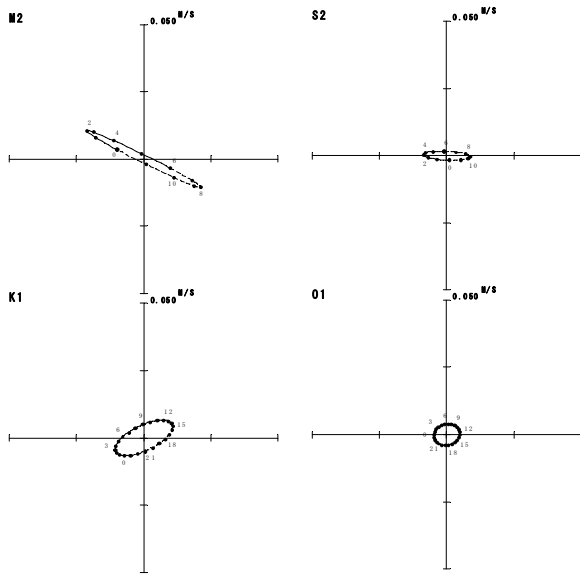


図-6. 6. 1. 21(8) 電磁流速計による調査結果に基づく春季の潮流楕円

注) 調査期間：平成 20 年 4 月 21 日～5 月 21 日

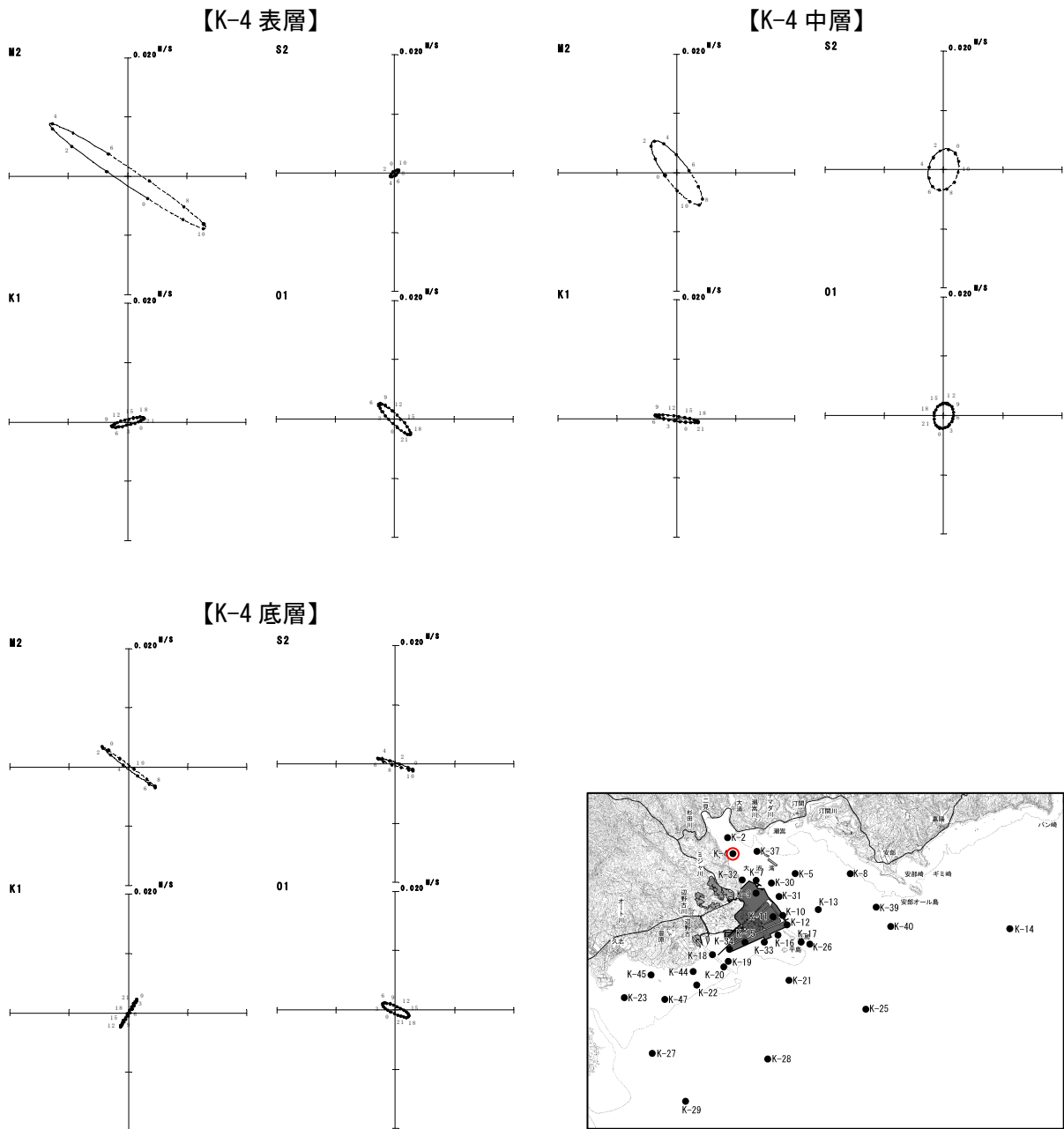


図-6.6.1.22(1) 超音波流速計による調査結果に基づく春季の潮流楕円

注) 調査期間：平成20年4月21日～5月21日

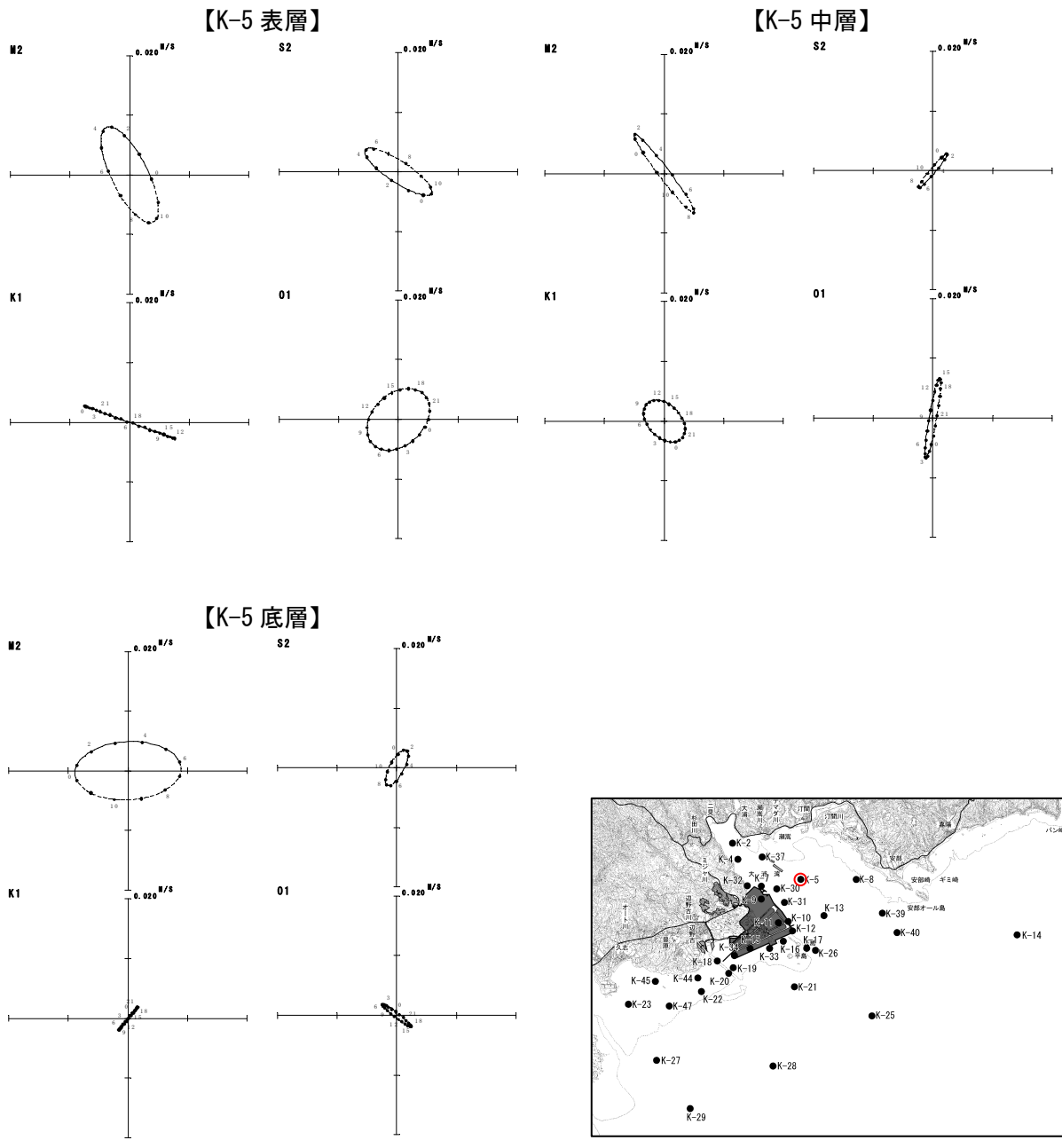


図-6.6.1.22(2) 超音波流速計による調査結果に基づく春季の潮流楕円

注) 調査期間：平成20年4月21日～5月21日

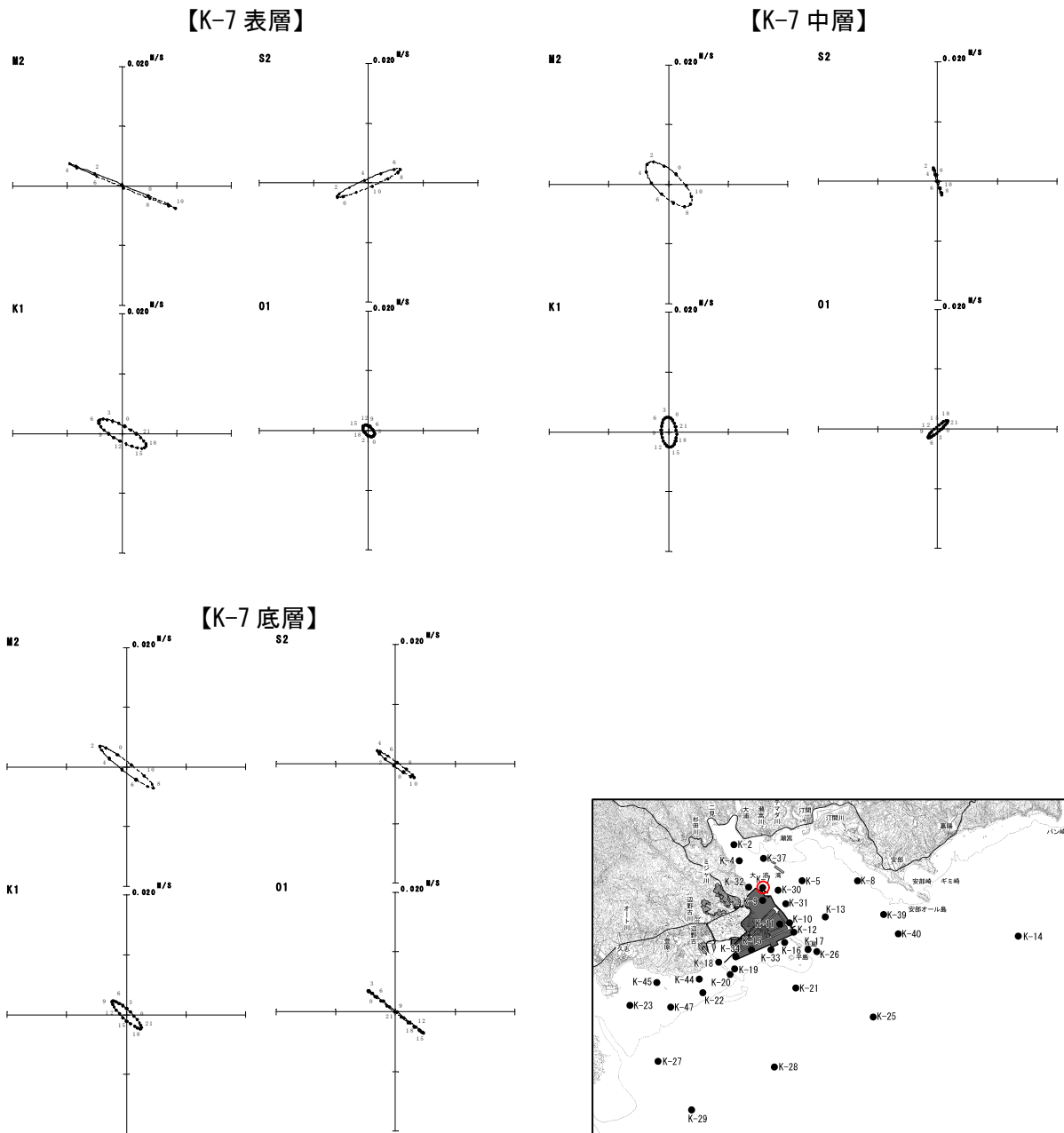


図-6.6.1.22(3) 超音波流速計による調査結果に基づく春季の潮流楕円

注) 調査期間：平成20年4月21日～5月21日

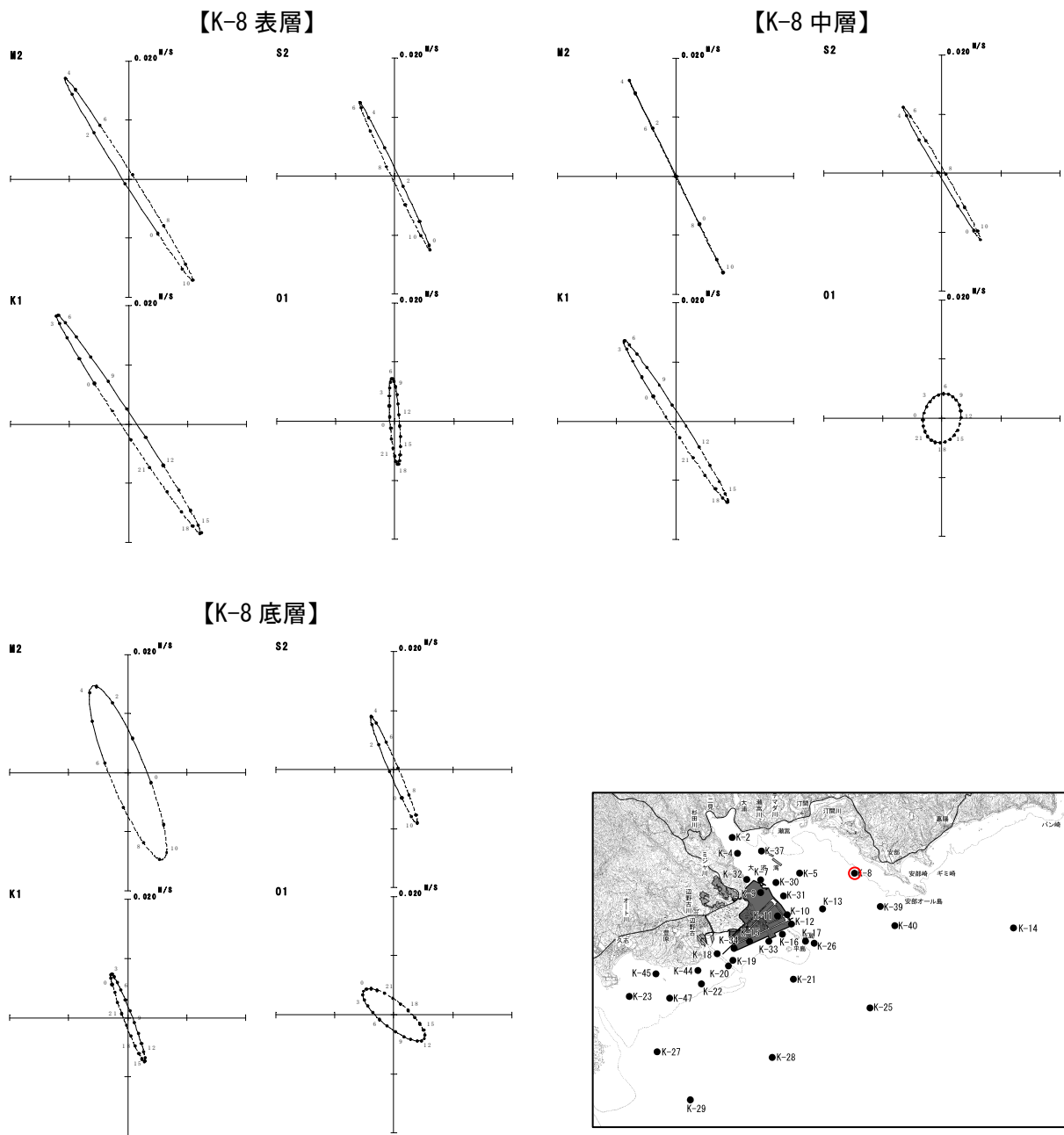


図-6.6.1.22(4) 超音波流速計による調査結果に基づく春季の潮流楕円

注) 調査期間：平成20年4月21日～5月21日

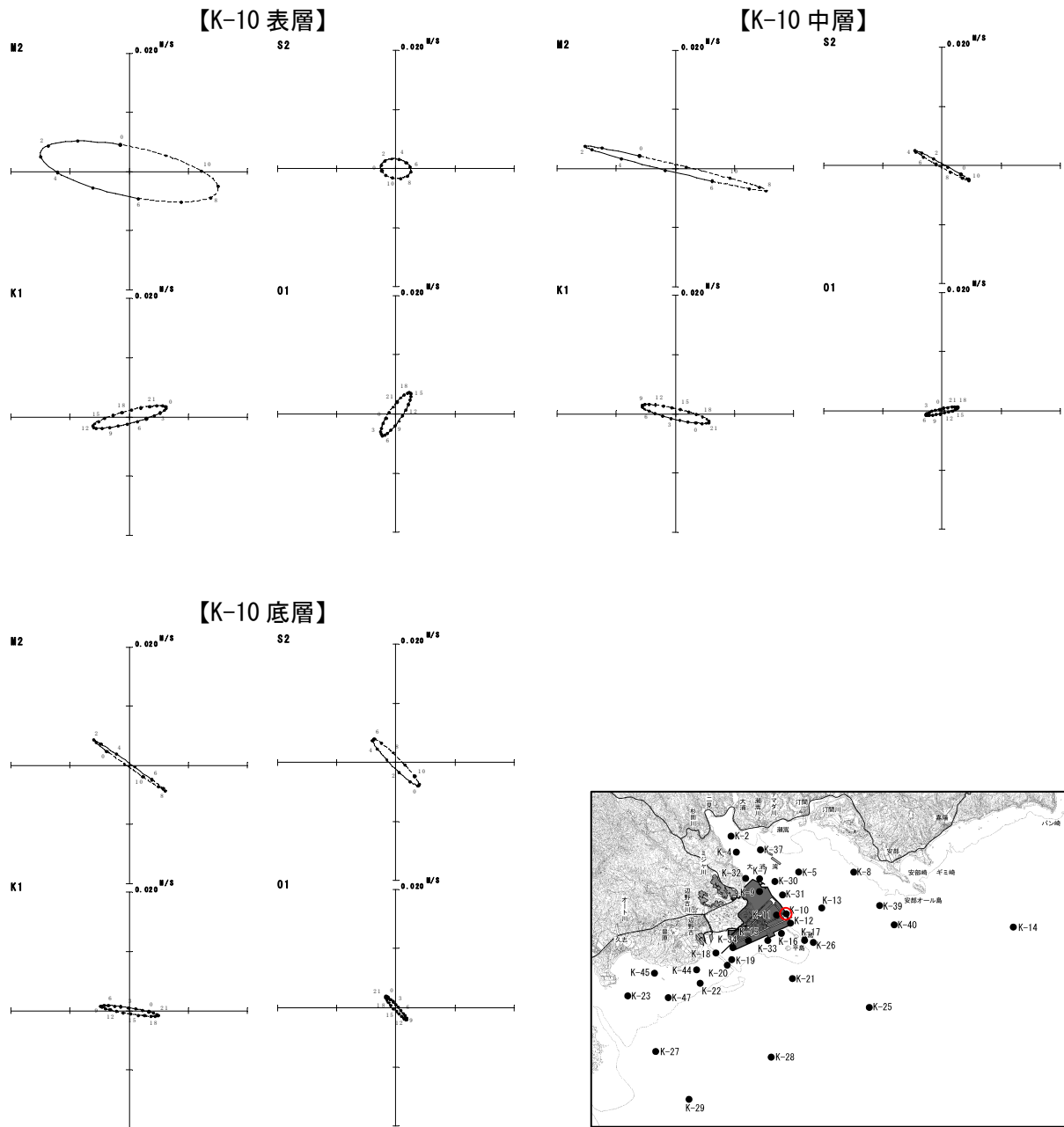


図-6.6.1.22(5) 超音波流速計による調査結果に基づく春季の潮流楕円

注) 調査期間：平成20年4月21日～5月21日

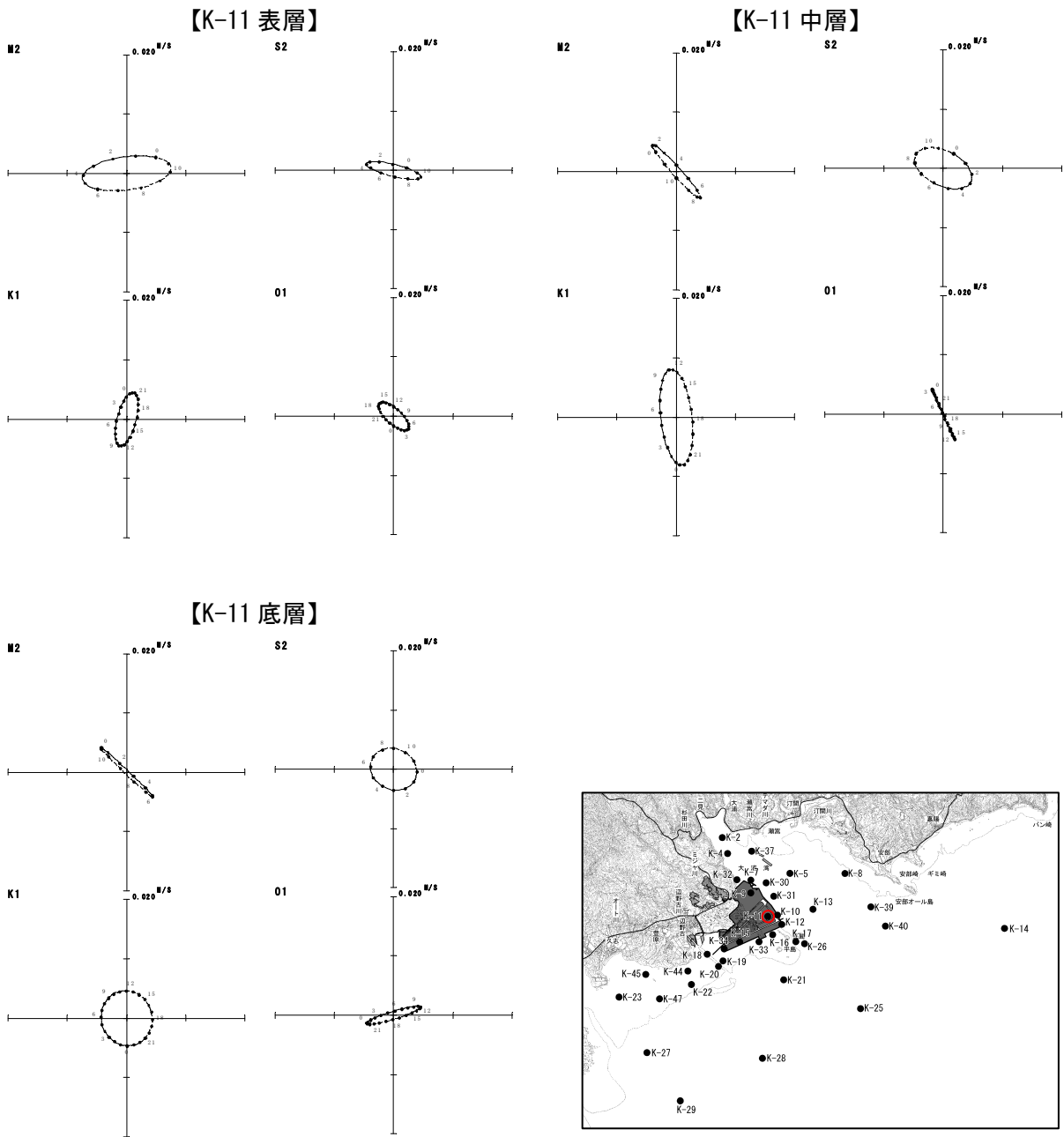


図-6.6.1.22(6) 超音波流速計による調査結果に基づく春季の潮流楕円

注) 調査期間：平成20年4月21日～5月21日

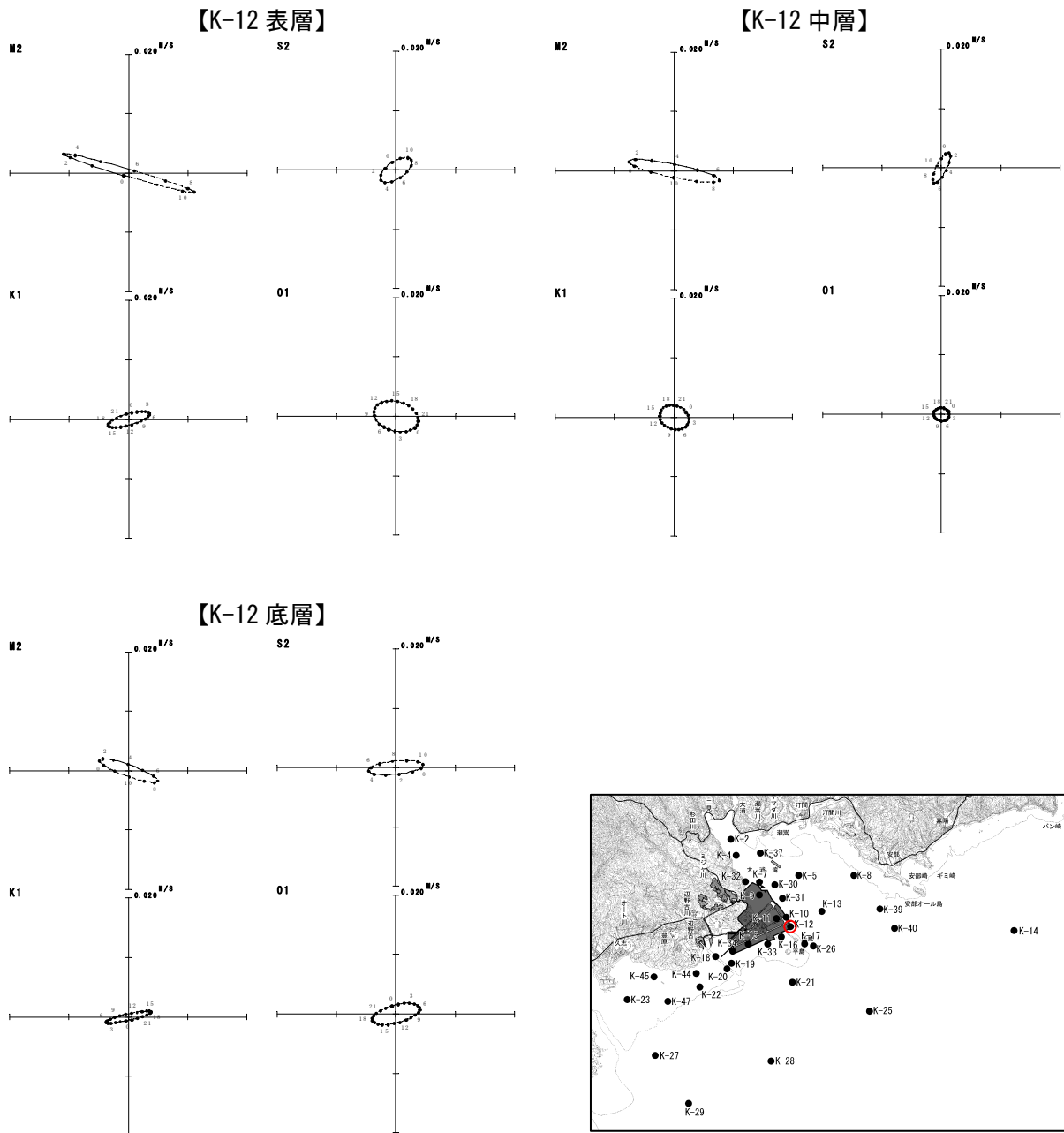


図-6.6.1.22(7) 超音波流速計による調査結果に基づく春季の潮流楕円

注) 調査期間：平成20年4月21日～5月21日

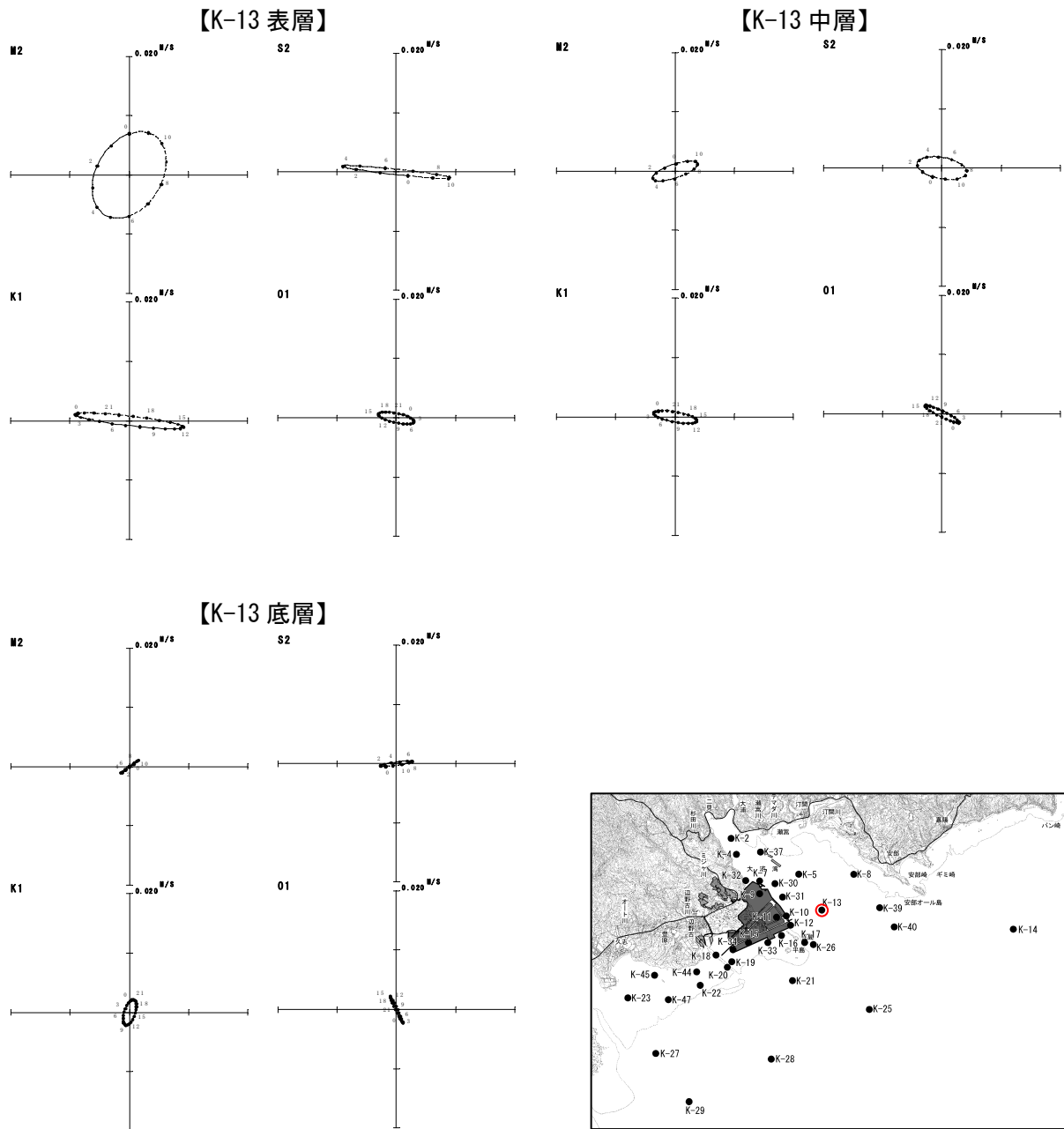


図-6.6.1.22(8) 超音波流速計による調査結果に基づく春季の潮流楕円

注) 調査期間：平成20年4月21日～5月21日

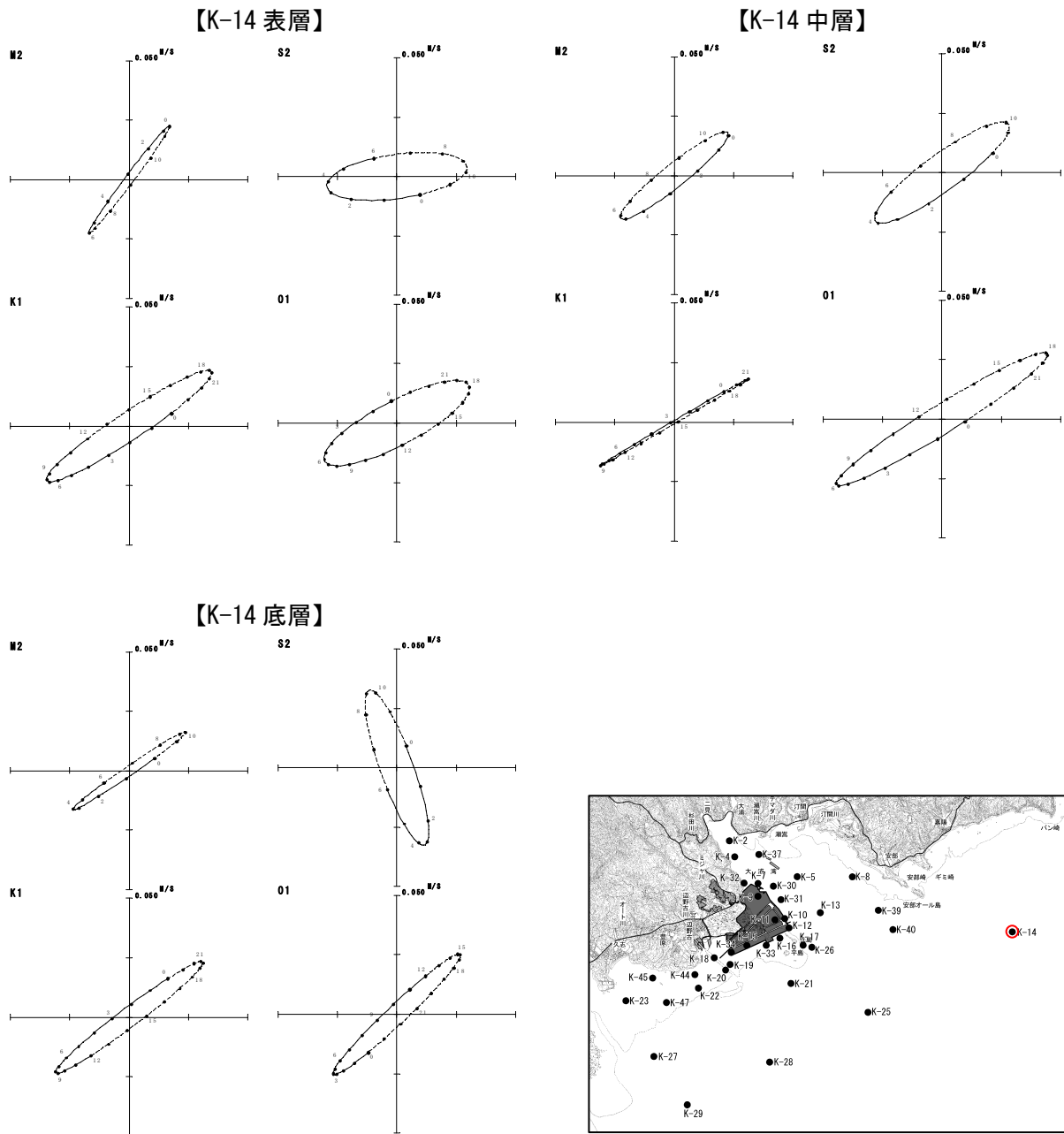


図-6.6.1.22(9) 超音波流速計による調査結果に基づく春季の潮流楕円

注) 調査期間：平成20年4月21日～5月21日

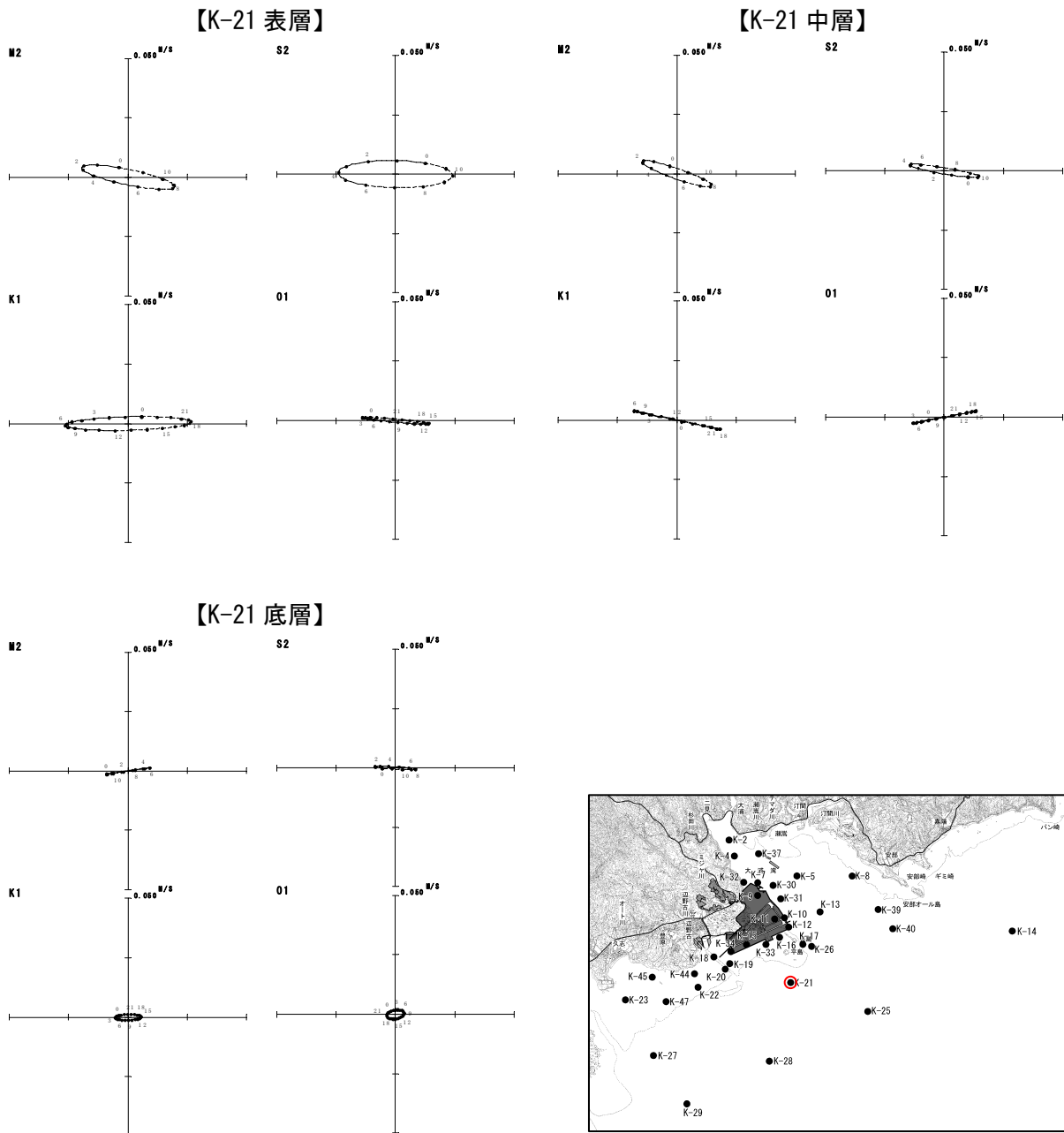


図-6. 6. 1. 22(10) 超音波流速計による調査結果に基づく春季の潮流楕円

注) 調査期間：平成 20 年 4 月 21 日～5 月 21 日

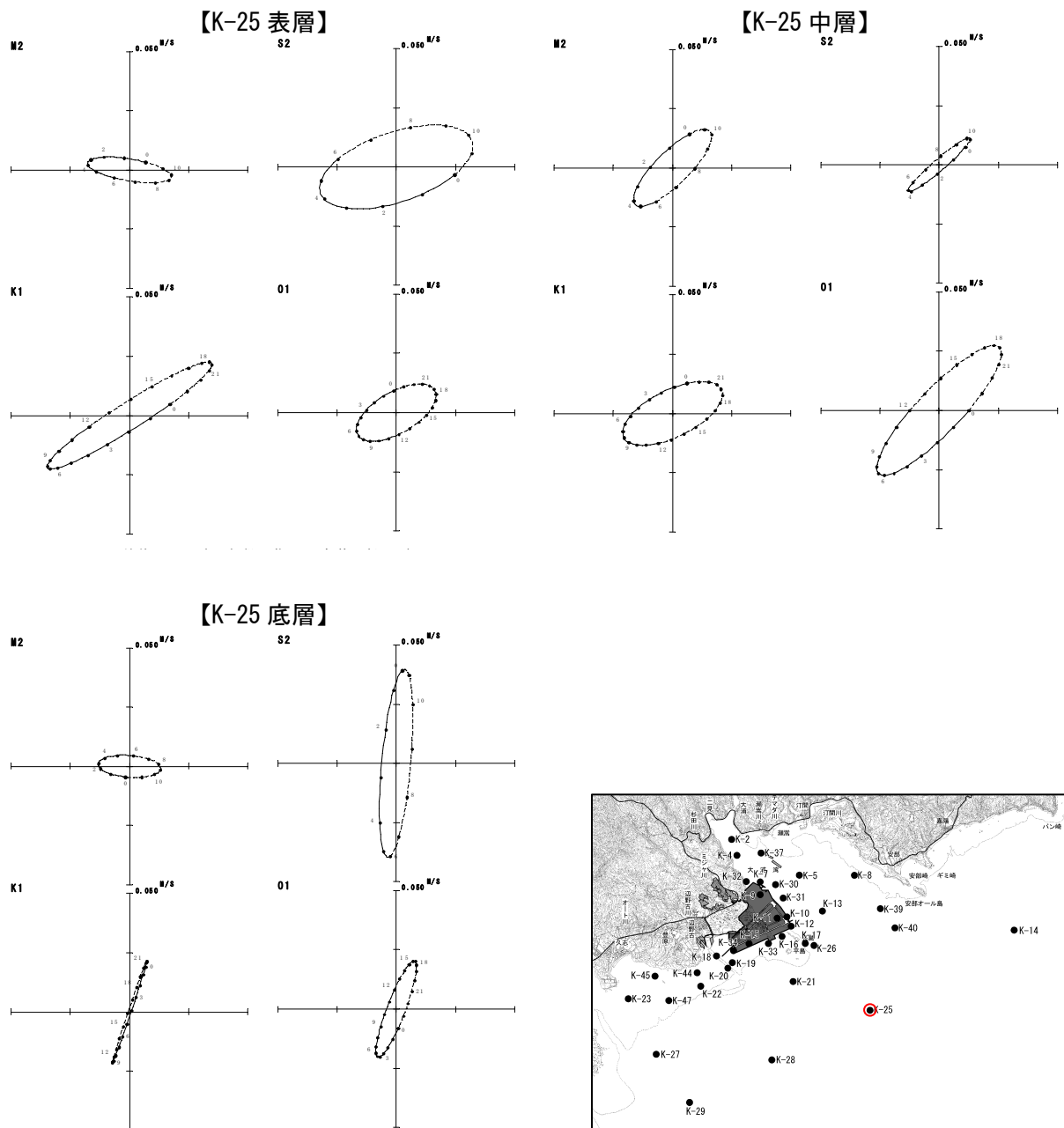


図-6. 6. 1. 22(11) 超音波流速計による調査結果に基づく春季の潮流楕円

注) 調査期間：平成 20 年 4 月 21 日～5 月 21 日

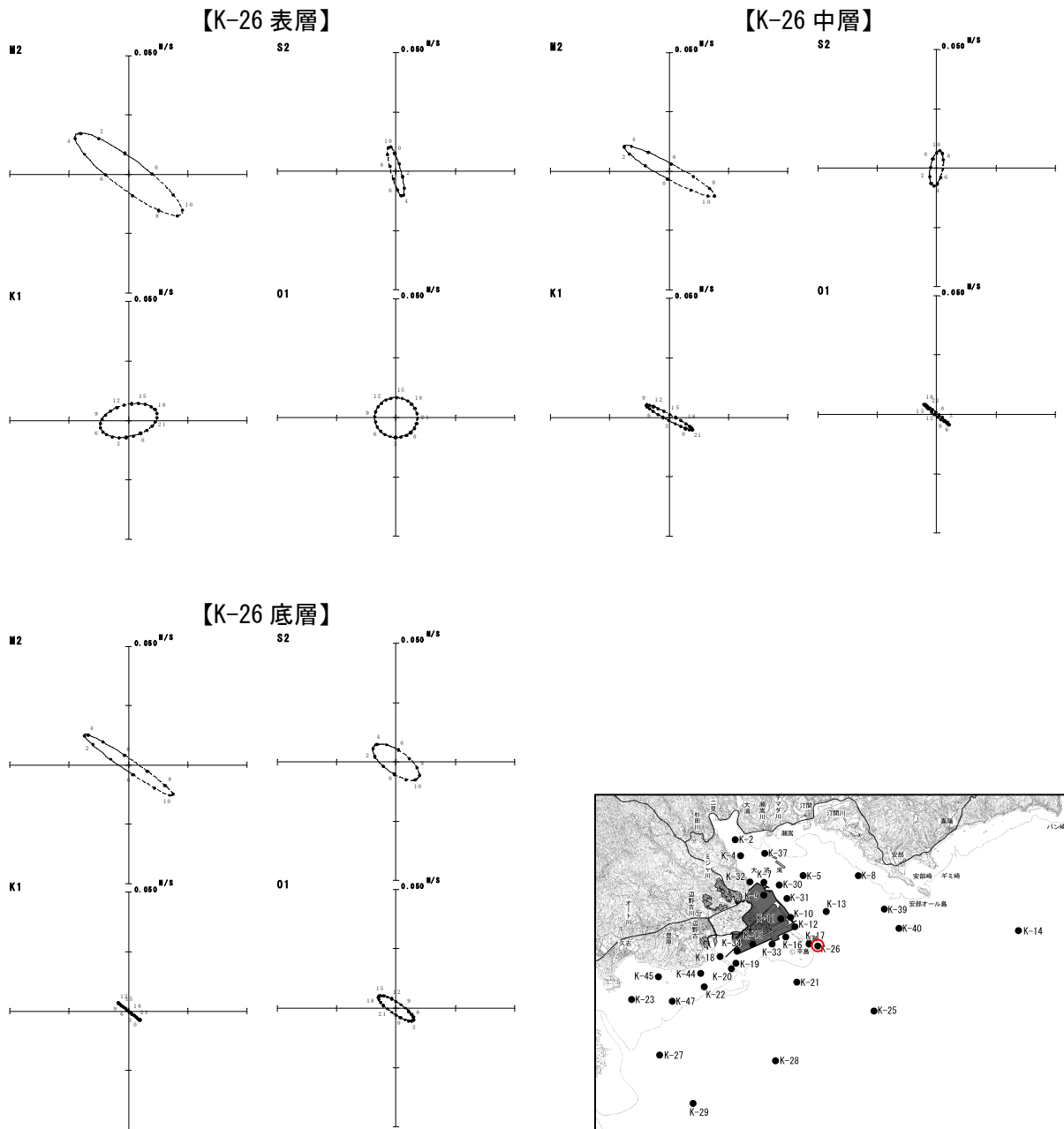


図-6. 6. 1. 22(12) 超音波流速計による調査結果に基づく春季の潮流楕円

注) 調査期間：平成 20 年 4 月 21 日～5 月 21 日

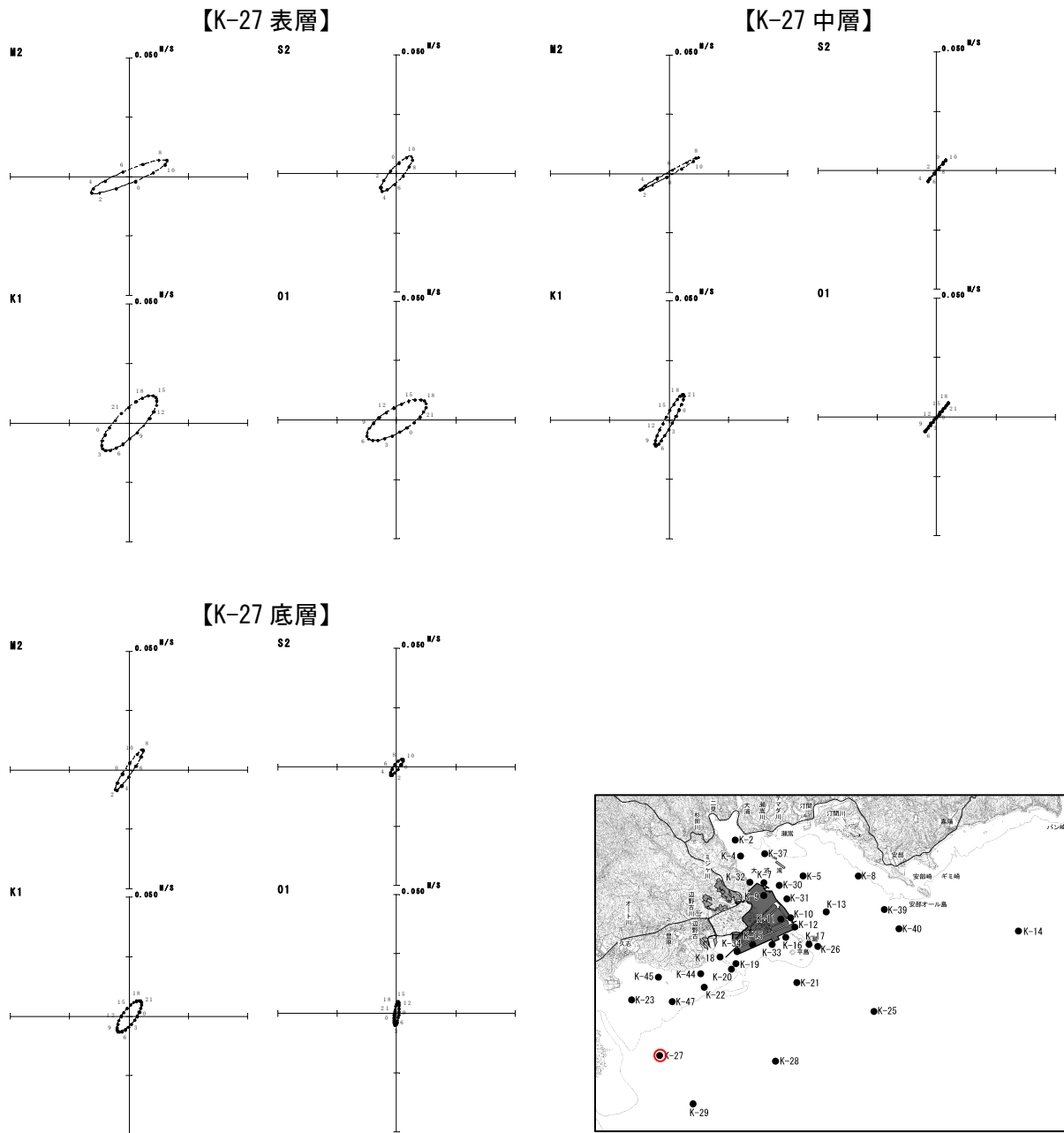


図-6. 6. 1. 22(13) 超音波流速計による調査結果に基づく春季の潮流楕円

注) 調査期間：平成 20 年 4 月 21 日～5 月 21 日

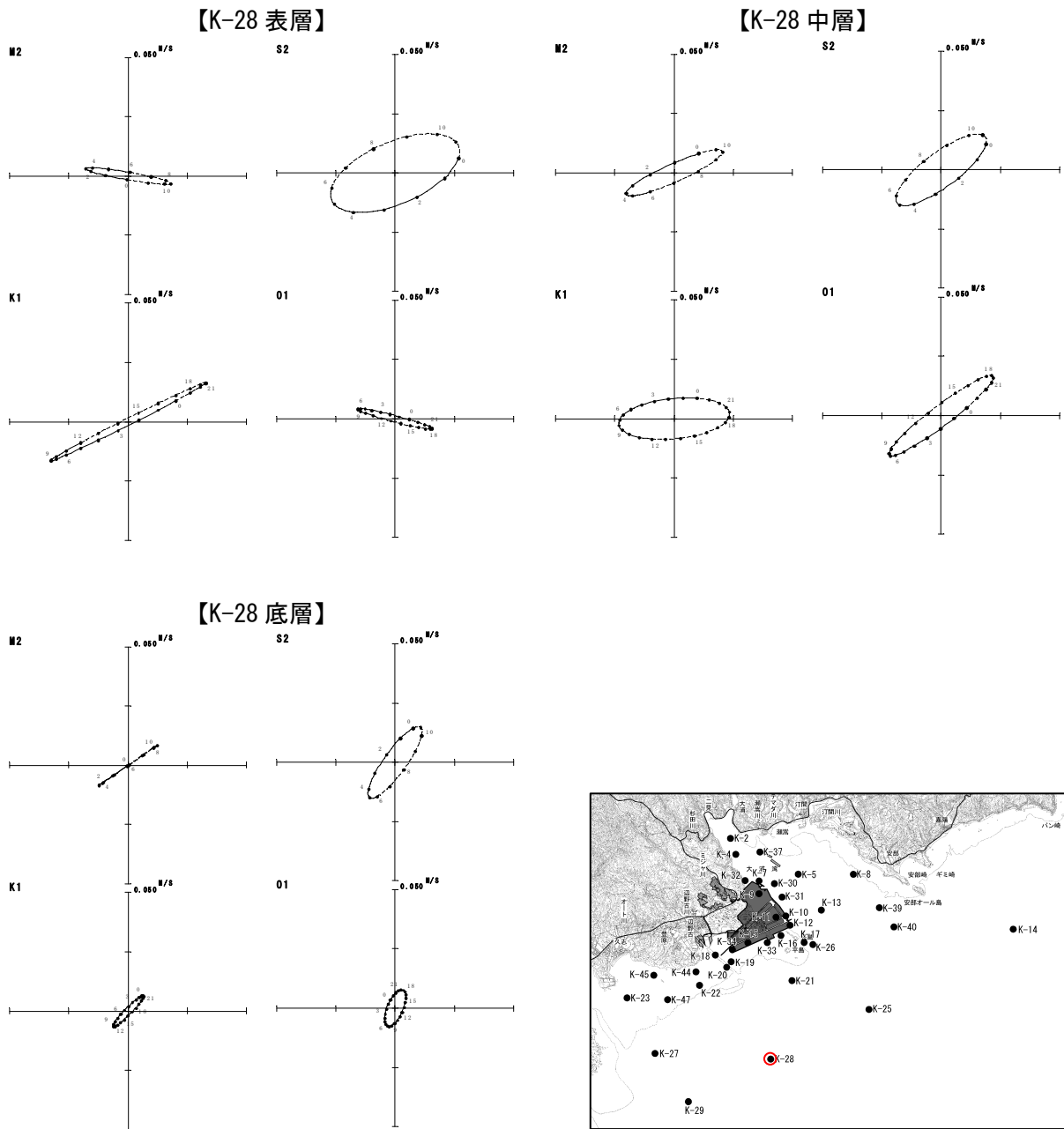


図-6. 6. 1. 22(14) 超音波流速計による調査結果に基づく春季の潮流楕円

注) 調査期間：平成 20 年 4 月 21 日～5 月 21 日

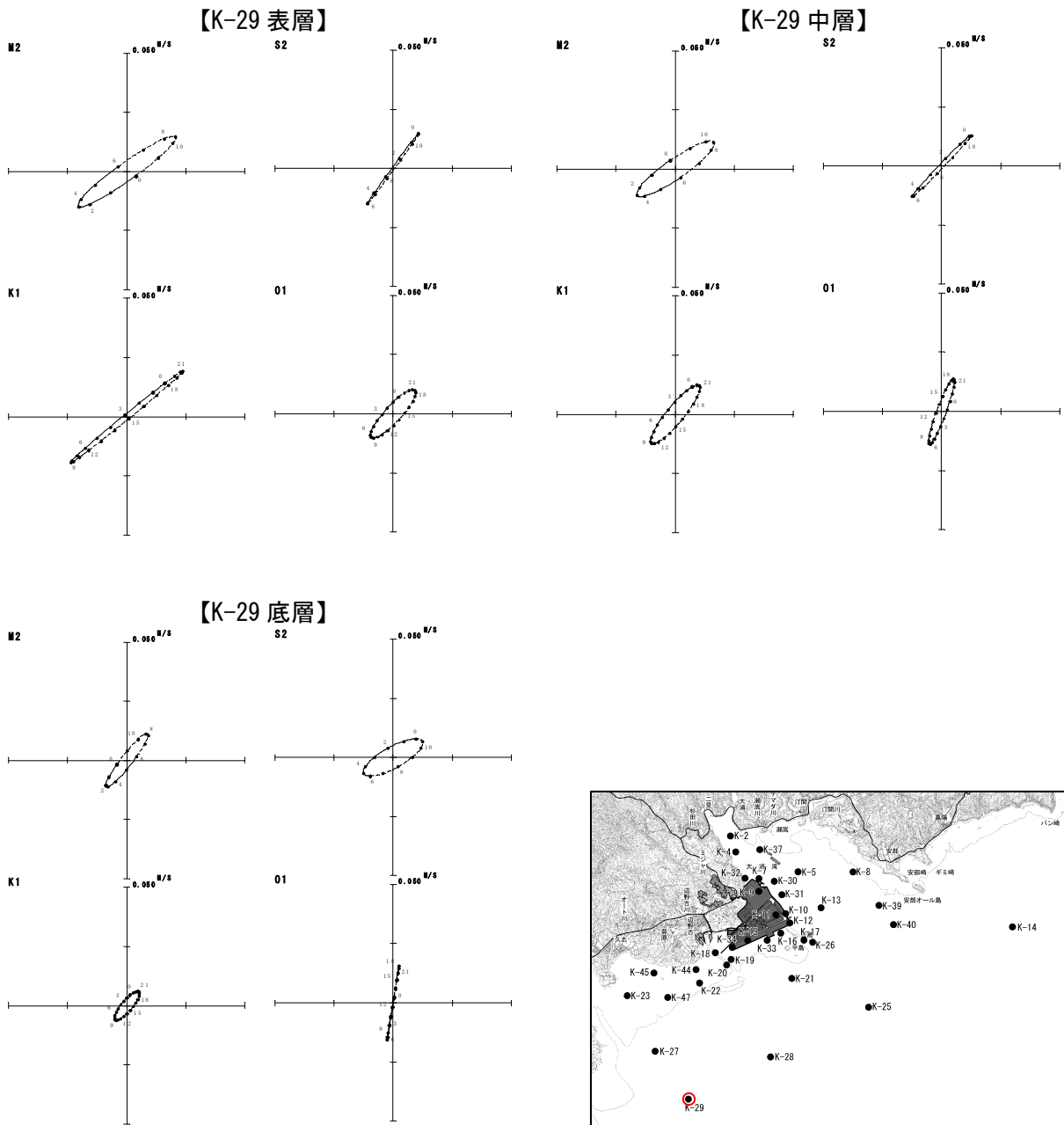


図-6.6.1.22(15) 超音波流速計による調査結果に基づく春季の潮流楕円

注) 調査期間：平成20年4月21日～5月21日

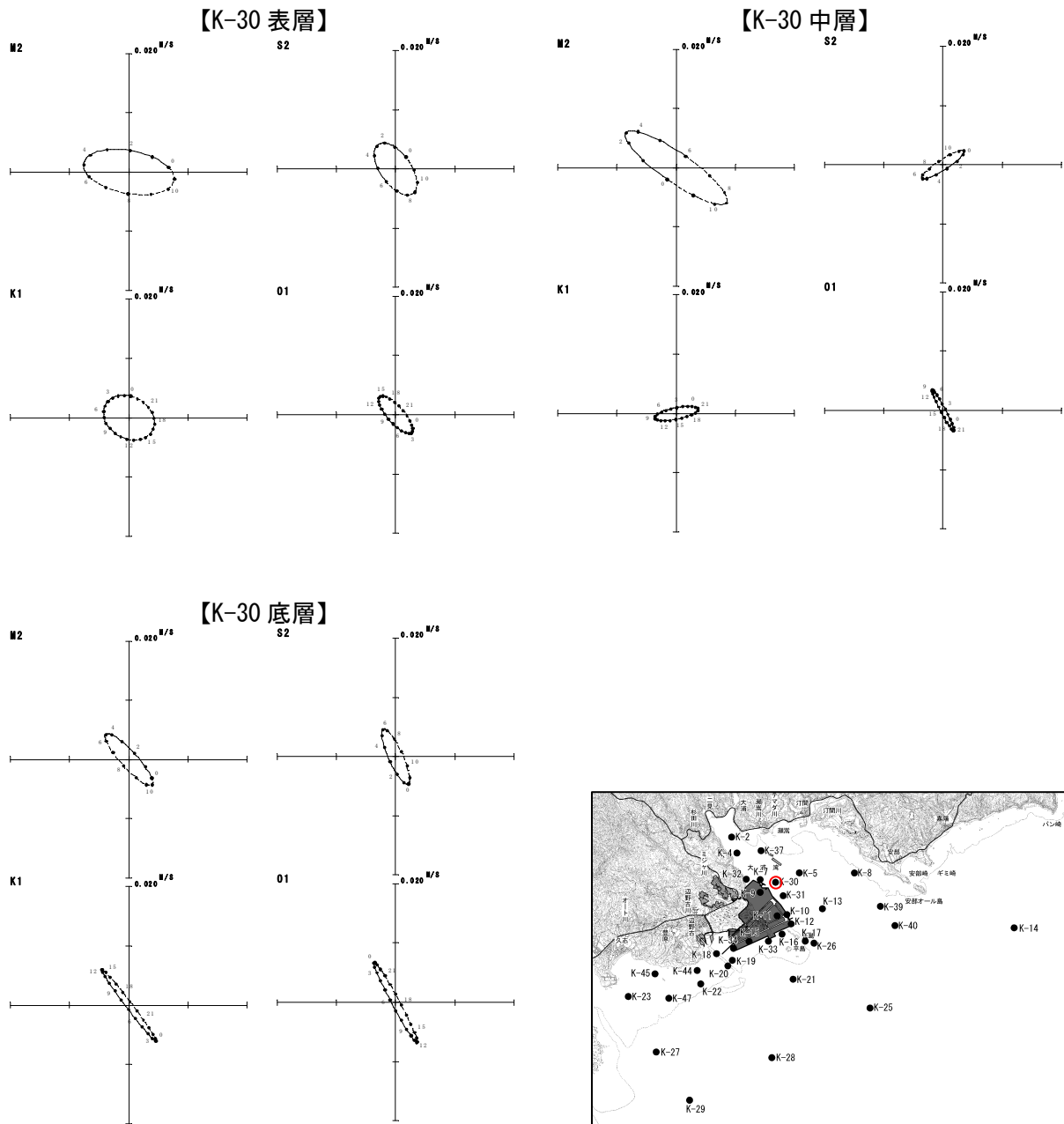


図-6. 6. 1. 22(16) 超音波流速計による調査結果に基づく春季の潮流楕円

注) 調査期間：平成 20 年 4 月 21 日～5 月 21 日

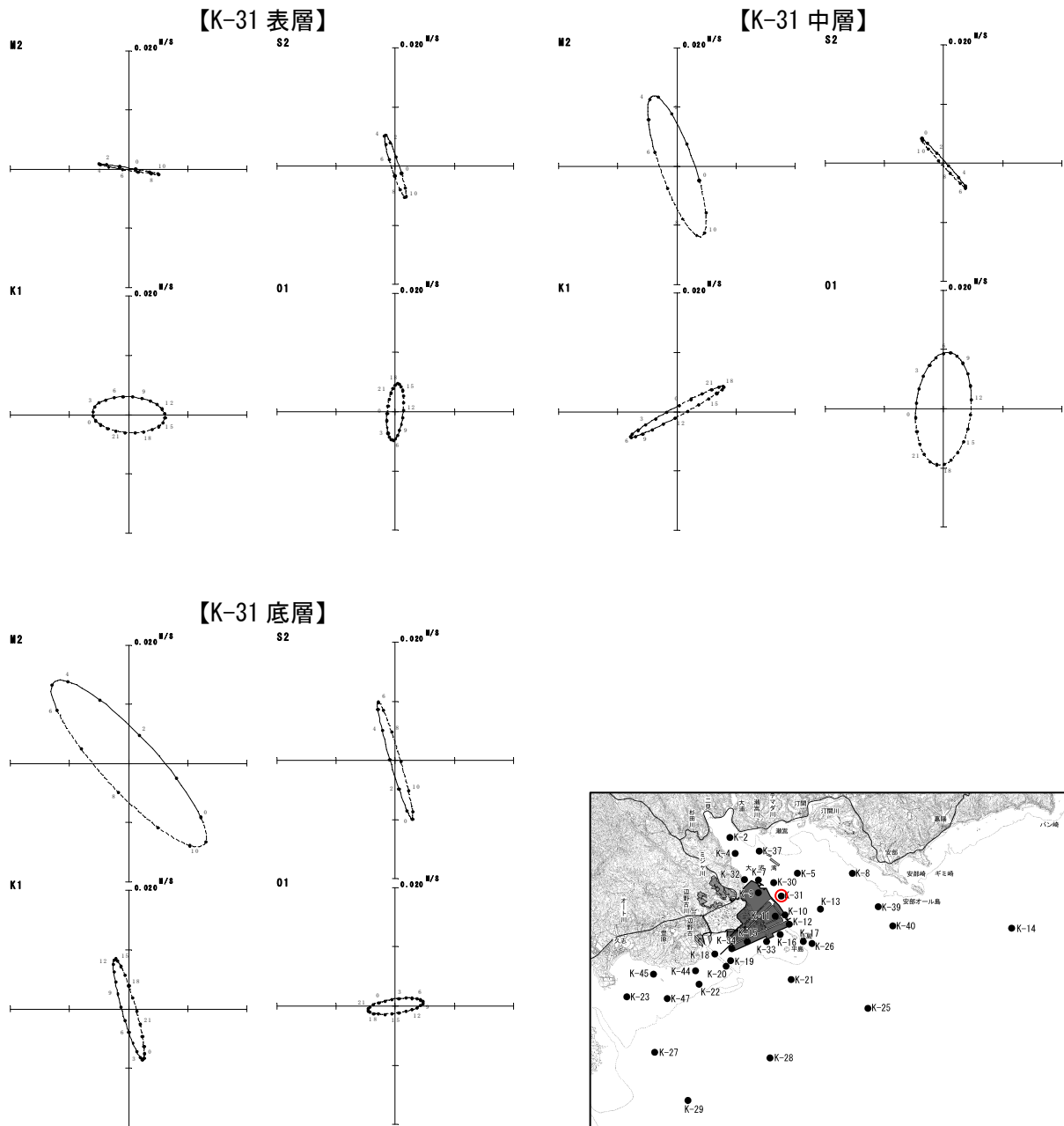


図-6.6.1.22(17) 超音波流速計による調査結果に基づく春季の潮流楕円

注) 調査期間：平成20年4月21日～5月21日

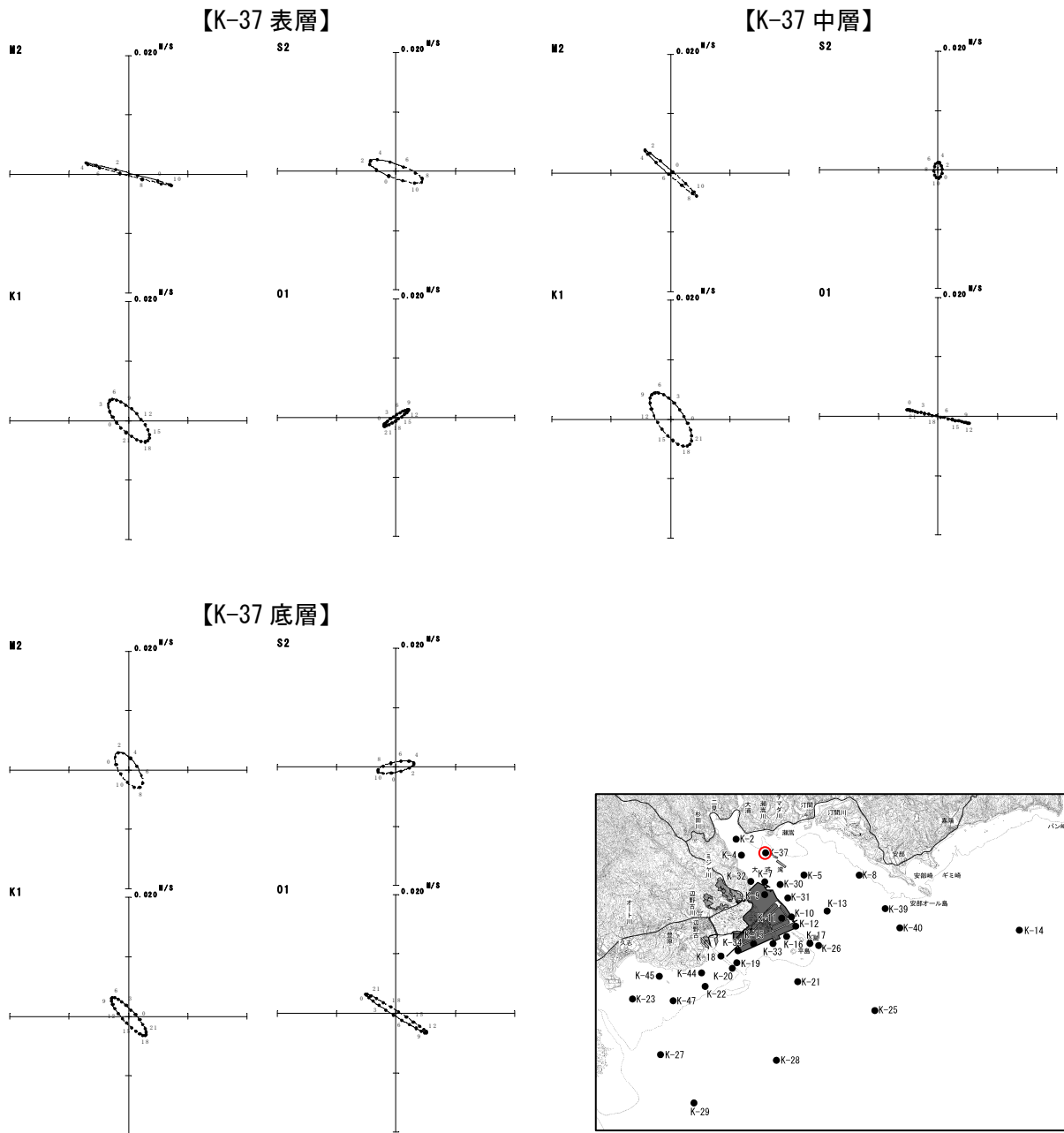


図-6. 6. 1. 22(18) 超音波流速計による調査結果に基づく春季の潮流楕円

注) 調査期間：平成 20 年 4 月 21 日～5 月 21 日

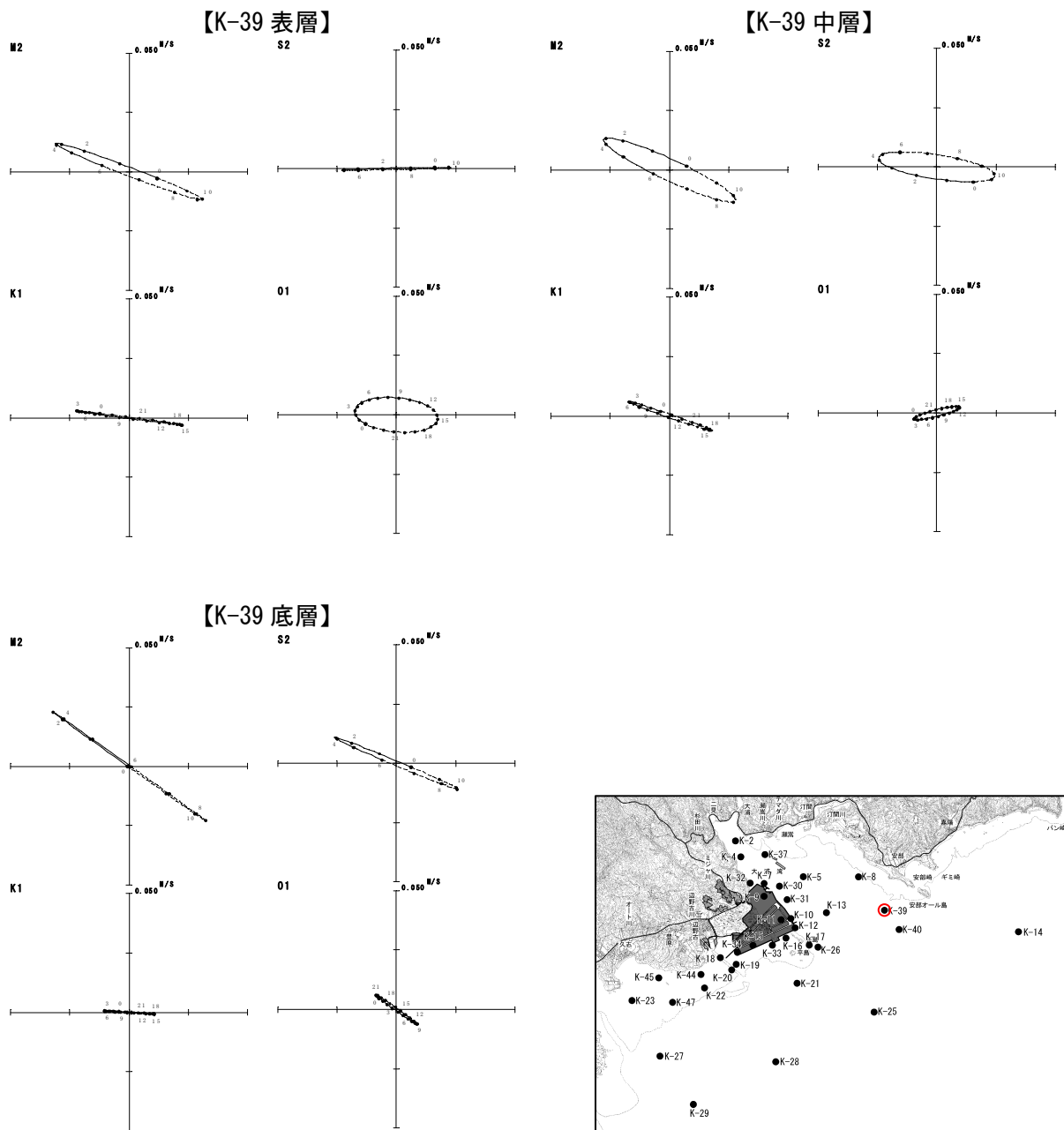


図-6. 6. 1. 22(19) 超音波流速計による調査結果に基づく春季の潮流楕円

注) 調査期間：平成 20 年 4 月 21 日～5 月 21 日

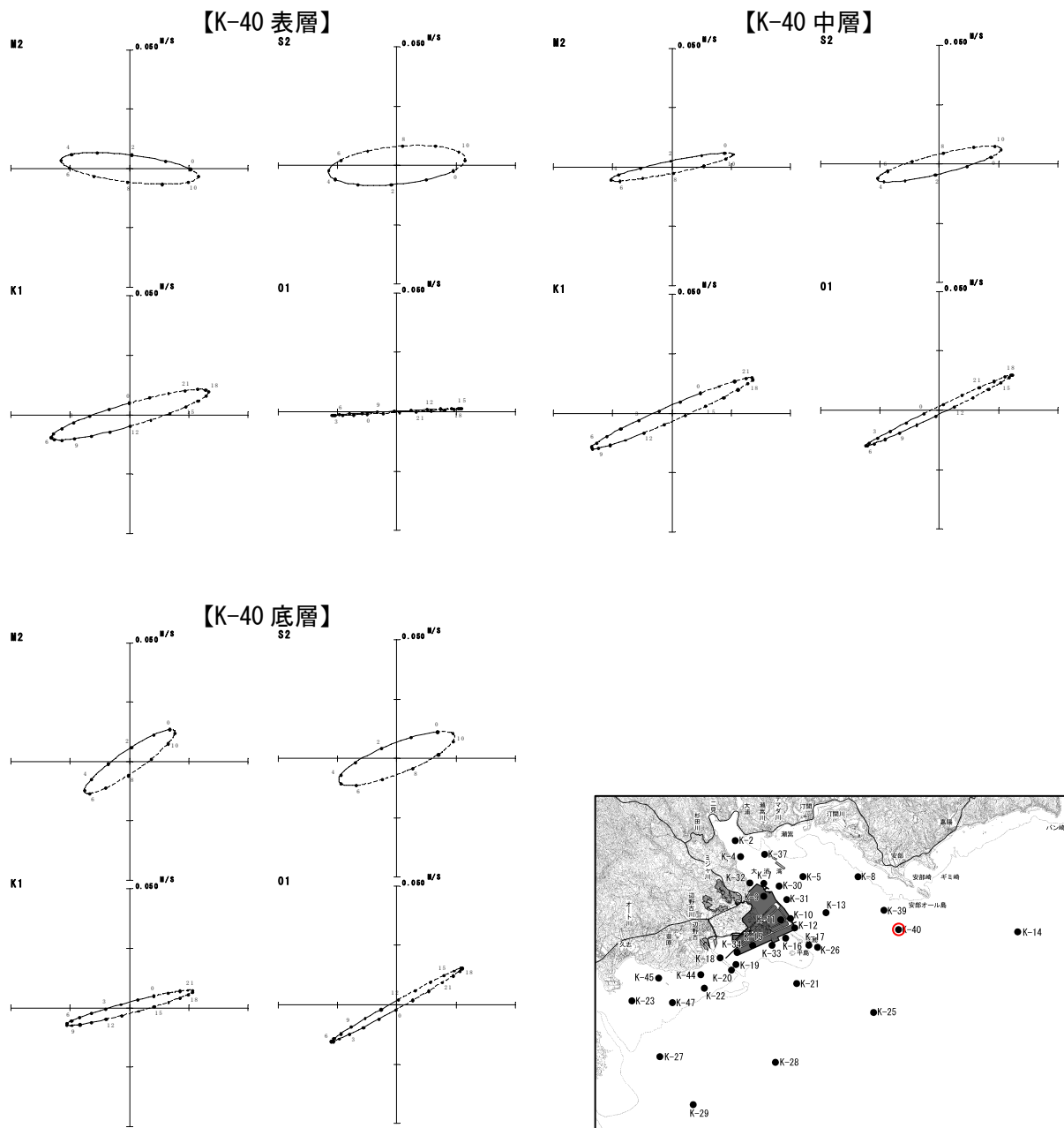


図-6. 6. 1. 22 (20) 超音波流速計による調査結果に基づく春季の潮流楕円

注) 調査期間：平成 20 年 4 月 21 日～5 月 21 日

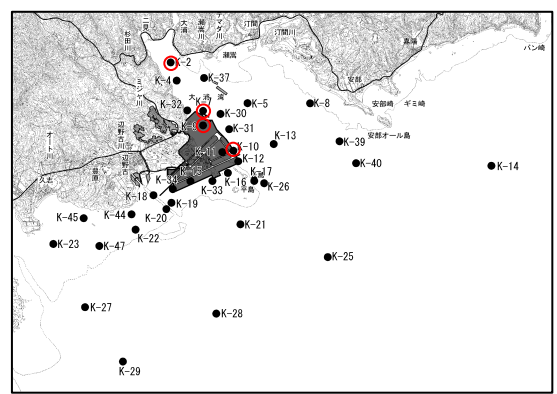
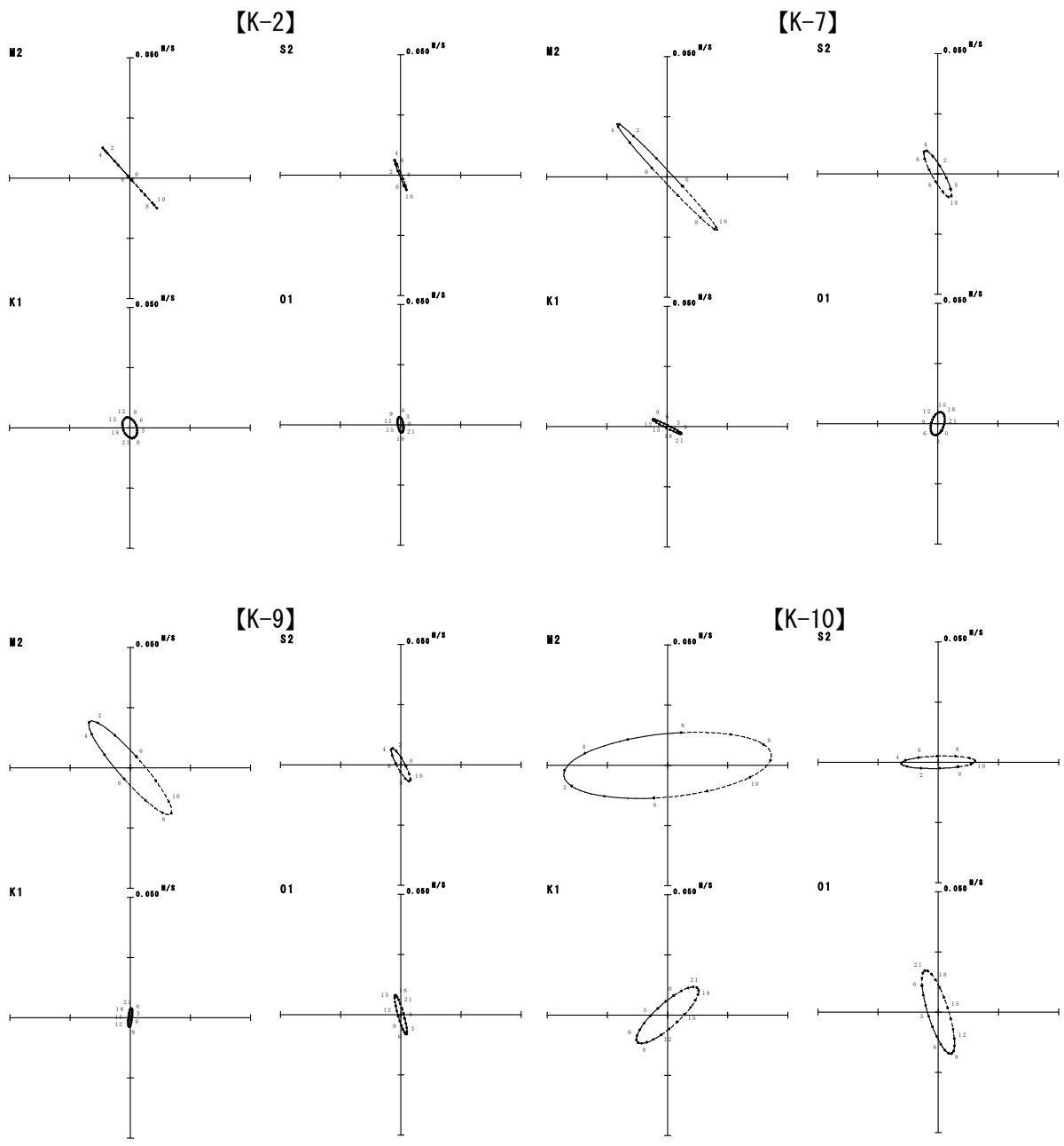


図-6. 6. 1. 23(1) 電磁流速計による調査結果に基づく夏季の潮流楕円
 注) 調査期間：平成 20 年 7 月 3 日～9 月 5 日 (解析は 8～9 月の 30 日間のデータを用いています。)

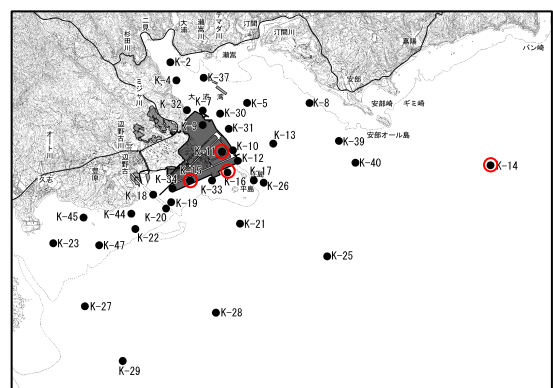
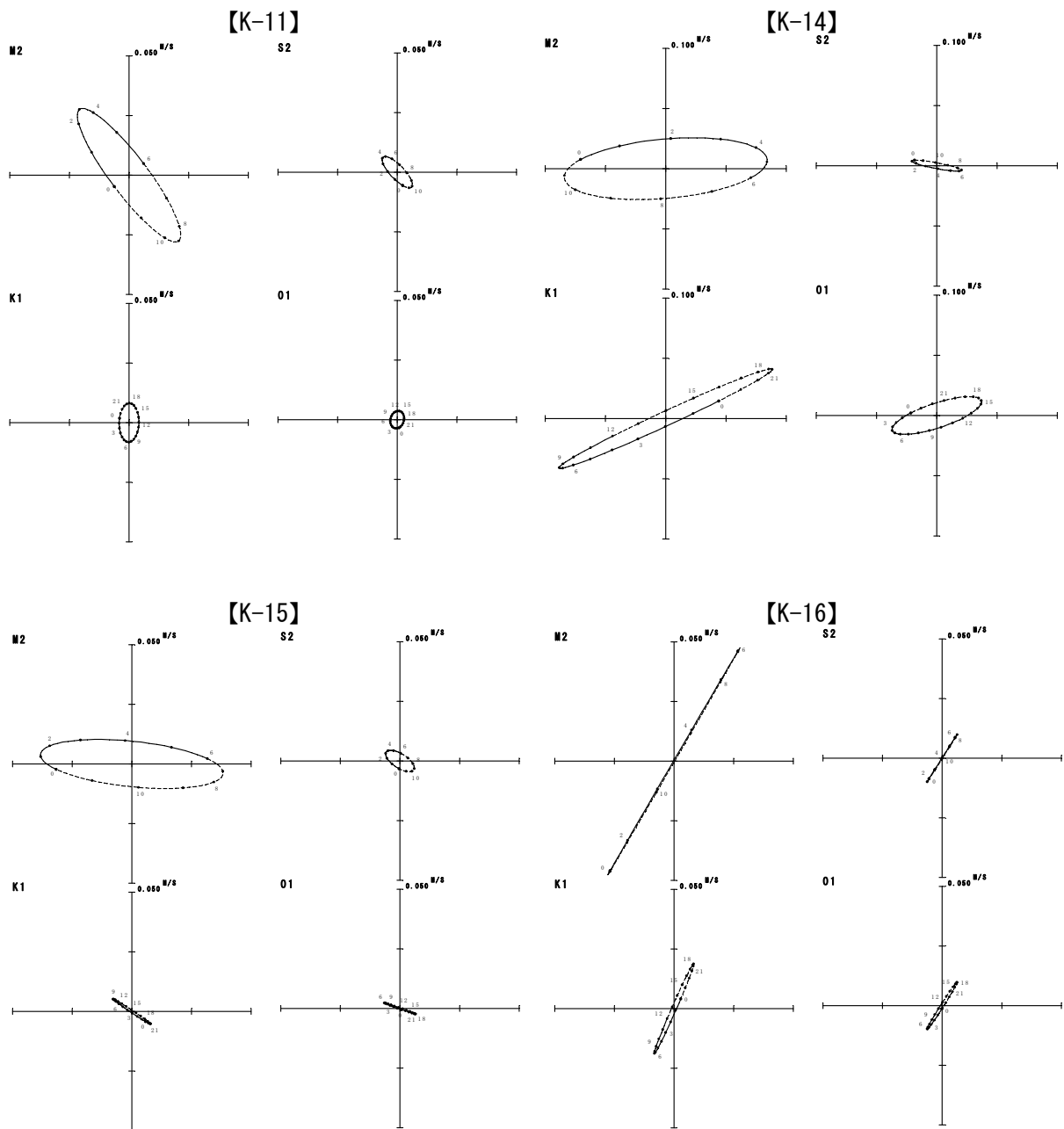


図-6. 6. 1. 23(2) 電磁流速計による調査結果に基づく夏季の潮流楕円

注) 調査期間：平成20年7月3日～9月5日（解析は8～9月の30日間のデータを用いています。）

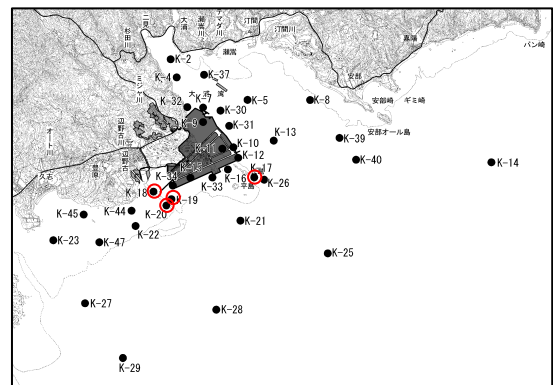
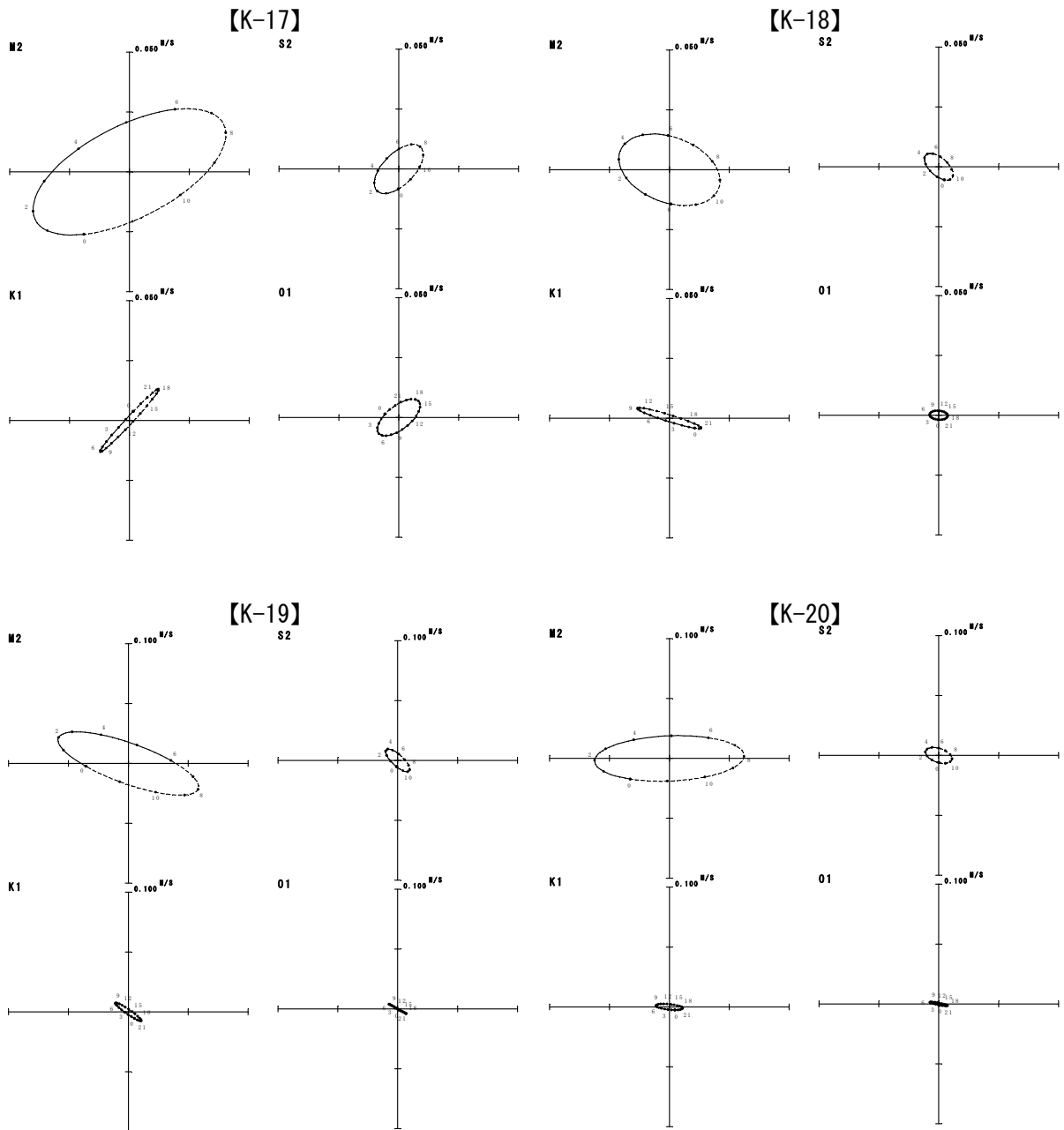


図-6. 6. 1. 23(3) 電磁流速計による調査結果に基づく夏季の潮流楕円

注) 調査期間：平成 20 年 7 月 3 日～9 月 5 日 (解析は 8～9 月の 30 日間のデータを用いています。)

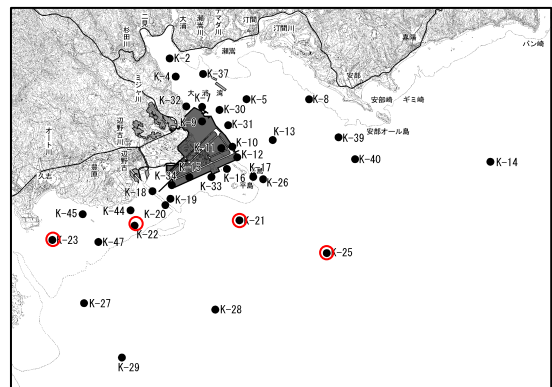
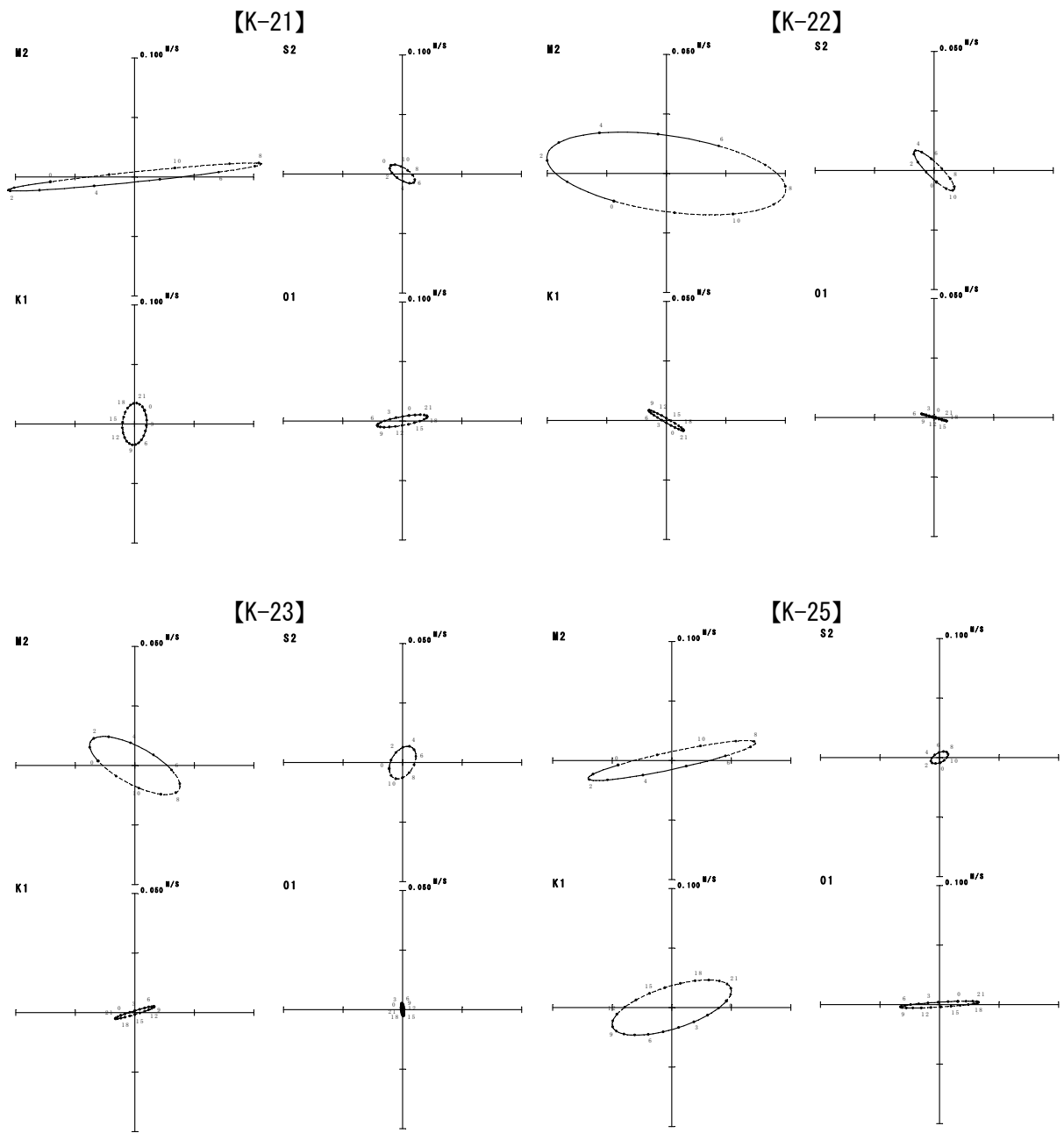


図-6. 6. 1. 23(4) 電磁流速計による調査結果に基づく夏季の潮流楕円

注) 調査期間：平成 20 年 7 月 3 日～9 月 5 日 (解析は 8～9 月の 30 日間のデータを用いています。)

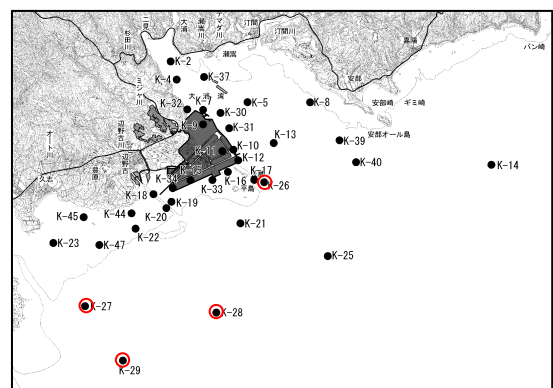
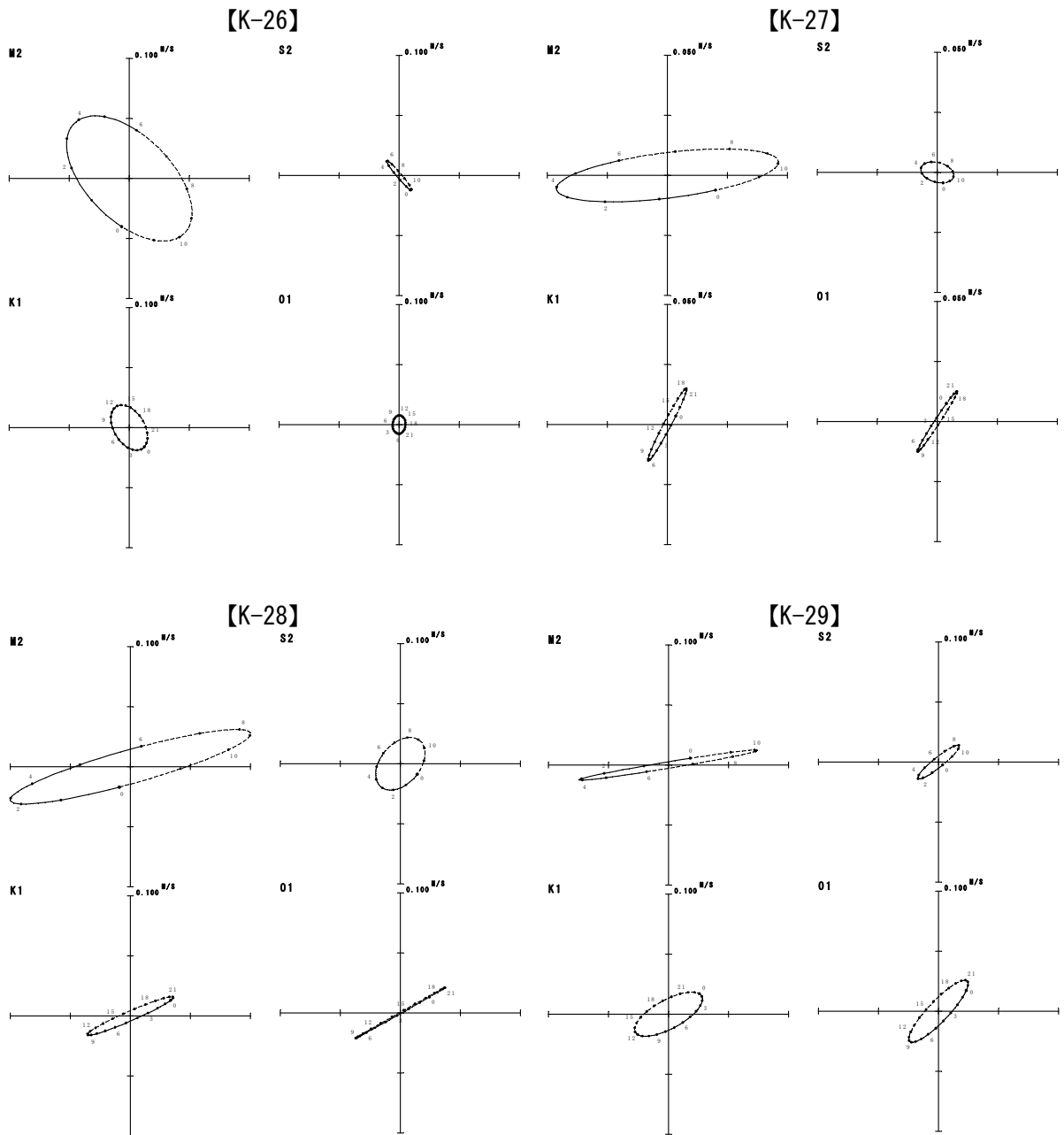


図-6. 6. 1. 23(5) 電磁流速計による調査結果に基づく夏季の潮流楕円

注) 調査期間：平成 20 年 7 月 3 日～9 月 5 日 (解析は 8～9 月の 30 日間のデータを用いています。)

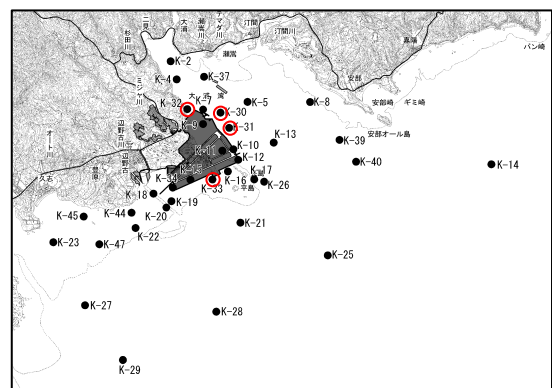
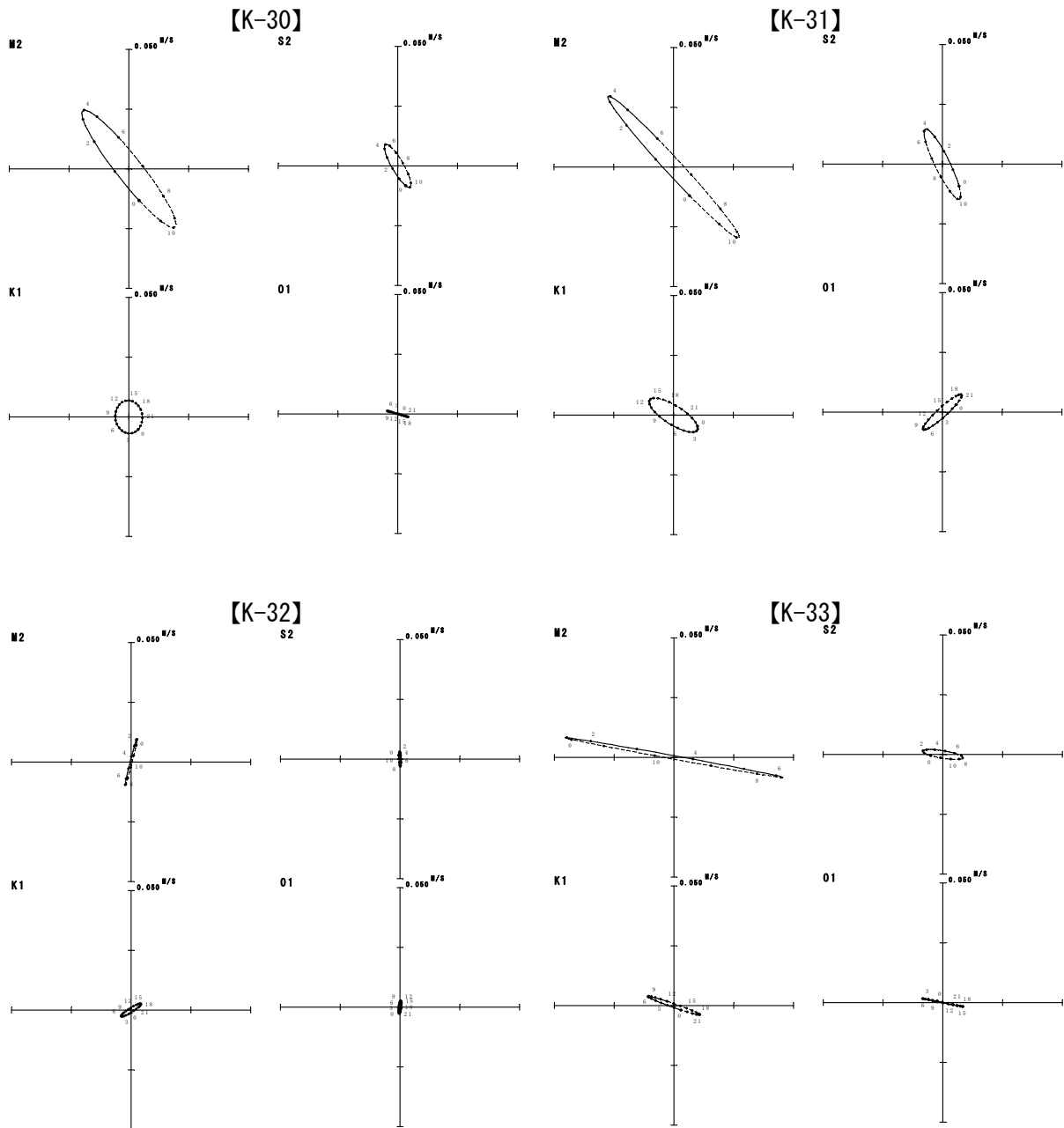


図-6. 6. 1. 23(6) 電磁流速計による調査結果に基づく夏季の潮流楕円

注) 調査期間：平成 20 年 7 月 3 日～9 月 5 日 (解析は 8～9 月の 30 日間のデータを用いています)